

# ANAS S.p.A.

DIREZIONE CENTRALE PROGRAMMAZIONE PROGETTAZIONE

## PA 12/09

### CORRIDOIO PLURIMODALE TIRRENICO - NORD EUROPA

### ITINERARIO AGRIGENTO - CALTANISSETTA - A19

### S.S. N° 640 "DI PORTO EMPEDOCLE"

### AMMODERNAMENTO E ADEGUAMENTO ALLA CAT. B DEL D.M. 5.11.2001

### Dal km 44+000 allo svincolo con l'A19

## PROGETTO ESECUTIVO

Contraente Generale:



## OPERE D'ARTE MAGGIORI VIADOTTI

### Viadotto Arenella II

### Relazione di calcolo Spalle - Carreggiata DX

Codice Unico Progetto (CUP) : F91B09000070001

Codice Elaborato:

PA12\_09 - E 1 5 6 V I 2 1 3 V I 1 3 B C L 0 0 8 A - Scala:

F																		
E																		
D																		
C																		
B																		
A	Aprile 2011	EMISSIONE					T. FASOLO	F. NIGRELLI	M. LITI	P. PAGLINI								
REV.	DATA	DESCRIZIONE					REDATTO	VERIFICATO	APPROVATO	AUTORIZZATO								
Responsabile del procedimento:		Ing. MAURIZIO ARAMINI																

Il Progettista:



Il Consulente Specialista:

**3TI ITALIA S.p.A.**  
DIRETTORE TECNICO  
Ing. Stefano Luca Possati  
Ordine degli Ingegneri  
Provincia di Roma n. 20809

Il Geologo:



Il Coordinatore per la sicurezza  
in fase di progetto:



Il Direttore dei lavori:





CORRIDOIO PLURIMODALE TIRRENICO-NORD EUROPA ITINERARIO AGRIGENTO -CALTANISSETTA-A19 S.S. N° 640 "DI PORTO EMPEDOCLE" AMMODERNAMENTO E ADEGUAMENTO ALLA CAT. B DEL D.M. 5.11.2001 Dal km 44+000 allo svincolo con l'A19 <b>Progetto Esecutivo</b>	Opera: <b>Viadotto Arenella II</b>
	Relazione di calcolo Spalle – Carreggiata DX
	Pagina 1 di 67
	Nome file: V113-B-CL008-A.00_relazione_calcolo_Spalle_DX.doc

# INDICE

<b>1</b>	<b>GENERALITÀ .....</b>	<b>3</b>
1.1	INTRODUZIONE .....	3
1.2	CARATTERISTICHE DEI MATERIALI .....	3
1.2.1	<i>Condizioni ambientali e classi di esposizione</i> .....	3
1.2.2	<i>Calcestruzzo</i> .....	3
1.2.3	<i>Acciaio per c.a. in barre ad aderenza migliorata</i> .....	3
1.3	NORMATIVE DI RIFERIMENTO .....	3
<b>2</b>	<b>ANALISI DELLA PALIFICATA DELLA SPALLA A .....</b>	<b>3</b>
2.1	AZIONI TRASMESSE DALL'IMPALCATO .....	3
2.2	AZIONI TRASMESSE DALLA SPALLA .....	3
2.3	RIEPILOGO SOLLECITAZIONI RISPETTO A BARICENTRO PALI.....	3
2.4	COMBINAZIONI DI CARICO .....	3
2.5	SOLLECITAZIONI SULLA PALIFICATA .....	3
<b>3</b>	<b>ANALISI DELLA PALIFICATA DELLA SPALLA B .....</b>	<b>3</b>
3.1	AZIONI TRASMESSE DALL'IMPALCATO .....	3
3.2	AZIONI TRASMESSE DALLA SPALLA .....	3
3.3	RIEPILOGO SOLLECITAZIONI RISPETTO A BARICENTRO PALI.....	3
3.4	COMBINAZIONI DI CARICO .....	3
3.5	SOLLECITAZIONI SULLA PALIFICATA .....	3
<b>4</b>	<b>VERIFICA DEI PALI DI FONDAZIONE SPALLA A.....</b>	<b>3</b>
4.1	VERIFICHE STRUTTURALI.....	3
4.1.1	<i>S.L.U. – Resistenza: presso-flessione</i> .....	3
4.1.2	<i>S.L.U. – Resistenza: taglio</i> .....	3
4.1.3	<i>S.L.E. – Fessurazione</i> .....	3
4.1.4	<i>S.L.E. – Limitazione delle tensioni</i> .....	3
4.2	VERIFICHE GEOTECNICHE DEI PALI.....	3
4.2.1	<i>S.L.U. – Verifica a carico limite verticale</i> .....	3
4.2.2	<i>S.L.U. – Verifica a carico limite orizzontale</i> .....	3
<b>5</b>	<b>VERIFICA DEI PALI DI FONDAZIONE SPALLA B.....</b>	<b>3</b>
5.1	VERIFICHE STRUTTURALI.....	3
5.1.1	<i>S.L.U. – Resistenza: presso-flessione</i> .....	3
5.1.2	<i>S.L.U. – Resistenza: taglio</i> .....	3
5.1.3	<i>S.L.E. – Fessurazione</i> .....	3
5.1.4	<i>S.L.E. – Limitazione delle tensioni</i> .....	3
5.2	VERIFICHE GEOTECNICHE DEI PALI.....	3
5.2.1	<i>S.L.U. – Verifica a carico limite verticale</i> .....	3
5.2.2	<i>S.L.U. – Verifica a carico limite orizzontale</i> .....	3
<b>6</b>	<b>ANALISI STRUTTURALE DELLA SPALLA A .....</b>	<b>3</b>
6.1	DESCRIZIONE DEL MODELLO DI CALCOLO .....	3
6.2	ANALISI DEI CARICHI.....	3
6.3	COMBINAZIONI DI CARICO .....	3
6.4	SOLLECITAZIONI .....	3
6.5	ARMATURA A FLESSIONE DEGLI ELEMENTI .....	3
6.6	VERIFICA DEGLI ELEMENTI COSTITUENTI LA SPALLA.....	3
6.6.1	<i>S.L.U. – Resistenza: presso-flessione</i> .....	3
6.6.2	<i>S.L.U. – Resistenza: taglio</i> .....	3
6.6.3	<i>S.L.E. – Fessurazione</i> .....	3

CORRIDOIO PLURIMODALE TIRRENICO-NORD EUROPA ITINERARIO AGRIGENTO -CALTANISSETTA-A19 S.S. N° 640 "DI PORTO EMPEDOCLE" AMMODERNAMENTO E ADEGUAMENTO ALLA CAT. B DEL D.M. 5.11.2001 Dal km 44+000 allo svincolo con l'A19 <b>Progetto Esecutivo</b>	Opera: <b>Viadotto Arenella II</b>
	Relazione di calcolo Spalle – Carreggiata DX
	Pagina 2 di 67
	Nome file: V113-B-CL008-A.00_relazione_calcolo_Spalle_DX.doc

<b>7</b>	<b>BAGGIOLI</b> .....	<b>3</b>
<b>8</b>	<b>DISPOSITIVI ANTISISMICI</b> .....	<b>3</b>

CORRIDOIO PLURIMODALE TIRRENICO-NORD EUROPA ITINERARIO AGRIGENTO -CALTANISSETTA-A19 S.S. N° 640 "DI PORTO EMPEDOCLE" AMMODERNAMENTO E ADEGUAMENTO ALLA CAT. B DEL D.M. 5.11.2001 Dal km 44+000 allo svincolo con l'A19 <b>Progetto Esecutivo</b>	Opera: <b>Viadotto Arenella II</b>
	Relazione di calcolo Spalle – Carreggiata DX
	Pagina 3 di 67
	Nome file: V113-B-CL008-A.00_relazione_calcolo_Spalle_DX.doc

# 1 GENERALITÀ

## 1.1 INTRODUZIONE

Nella presente relazione si riportano le verifiche di sicurezza delle spalle della carreggiata destra del viadotto Arenella II, previsto nell'ambito del progetto esecutivo "CORRIDOIO PLURIMODALE TIRRENICO-NORD EUROPA - ITINERARIO AGRIGENTO -CALTANISSETTA-A19 - S.S. N° 640 "DI PORTO EMPEDOCLE" - AMMODERNAMENTO E ADEGUAMENTO ALLA CAT. B DEL D.M. 5.11.2001 - Dal km 44+000 allo svincolo con l'A19".

In particolare, si analizza, per le verifiche strutturali, la Spalla B del viadotto. Infatti, la spalla A della carreggiata destra presenta gli stessi scarichi dell'impalcato ma un muro frontale più basso (le altre caratteristiche geometriche sono uguali). Dunque, essendo la spalla B più sollecitata si estendo i risultati per essa ottenuti alla Spalla A.

## 1.2 CARATTERISTICHE DEI MATERIALI

### 1.2.1 Condizioni ambientali e classi di esposizione

Per l'umidità ambientale si assume  $RH = 70 \%$ . Per quanto riguarda le classi di esposizione, si prevede l'alternarsi di cicli di gelo/disgelo, in presenza di agenti disgelanti, per cui, si applicheranno le seguenti classi di esposizione:

- pali: XA2;
- zattere spalle: XA2;
- elevazione spalle: XF2;
- baggioli: XF2.

Le caratteristiche del calcestruzzo dovranno pertanto rispettare, oltre i requisiti di resistenza indicati ai punti seguenti, anche i criteri previsti dalla vigente normativa (EN 11104 e EN 206) per quanto riguarda l'esposizione alle classi indicate.

### 1.2.2 Calcestruzzo

#### CALCESTRUZZO ZATTERA PILE, ZATTERA SPALLE E PALI C32/40

$R_{ck}$	= 40	MPa	resistenza caratteristica cubica
$f_{ck}$	= 33.20	MPa	resistenza caratteristica cilindrica
$f_{ckj}$	= 27.56	MPa	resistenza caratteristica cilindrica a j giorni
$f_{cm}$	= 41.20	MPa	resistenza cilindrica media
$f_{ctm}$	= 3.10	MPa	resistenza media a trazione semplice
$f_{ctk}$	= 4.03	MPa	resistenza caratteristica a trazione semplice
$f_{cfm}$	= 3.72	MPa	resistenza media a trazione per flessione
$E_{cm}$	= 33643	MPa	modulo elastico istantaneo
$\gamma_c$	= 1.50		coefficiente parziale di sicurezza
$\alpha_{cc}$	= 0.85		coefficiente riduttivo per resistenze di lunga durata
$f_{cd}$	= 18.81	MPa	resistenza di calcolo a compressione
$f_{ctd}$	= 2.69	MPa	resistenza di calcolo a trazione
XA2			classe di esposizione
S3-			
S4			classe di consistenza

CORRIDOIO PLURIMODALE TIRRENICO-NORD EUROPA ITINERARIO AGRIGENTO -CALTANISSETTA-A19 S.S. N° 640 "DI PORTO EMPEDOCLE" AMMODERNAMENTO E ADEGUAMENTO ALLA CAT. B DEL D.M. 5.11.2001 Dal km 44+000 allo svincolo con l'A19 <b>Progetto Esecutivo</b>	Opera: <b>Viadotto Arenella II</b>
	Relazione di calcolo Spalle – Carreggiata DX
	Pagina 4 di 67
	Nome file: V113-B-CL008-A.00_relazione_calcolo_Spalle_DX.doc

### CALCESTRUZZO ELEVAZIONE PILE, ELEVAZIONE SPALLE, PULVINO E BAGGIOLI C25/30

$R_{ck}$	=	<b>30</b>	MPa	resistenza caratteristica cubica
$f_{ck}$	=	24.90	MPa	resistenza caratteristica cilindrica
$f_{ckj}$	=	20.67	MPa	resistenza caratteristica cilindrica a j giorni
$f_{cm}$	=	32.90	MPa	resistenza cilindrica media
$f_{ctm}$	=	2.56	MPa	resistenza media a trazione semplice
$f_{ctk}$	=	3.33	MPa	resistenza caratteristica a trazione semplice
$f_{cfm}$	=	3.07	MPa	resistenza media a trazione per flessione
$E_{cm}$	=	31447	MPa	modulo elastico istantaneo
$\gamma_c$	=	<b>1.50</b>		coefficiente parziale di sicurezza
$\alpha_{cc}$	=	<b>0.85</b>		coefficiente riduttivo per resistenze di lunga durata
$f_{cd}$	=	14.11	MPa	resistenza di calcolo a compressione
$f_{ctd}$	=	2.22	MPa	resistenza di calcolo a trazione
XF2				classe di esposizione
S3-				
S4				classe di consistenza elevazione pile, elevazione spalle e pulvino
S4				classe di consistenza baggioli

### CALCESTRUZZO SOLETTA E TRASVERSI IMPALCATO, CORDOLI, PREDALLES C32/40

$R_{ck}$	=	<b>40</b>	MPa	resistenza caratteristica cubica
$f_{ck}$	=	33.20	MPa	resistenza caratteristica cilindrica
$f_{ckj}$	=	27.56	MPa	resistenza caratteristica cilindrica a j giorni
$f_{cm}$	=	41.20	MPa	resistenza cilindrica media
$f_{ctm}$	=	3.10	MPa	resistenza media a trazione semplice
$f_{ctk}$	=	4.03	MPa	resistenza caratteristica a trazione semplice
$f_{cfm}$	=	3.72	MPa	resistenza media a trazione per flessione
$E_{cm}$	=	33643	MPa	modulo elastico istantaneo
$\gamma_c$	=	<b>1.50</b>		coefficiente parziale di sicurezza
$\alpha_{cc}$	=	<b>0.85</b>		coefficiente riduttivo per resistenze di lunga durata
$f_{cd}$	=	18.81	MPa	resistenza di calcolo a compressione
$f_{ctd}$	=	2.69	MPa	resistenza di calcolo a trazione
XD2				classe di esposizione
S4				classe di consistenza

### CALCESTRUZZO TRAVI PREFABBRICATE IN C.A.P. C45/55

$R_{ck}$	=	<b>55</b>	MPa	resistenza caratteristica cubica
$f_{ck}$	=	45.65	MPa	resistenza caratteristica cilindrica
$f_{ckj}$	=	37.89	MPa	resistenza caratteristica cilindrica a j giorni
$f_{cm}$	=	53.65	MPa	resistenza cilindrica media
$f_{ctm}$	=	3.92	MPa	resistenza media a trazione semplice
$f_{ctk}$	=	5.10	MPa	resistenza caratteristica a trazione semplice
$f_{cfm}$	=	4.71	MPa	resistenza media a trazione per flessione
$E_{cm}$	=	36416	MPa	modulo elastico istantaneo
$\gamma_c$	=	<b>1.50</b>		coefficiente parziale di sicurezza
$\alpha_{cc}$	=	<b>0.85</b>		coefficiente riduttivo per resistenze di lunga durata
$f_{cd}$	=	25.87	MPa	resistenza di calcolo a compressione
$f_{ctd}$	=	3.40	MPa	resistenza di calcolo a trazione
XD2				classe di esposizione
S4				classe di consistenza

CORRIDOIO PLURIMODALE TIRRENICO-NORD EUROPA ITINERARIO AGRIGENTO -CALTANISSETTA-A19 S.S. N° 640 "DI PORTO EMPEDOCLE" AMMODERNAMENTO E ADEGUAMENTO ALLA CAT. B DEL D.M. 5.11.2001 Dal km 44+000 allo svincolo con l'A19 <b>Progetto Esecutivo</b>	Opera: <b>Viadotto Arenella II</b>
	Relazione di calcolo Spalle – Carreggiata DX
	Pagina 5 di 67
	Nome file: V113-B-CL008-A.00_relazione_calcolo_Spalle_DX.doc

### 1.2.3 Acciaio per c.a. in barre ad aderenza migliorata

B450C

$f_{y,nom}$	=	<b>450</b> MPa	tensione nominale di snervamento
$f_{t,nom}$	=	<b>540</b> MPa	tensione nominale di rottura
$f_{yk}$	≥	$f_{y,nom}$	tensione caratteristica di snervamento
$f_{tk}$	≥	$f_{t,nom}$	tensione caratteristica di rottura
$E_s$	=	<b>200000</b> MPa	modulo elastico istantaneo
$\gamma_c$	=	<b>1.15</b>	coefficiente parziale di sicurezza
$f_{yd}$	=	391.3 MPa	tensione di snervamento di calcolo

### 1.3 NORMATIVE DI RIFERIMENTO

Le analisi strutturali e le relative verifiche vengono eseguite secondo il metodo semi-probabilistico agli Stati Limite in accordo alle disposizioni normative previste dalla vigente normativa italiana e da quella europea (Eurocodici). In particolare, al fine di conseguire un approccio il più unitario possibile relativamente alle prescrizioni ed alle metodologie/criteri di verifica, si è fatto diretto riferimento alle varie parti degli Eurocodici, unitamente ai relativi National Application Documents, verificando puntualmente l'armonizzazione del livello di sicurezza conseguito con quello richiesto dalla vigente normativa nazionale. In dettaglio si sono prese in esame quindi i seguenti documenti, che volta in volta verranno opportunamente richiamati:

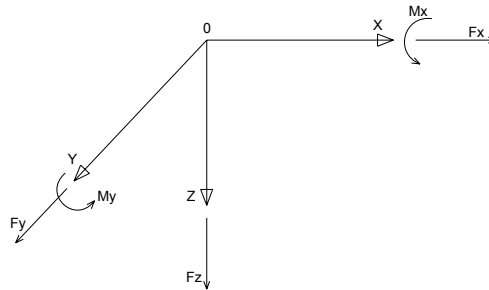
- D.M. 14 gennaio 2008: Nuove norme tecniche per le costruzioni (indicate nel prosieguo "NTC")
- Circolare n.617 Istruzioni per l'applicazione delle "Nuove norme tecniche per le costruzioni"
- UNI EN 1990: Basi della progettazione strutturale
- UNI EN 1991-1-4: Azioni sulle strutture – Azione del vento
- UNI EN 1991-1-5: Azioni sulle strutture – Azioni termiche
- UNI EN 1991-2: Azioni sulle strutture – Carichi da traffico sui ponti
- UNI EN 1992-1-1: Progettazione delle strutture di calcestruzzo - Regole generali e regole per gli edifici
- UNI EN 1992-2: Progettazione delle strutture di calcestruzzo – Ponti di calcestruzzo
- UNI EN 1994-2: Progettazione delle strutture composte acciaio-calcestruzzo – Ponti
- UNI EN 1998-2: Progettazione delle strutture per la resistenza sismica – Ponti
- UNI EN 1090 - 2: Execution of steel structures and aluminium structures - part 2: technical requirements for steel structures

## 2 ANALISI DELLA PALIFICATA DELLA SPALLA A

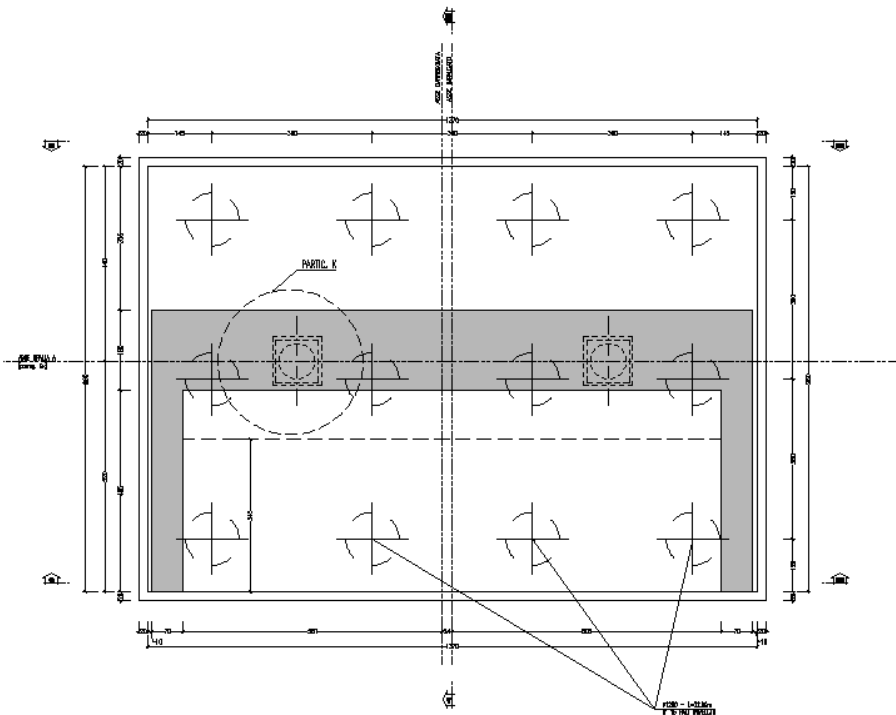
Si riporta nel presente capitolo il calcolo delle sollecitazioni nei pali di fondazione della spalla A della carreggiata destra.

Il calcolo delle sollecitazioni in fondazione è stato effettuato facendo riferimento ad un sistema di coordinate ortogonali destrogiro, avente origine in corrispondenza del filo di monte del plinto di fondazione (a metà del lato parallelo alla direzione trasversale al viadotto), a livello dell'intradosso del plinto stesso, asse x parallelo all'asse longitudinale dell'impalcato ed asse z diretto verso il basso.

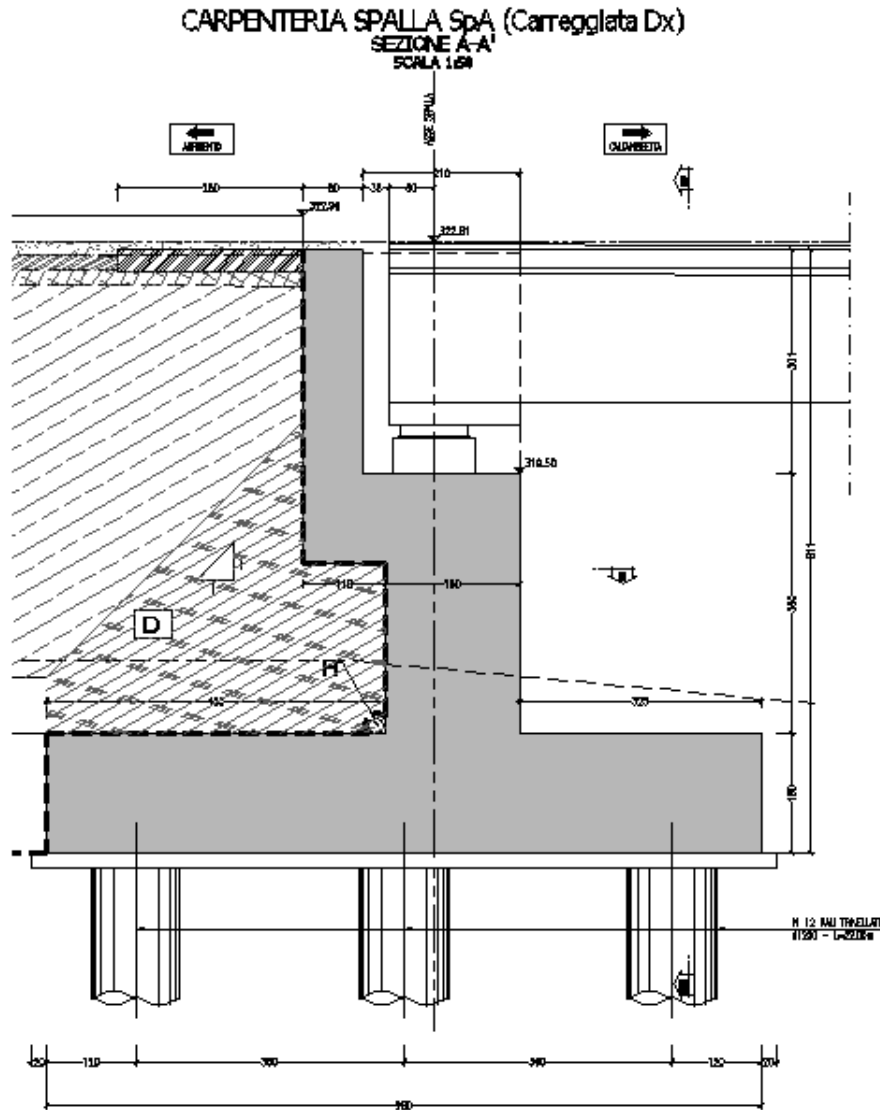
Le azioni orizzontali ( $F_x$  ed  $F_y$ ) e verticali ( $F_z$ ) si assumono positive se di verso concorde con quello degli assi. Si indicheranno inoltre con  $M_x$  i momenti aventi asse-momento parallelo all'asse x (momenti trasversali) e con  $M_y$  (momenti longitudinali) i momenti aventi asse-momento parallelo all'asse y. I momenti si assumono positivi se di senso antiorario rispetto all'asse-momento cui si riferiscono.



CARPENTERIA SPALLA "SpA"  
 SEZIONE B-B'  
 SCALA 1/40







### Geometrie Spalla

	n.	Bx	By	Bz,min	Bz,max	V	X	Y	Z
	[-]	[m]	[m]	[m]	[m]	[m <sup>3</sup> ]	[m]	[m]	[m]
plinto di fondazione	1	<b>9.60</b>	<b>13.70</b>	<b>1.60</b>	-	210.4	4.80	0.00	-0.80
muro frontale	1	<b>1.80</b>	<b>13.50</b>	<b>3.50</b>	-	85.1	5.45	0.00	-3.35
muro paraghiaia	1	<b>0.80</b>	13.50	<b>4.20</b>	-	45.4	<b>3.85</b>	0.00	<b>-6.00</b>
muro laterale sx	1	4.55	<b>0.70</b>	<b>7.00</b>	-	22.3	2.28	6.40	-5.10
muro laterale dx	1	4.55	0.70	7.00	-	22.3	2.28	-6.40	-5.10
bandiera sx	<b>0</b>	<b>3.00</b>	<b>1.50</b>	<b>2.00</b>	<b>3</b>	0.00	-1.40	6.00	-7.33
bandiera dx	<b>0</b>	<b>1.00</b>	<b>1.00</b>	<b>1.00</b>	<b>1</b>	0.00	-0.50	-6.25	-8.10
baggioli	2	<b>1.10</b>	1.10	<b>0.35</b>	-	0.85	<b>5.20</b>	0.00	-5.28
apparecchi di appoggio	2	<b>0.90</b>	0.90	<b>0.47</b>	-	0.76	5.20	0.00	-5.68

CORRIDOIO PLURIMODALE TIRRENICO-NORD EUROPA ITINERARIO AGRIGENTO -CALTANISSETTA-A19 S.S. N° 640 "DI PORTO EMPEDOCLE" AMMODERNAMENTO E ADEGUAMENTO ALLA CAT. B DEL D.M. 5.11.2001 Dal km 44+000 allo svincolo con l'A19 <b>Progetto Esecutivo</b>	Opera: <b>Viadotto Arenella II</b>
	Relazione di calcolo Spalle – Carreggiata DX
	Pagina 8 di 67
	Nome file: V113-B-CL008-A.00_relazione_calcolo_Spalle_DX.doc

## 2.1 AZIONI TRASMESSE DALL'IMPALCATO

Si riportano nel seguente prospetto le azioni trasmesse dall'impalcato. Tali azioni sono riferite al baricentro appoggi e sono state desunte dalla risoluzione del modello di calcolo del viadotto.

### AZIONI TRASMESSE DALL'IMPALCATO (RIFERITE AL BARICENTRO APPOGGI)

Coordinate baricentro appoggi

x	=	5.20 m	coordinata x
y	=	0.00 m	coordinata y
z	=	-5.68 m	coordinata z

	<b>Fx</b>	<b>Fy</b>	<b>Fz</b>	<b>Mx</b>	<b>My</b>	
	[kN]	[kN]	[kN]	[kNm]	[kNm]	
g1	0	0	2316	135	0	peso proprio impalcato
g2	0	0	395	18	0	permanenti portati
e2	34	0	-493	6	34	ritiro
e3.6	44	0	237	9	44	temperatura - massima azione verticale
e3.8	125	0	-89	3	125	temperatura - massima azione trasversale
q1.1	0	1	1815	77	26	carico mobile - configurazione 1 (massima azione verticale)
q1.2	0	4	1363	5094	7	carico mobile - configurazione 2 (massimo momento trasversale)
q3	138	0	0	0	138	frenatura
q4	0	0	0	0	0	azione centrifuga
q5	0	130	0	277	0	azione del vento trasversale
q6.1x	604	86	-38	115	604	sisma longitudinale
q6.1y	181	288	-38	382	181	sisma trasversale
q6.1z	181	86	-126	115	181	sisma verticale
q7	27	0	0	0	0	azione parassita dei vincoli

## 2.2 AZIONI TRASMESSE DALLA SPALLA

Si riportano ora per singoli casi di carico le azioni trasmesse dalla spalla, inserite nel modello SAP rispettivamente come: peso proprio (g<sub>1</sub>), carichi di superficie (g<sub>2</sub>, g<sub>3</sub>, q<sub>1,t</sub>, q<sub>6.1</sub>, q<sub>6.2-ter</sub>) e accelerazioni (q<sub>6.2-sp</sub>).

### AZIONI TRASMESSE DALLA SPALLA

#### Peso proprio spalla (g<sub>1</sub>)

γ <sub>cls</sub>	=	<b>25</b> kN/m <sup>3</sup>	peso specifico calcestruzzo
g1.1	=	5260.8 kN	plinto di fondazione
g1.2	=	2126.3 kN	muro frontale
g1.3	=	1134.0 kN	muro paraghiaia
g1.4	=	557.4 kN	muro laterale sx
g1.5	=	557.4 kN	muro laterale dx
g1.6	=	0.0 kN	bandiera sx
g1.7	=	0.0 kN	bandiera dx
g1.8	=	21.2 kN	baggioli
g1.9	=	10.3 kN	apparecchi di appoggio
g1.10	=	0.0 kN	elemento 1
g1.11	=	0.0 kN	elemento 2
Fz	=	<b>9667.3</b> kN	azione verticale
x	=	4.54 m	coordinata x punto di applicazione
y	=	0.00 m	coordinata y punto di applicazione
z	=	-2.48 m	coordinata z punto di applicazione

CORRIDOIO PLURIMODALE TIRRENICO-NORD EUROPA ITINERARIO AGRIGENTO -CALTANISSETTA-A19 S.S. N° 640 "DI PORTO EMPEDOCLE" AMMODERNAMENTO E ADEGUAMENTO ALLA CAT. B DEL D.M. 5.11.2001 Dal km 44+000 allo svincolo con l'A19 <b>Progetto Esecutivo</b>	Opera: <b>Viadotto Arenella II</b>
	Relazione di calcolo Spalle – Carreggiata DX
	Pagina 9 di 67
	Nome file: V113-B-CL008-A.00_relazione_calcolo_Spalle_DX.doc

### Peso terreno su fondazione (g2)

$\gamma_t$	=	<b>18</b> kN/m <sup>3</sup>	peso dell'unità di volume del terreno
V	=	391.8 m <sup>3</sup>	volume di terreno sopra fondazione
Fz	=	<b>7051.6</b> kN	peso del terreno
x	=	2.28 m	coordinata x punto di applicazione
y	=	0.00 m	coordinata y punto di applicazione
z	=	-5.10 m	coordinata z punto di applicazione

### Spinta del terreno (g3)

		intradosso base muro			
		plinto	frontale		
$\gamma$	=	<b>18</b>	18	kN/m <sup>3</sup>	peso dell'unità di volume del terreno
$\phi$	=	<b>35</b>	35	°	angolo di attrito del terreno
Ka	=	0.271	0.271		coefficiente di spinta attiva
K0	=	0.426	0.426		coefficiente di spinta a riposo
K	=	0.426	0.426		coefficiente di spinta adottato
H	=	9.30	7.7	m	altezza di spinta terreno (rispetto a intradosso plinto)
B	=	13.50	13.50	m	larghezza trasversale interessata dalla spinta (y-y)
Fx	=	<b>4481.1</b>	<b>3071.8</b>	kN	spinta del terreno
x	=	0.00	4.55	m	coordinata x punto di applicazione
y	=	0.00	0	m	coordinata y punto di applicazione
z	=	-3.10	-4.17	m	coordinata z punto di applicazione

### Effetti del sovraccarico stradale sul rilevato (q1.t)

		intradosso base muro			
		plinto	frontale		
Incremento di spinta					
q	=	<b>20.00</b>	20.00	kPa	sovraccarico stradale
$\phi$	=	35	35	°	angolo di attrito del terreno
K	=	0.426	0.426		coefficiente di spinta
H	=	9.30	7.70	m	altezza di spinta terreno
B	=	13.50	13.50	m	larghezza trasversale interessata dalla spinta (y-y)
Fx	=	<b>1070.7</b>	<b>886.5</b>	kN	spinta del terreno per effetto del sovraccarico
x	=	0.00	4.55	m	coordinata x punto di applicazione
y	=	0.00	0	m	coordinata y punto di applicazione
z	=	-4.65	-5.45	m	coordinata z punto di applicazione
Incremento di azione verticale					
Bx	=	4.55	-	m	lunghezza del plinto interessata dal sovraccarico
Fz	=	<b>1228.5</b>	-	kN	risultante verticale sovraccarico
x	=	2.28	-	m	coordinata x punto di applicazione
y	=	0.00	-	m	coordinata y punto di applicazione
z	=	-1.60	-	m	coordinata z punto di applicazione

### Azioni sismiche (q6)

parametri sismici					
$a_g$	=	<b>0.096</b> g			accelerazione di picco
$S_S$	=	<b>1.50</b>			coefficiente di amplificazione stratigrafica
$S_T$	=	<b>1.00</b>			coefficiente di amplificazione topografica
S	=	1.50			
$\beta_m$	=	<b>1.00</b>			coefficiente di riduzione dell'accelerazione massima
$a_{max}$	=	0.144 g			accelerazione massima
$K_h$	=	0.144			coefficiente sismico orizzontale
$K_v$	=	0.072			coefficiente sismico verticale

CORRIDOIO PLURIMODALE TIRRENICO-NORD EUROPA ITINERARIO AGRIGENTO -CALTANISSETTA-A19 S.S. N° 640 "DI PORTO EMPEDOCLE" AMMODERNAMENTO E ADEGUAMENTO ALLA CAT. B DEL D.M. 5.11.2001 Dal km 44+000 allo svincolo con l'A19 <b>Progetto Esecutivo</b>	Opera: <b>Viadotto Arenella II</b>
	Relazione di calcolo Spalle – Carreggiata DX
	Pagina 10 di 67
	Nome file: V113-B-CL008-A.00_relazione_calcolo_Spalle_DX.doc

#### Incremento di spinta terreno in fase sismica (q6.1)

Ipotesi di struttura rigida

	intradosso base muro			
	plinto	frontale		
$\gamma$	= 18	18	kN/m <sup>3</sup>	peso dell'unità di volume del terreno
H	= 9.30	7.70	m	altezza di spinta terreno
B	= 13.50	13.50	m	larghezza trasversale interessata dalla spinta (y-y)
$\Delta P$	= 3026.5	2074.7		incremento di spinta in fase sismica (ipotesi di struttura rigida)
Ipotesi di struttura flessibile				
$\phi$	= 35	35	°	angolo di attrito
$\psi$	= 90	90	°	angolo di inclinazione rispetto all'orizz della parete del muro rivolta a monte
$\beta$	= 0	0	°	angolo di inclinazione rispetto all'orizz della superficie del terrapieno
$\delta$	= 0	0	°	angolo di resistenza a taglio tra terreno-muro
$\theta$	= 7.65	7.65	°	angolo definito per livello di falda al di sotto dell'opera di sostegno
K1	= 0.632	0.632		coefficiente di spinta del terreno (statico + dinamico) per $\beta < \phi - \psi$
K2	= 0.803	0.803		coefficiente di spinta del terreno (statico + dinamico) per $\beta > \phi - \psi$
K	= 0.632	0.632		coefficiente di spinta del terreno (statico + dinamico) effettivo
Ed	= 7117	4879	kN	spinta terreno in fase sismica (Mononobe-Okabe)
$\Delta S$	= 2635.9	1807.0	kN	incremento di spinta in fase sismica (ipotesi struttura flessibile)
Valore adottato				
$\Delta P$	= 3026.5	2074.7	kN	incremento di spinta terreno in fase sismica
x	= 0.00	4.55	m	coordinata x punto di applicazione
y	= 0.00	0.00	m	coordinata y punto di applicazione
z	= -4.65	-5.45	m	coordinata z punto di applicazione

#### Forze d'inerzia (q6.2)

	forza d'inerzia	coord x p.to di applicaz	coord y p.to di applicaz	coord z p.to di applicaz
	Fi	x	y	z
plinto	758	4.80	0.00	-0.80
muro frontale	306	5.45	0.00	-3.35
paragliaia	163	3.85	0.00	-6.00
muro laterale sx	80	2.28	6.40	-5.10
muro laterale dx	80	2.28	-6.40	-5.10
bandiera sx	0	-1.40	6.00	-7.33
bandiera dx	0	-0.50	-6.25	-8.10
baggioli	3	5.20	0.00	-5.28
apparecchi di appoggio	1	5.20	0.00	-5.68
elemento 1	0	4.55	4.75	-7.90
elemento 2	0	4.55	-4.75	-7.90
terreno su plinto	1015	2.28	0.00	-5.10
risultante intradosso plinto	2408	3.59	0.00	-3.59
risultante base muro frontale	633	4.23	0.00	-4.49

### 2.3 RIEPILOGO SOLLECITAZIONI RISPETTO A BARICENTRO PALI

Nella tabella seguente vengono riepilogate le azioni trasmesse in fondazione dalla spalla e dall'impalcato. Dette azioni sono riferite al baricentro della paliificata.





CORRIDOIO PLURIMODALE TIRRENICO-NORD EUROPA ITINERARIO AGRIGENTO -CALTANISSETTA-A19 S.S. N° 640 "DI PORTO EMPEDOCLE" AMMODERNAMENTO E ADEGUAMENTO ALLA CAT. B DEL D.M. 5.11.2001 Dal km 44+000 allo svincolo con l'A19 <b>Progetto Esecutivo</b>	Opera: <b>Viadotto Arenella II</b>
	Relazione di calcolo Spalle – Carreggiata DX
	Pagina 13 di 67
	Nome file: V113-B-CL008-A.00_relazione_calcolo_Spalle_DX.doc

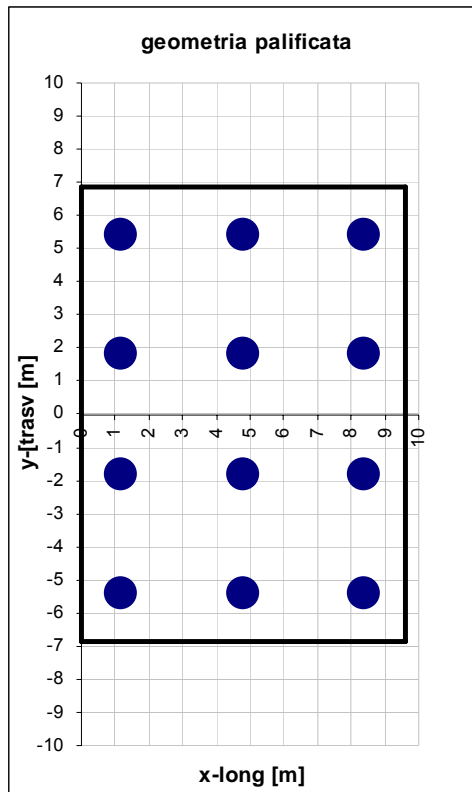
	S.L.car								S.L.E.				S.L.freq				S.L.qp	
Fx	5361	5409	5361	5409	5360	5409	5360	5409	5361	5409	5361	5409	5360	5409	5360	5409	4553	4594
Fy	79	79	-77	-77	75	75	-80	-80	27	27	-25	-25	23	23	-28	-28	0	0
Fz	21362	21166	21362	21166	18978	18783	18979	18783	21362	21166	21362	21166	18978	18783	18979	18783	19056	18893
Mx	835	832	-381	-385	-3062	-3065	-4278	-4282	430	426	24	21	-3467	-3471	-3873	-3876	165	162
My	3154	3003	3154	3003	4084	3933	4084	3933	3154	3003	3154	3003	4084	3933	4084	3933	5118	4992

La geometria della palificata è dunque riportata ai fini del calcolo delle azioni (sforzo assiale e taglio) sui singoli pali:

**CALCOLO AZIONI SUI PALI**

**Geometria della palificata**

PALO	X	Y	Xp	Yp	trasv	long
					Jxi	Jyi
1	1.20	5.40	-3.60	5.40	29.16	12.96
2	1.20	1.80	-3.60	1.80	3.24	12.96
3	1.20	-1.80	-3.60	-1.80	3.24	12.96
4	1.20	-5.40	-3.60	-5.40	29.16	12.96
5	4.80	5.40	0.00	5.40	29.16	0.00
6	4.80	1.80	0.00	1.80	3.24	0.00
7	4.80	-1.80	0.00	-1.80	3.24	0.00
8	4.80	-5.40	0.00	-5.40	29.16	0.00
9	8.40	5.40	3.60	5.40	29.16	12.96
10	8.40	1.80	3.60	1.80	3.24	12.96
11	8.40	-1.80	3.60	-1.80	3.24	12.96
12	8.40	-5.40	3.60	-5.40	29.16	12.96







CORRIDOIO PLURIMODALE TIRRENICO-NORD EUROPA ITINERARIO AGRIGENTO -CALTANISSETTA-A19 S.S. N° 640 "DI PORTO EMPEDOCLE" AMMODERNAMENTO E ADEGUAMENTO ALLA CAT. B DEL D.M. 5.11.2001 Dal km 44+000 allo svincolo con l'A19 <b>Progetto Esecutivo</b>	Opera: <b>Viadotto Arenella II</b>
	Relazione di calcolo Spalle – Carreggiata DX
	Pagina 15 di 67
	Nome file: V113-B-CL008-A.00_relazione_calcolo_Spalle_DX.doc

## RIEPILOGO

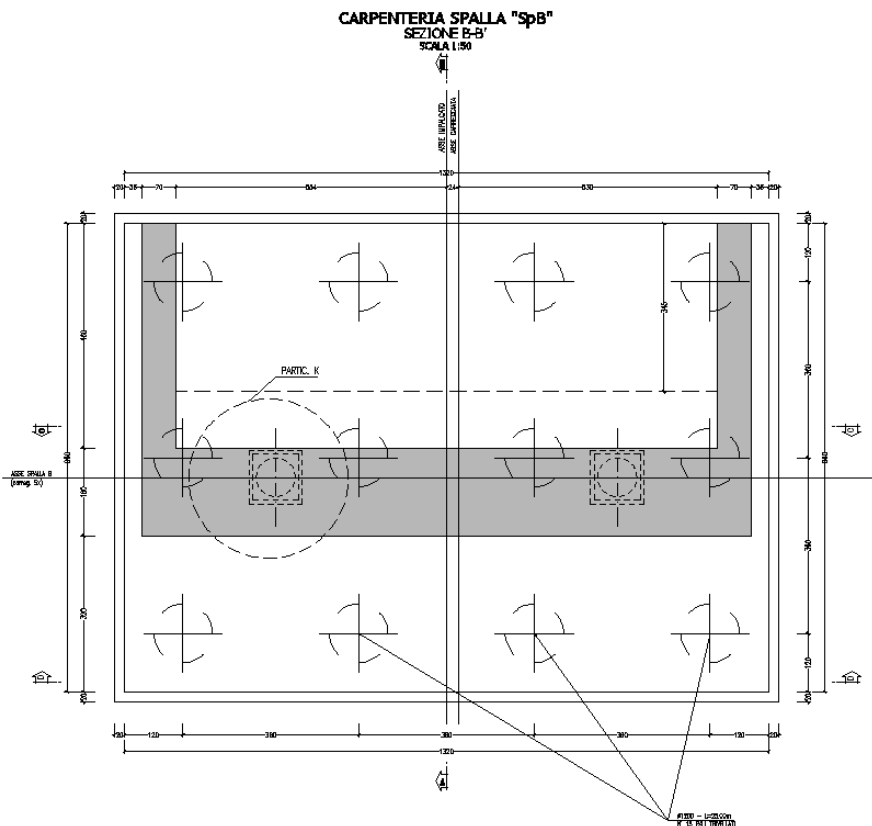
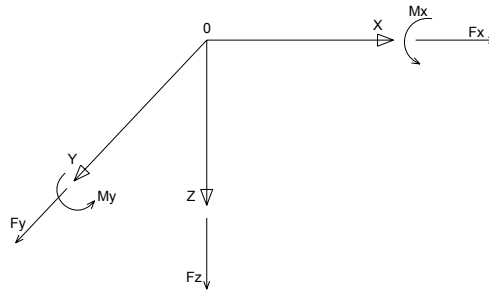
		SLU	SLV	SLE	
Nmax	2791	2791	2315	1913	kN
Nmin	837	2010	837	1913	kN
Vmax	886	638	886	451	kN

### 3 ANALISI DELLA PALIFICATA DELLA SPALLA B

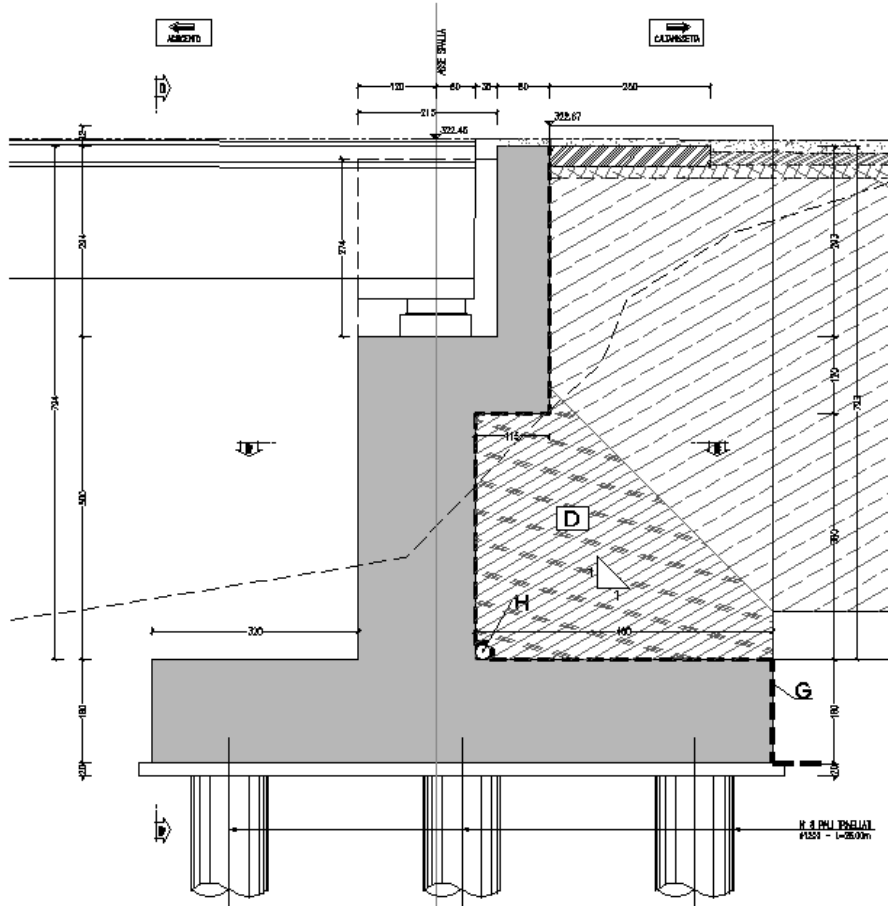
Si riporta nel presente capitolo il calcolo delle sollecitazioni nei pali di fondazione della spalla B della carreggiata destra.

Il calcolo delle sollecitazioni in fondazione è stato effettuato facendo riferimento ad un sistema di coordinate ortogonali destrogiro, avente origine in corrispondenza del filo di monte del plinto di fondazione (a metà del lato parallelo alla direzione trasversale al viadotto), a livello dell'intradosso del plinto stesso, asse x parallelo all'asse longitudinale dell'impalcato ed asse z diretto verso il basso.

Le azioni orizzontali ( $F_x$  ed  $F_y$ ) e verticali ( $F_z$ ) si assumono positive se di verso concorde con quello degli assi. Si indicheranno inoltre con  $M_x$  i momenti aventi asse-momento parallelo all'asse x (momenti trasversali) e con  $M_y$  (momenti longitudinali) i momenti aventi asse-momento parallelo all'asse y. I momenti si assumono positivi se di senso antiorario rispetto all'asse-momento cui si riferiscono.



**CARPENTERIA SPALLA SpB (Carreggiata Dx)**  
 SEZIONE A-A'  
 SCALA 1:60



**Geometrie Spalla**

	n.	Bx	By	Bz,min	Bz,max	V	X	Y	Z
	[-]	[m]	[m]	[m]	[m]	[m <sup>3</sup> ]	[m]	[m]	[m]
plinto di fondazione	1	9.60	13.20	1.60	-	202.8	4.80	0.00	-0.80
muro frontale	1	1.80	12.50	5.00	-	112.5	5.50	0.00	-4.10
muro paraghiaia	1	0.80	12.50	4.15	-	41.5	3.85	0.00	-7.48
muro laterale sx	1	4.60	0.70	8.25	-	26.6	2.30	5.90	-5.73
muro laterale dx	1	4.60	0.70	8.25	-	26.6	2.30	-5.90	-5.73
bandiera sx	0	3.00	1.50	2.00	3	0.00	-1.40	5.50	-8.58
bandiera dx	0	1.00	1.00	1.00	1	0.00	-0.50	-5.75	-9.35
baggioli	2	1.10	1.10	0.35	-	0.85	5.20	0.00	-6.78
apparecchi di appoggio	2	0.90	0.90	0.47	-	0.76	5.20	0.00	-7.18

**3.1 AZIONI TRASMESSE DALL'IMPALCATO**

Si riportano nel seguente prospetto le azioni trasmesse dall'impalcato. Tali azioni sono riferite al baricentro appoggi e sono state desunte dalla risoluzione del modello di calcolo del viadotto.

CORRIDOIO PLURIMODALE TIRRENICO-NORD EUROPA ITINERARIO AGRIGENTO -CALTANISSETTA-A19 S.S. N° 640 "DI PORTO EMPEDOCLE" AMMODERNAMENTO E ADEGUAMENTO ALLA CAT. B DEL D.M. 5.11.2001 Dal km 44+000 allo svincolo con l'A19 <b>Progetto Esecutivo</b>	Opera: <b>Viadotto Arenella II</b>
	Relazione di calcolo Spalle – Carreggiata DX
	Pagina 18 di 67
	Nome file: V113-B-CL008-A.00_relazione_calcolo_Spalle_DX.doc

### AZIONI TRASMESSE DALL'IMPALCATO (RIFERITE AL BARICENTRO APPOGGI)

Coordinate baricentro appoggi

x	=	5.20 m	coordinata x
y	=	0.00 m	coordinata y
z	=	-7.18 m	coordinata z

	<b>Fx</b>	<b>Fy</b>	<b>Fz</b>	<b>Mx</b>	<b>My</b>	
	[kN]	[kN]	[kN]	[kNm]	[kNm]	
g1	0	0	2253	136	0	peso proprio impalcato
g2	0	0	377	18	0	permanenti portati
e2	34	0	-493	6	34	ritiro
e3.6	44	0	237	9	44	temperatura - massima azione verticale
e3.8	125	0	-89	3	125	temperatura - massima azione trasversale
q1.1	0	0	1825	607	1	carico mobile - configurazione 1 (massima azione verticale)
q1.2	0	4	1377	4567	1	carico mobile - configurazione 2 (massimo momento trasversale)
q3	138	0	0	0	138	frenatura
q4	0	0	0	0	0	azione centrifuga
q5	0	130	0	291	0	azione del vento trasversale
q6.1x	604	86	-37	123	604	sisma longitudinale
q6.1y	181	287	-37	409	181	sisma trasversale
q6.1z	181	86	-123	123	181	sisma verticale
q7	26	0	0	0	0	azione parassita dei vincoli

### 3.2 AZIONI TRASMESSE DALLA SPALLA

Si riportano ora per singoli casi di carico le azioni trasmesse dalla spalla, inserite nel modello SAP rispettivamente come: peso proprio (g<sub>1</sub>), carichi di superficie (g<sub>2</sub>, g<sub>3</sub>, q<sub>1.t</sub>, q<sub>6.1</sub>, q<sub>6.2-ter</sub>) e accelerazioni (q<sub>6.2-sp</sub>).

#### AZIONI TRASMESSE DALLA SPALLA

##### Peso proprio spalla (g<sub>1</sub>)

γ <sub>cls</sub>	=	<b>25</b> kN/m <sup>3</sup>	peso specifico calcestruzzo
g1.1	=	5068.8 kN	plinto di fondazione
g1.2	=	2812.5 kN	muro frontale
g1.3	=	1037.5 kN	muro paraghiaia
g1.4	=	664.1 kN	muro laterale sx
g1.5	=	664.1 kN	muro laterale dx
g1.6	=	0.0 kN	bandiera sx
g1.7	=	0.0 kN	bandiera dx
g1.8	=	21.2 kN	baggioli
g1.9	=	10.3 kN	apparecchi di appoggio
g1.10	=	0.0 kN	elemento 1
g1.11	=	0.0 kN	elemento 2
Fz	=	<b>10278.5</b> kN	azione verticale
x	=	4.57 m	coordinata x punto di applicazione
y	=	0.00 m	coordinata y punto di applicazione
z	=	-3.04 m	coordinata z punto di applicazione

##### Peso terreno su fondazione (g<sub>2</sub>)

γ <sub>t</sub>	=	<b>18</b> kN/m <sup>3</sup>	peso dell'unità di volume del terreno
V	=	447.8 m <sup>3</sup>	volume di terreno sopra fondazione
Fz	=	<b>8060.6</b> kN	peso del terreno
x	=	2.30 m	coordinata x punto di applicazione
y	=	0.00 m	coordinata y punto di applicazione
z	=	-5.73 m	coordinata z punto di applicazione

CORRIDOIO PLURIMODALE TIRRENICO-NORD EUROPA ITINERARIO AGRIGENTO -CALTANISSETTA-A19 S.S. N° 640 "DI PORTO EMPEDOCLE" AMMODERNAMENTO E ADEGUAMENTO ALLA CAT. B DEL D.M. 5.11.2001 Dal km 44+000 allo svincolo con l'A19 <b>Progetto Esecutivo</b>	Opera: <b>Viadotto Arenella II</b>
	Relazione di calcolo Spalle – Carreggiata DX
	Pagina 19 di 67
	Nome file: V113-B-CL008-A.00_relazione_calcolo_Spalle_DX.doc

### Spinta del terreno (g3)

		intradosso base muro			
		plinto	frontale		
$\gamma$	=	<b>18</b>	18	kN/m <sup>3</sup>	peso dell'unità di volume del terreno
$\phi$	=	<b>35</b>	35	°	angolo di attrito del terreno
Ka	=	0.271	0.271		coefficiente di spinta attiva
K0	=	0.426	0.426		coefficiente di spinta a riposo
K	=	0.426	0.426		coefficiente di spinta adottato
H	=	10.75	9.15	m	altezza di spinta terreno (rispetto a intradosso plinto)
B	=	12.50	12.50	m	larghezza trasversale interessata dalla spinta (y-y)
Fx	=	<b>5543.8</b>	<b>4016.4</b>	kN	spinta del terreno
x	=	0.00	4.60	m	coordinata x punto di applicazione
y	=	0.00	0	m	coordinata y punto di applicazione
z	=	-3.58	-4.65	m	coordinata z punto di applicazione

### Effetti del sovraccarico stradale sul rilevato (q1.t)

		intradosso base muro			
		plinto	frontale		
Incremento di spinta					
q	=	<b>20.00</b>	20.00	kPa	sovraccarico stradale
$\phi$	=	35	35	°	angolo di attrito del terreno
K	=	0.426	0.426		coefficiente di spinta
H	=	10.75	9.15	m	altezza di spinta terreno
B	=	12.50	12.50	m	larghezza trasversale interessata dalla spinta (y-y)
Fx	=	<b>1146.0</b>	<b>975.4</b>	kN	spinta del terreno per effetto del sovraccarico
x	=	0.00	4.60	m	coordinata x punto di applicazione
y	=	0.00	0	m	coordinata y punto di applicazione
z	=	-5.38	-6.18	m	coordinata z punto di applicazione
Incremento di azione verticale					
Bx	=	4.60	-	m	lunghezza del plinto interessata dal sovraccarico
Fz	=	<b>1150.0</b>	-	kN	risultante verticale sovraccarico
x	=	2.30	-	m	coordinata x punto di applicazione
y	=	0.00	-	m	coordinata y punto di applicazione
z	=	-1.60	-	m	coordinata z punto di applicazione

### Azioni sismiche (q6)

parametri sismici					
$a_g$	=	<b>0.096</b>		g	accelerazione di picco
$S_S$	=	<b>1.50</b>			coefficiente di amplificazione stratigrafica
$S_T$	=	<b>1.00</b>			coefficiente di amplificazione topografica
S	=	1.50			
$\beta_m$	=	<b>1.00</b>			coefficiente di riduzione dell'accelerazione massima
$a_{max}$	=	0.144		g	accelerazione massima
$K_h$	=	0.144			coefficiente sismico orizzontale
$K_v$	=	0.072			coefficiente sismico verticale

CORRIDOIO PLURIMODALE TIRRENICO-NORD EUROPA ITINERARIO AGRIGENTO -CALTANISSETTA-A19 S.S. N° 640 "DI PORTO EMPEDOCLE" AMMODERNAMENTO E ADEGUAMENTO ALLA CAT. B DEL D.M. 5.11.2001 Dal km 44+000 allo svincolo con l'A19 <b>Progetto Esecutivo</b>	Opera: <b>Viadotto Arenella II</b>
	Relazione di calcolo Spalle – Carreggiata DX
	Pagina 20 di 67
	Nome file: V113-B-CL008-A.00_relazione_calcolo_Spalle_DX.doc

#### Incremento di spinta terreno in fase sismica (q6.1)

Ipotesi di struttura rigida

		intradosso base muro			
		plinto	frontale		
$\gamma$	=	18	18	kN/m <sup>3</sup>	peso dell'unità di volume del terreno
H	=	10.75	9.15	m	altezza di spinta terreno
B	=	12.50	12.50	m	larghezza trasversale interessata dalla spinta (y-y)
$\Delta P$		<b>3744.2</b>	<b>2712.6</b>		incremento di spinta in fase sismica (ipotesi di struttura rigida)
Ipotesi di struttura flessibile					
$\phi$	=	<b>35</b>	35	°	angolo di attrito
$\psi$	=	<b>90</b>	90	°	angolo di inclinazione rispetto all'orizz della parete del muro rivolta a monte
$\beta$	=	<b>0</b>	0	°	angolo di inclinazione rispetto all'orizz della superficie del terrapieno
$\delta$	=	<b>0</b>	0	°	angolo di resistenza a taglio tra terreno-muro
$\theta$	=	7.65	7.65	°	angolo definito per livello di falda al di sotto dell'opera di sostegno
K1	=	0.632	0.632		coefficiente di spinta del terreno (statico + dinamico) per $\beta < \phi - \psi$
K2	=	0.803	0.803		coefficiente di spinta del terreno (statico + dinamico) per $\beta > \phi - \psi$
K	=	0.632	0.632		coefficiente di spinta del terreno (statico + dinamico) effettivo
Ed	=	8805	6379	kN	spinta terreno in fase sismica (Mononobe-Okabe)
$\Delta S$	=	<b>3261.1</b>	<b>2362.6</b>	kN	incremento di spinta in fase sismica (ipotesi struttura flessibile)
Valore adottato					
$\Delta P$	=	<b>3744.2</b>	<b>2712.6</b>	kN	incremento di spinta terreno in fase sismica
x	=	0.00	4.60	m	coordinata x punto di applicazione
y	=	0.00	0.00	m	coordinata y punto di applicazione
z	=	-5.38	-6.18	m	coordinata z punto di applicazione

#### Forze d'inerzia (q6.2)

	forza d'inerzia	coord x p.to di applicaz	coord y p.to di applicaz	coord z p.to di applicaz
	<b>Fi</b>	<b>x</b>	<b>y</b>	<b>z</b>
plinto	730	4.80	0.00	-0.80
muro frontale	405	5.50	0.00	-4.10
paraghiaia	149	3.85	0.00	-7.48
muro laterale sx	96	2.30	5.90	-5.73
muro laterale dx	96	2.30	-5.90	-5.73
bandiera sx	0	-1.40	5.50	-8.58
bandiera dx	0	-0.50	-5.75	-9.35
baggioli	3	5.20	0.00	-6.78
apparecchi di appoggio	1	5.20	0.00	-7.18
elemento 1	0	4.55	4.75	-7.90
elemento 2	0	4.55	-4.75	-7.90
terreno su plinto	1161	2.30	0.00	-5.73
risultante intradosso plinto	<b>2641</b>	3.57	0.00	-4.22
risultante base muro frontale	<b>750</b>	4.34	0.00	-5.19







CORRIDOIO PLURIMODALE TIRRENICO-NORD EUROPA ITINERARIO AGRIGENTO -CALTANISSETTA-A19 S.S. N° 640 "DI PORTO EMPEDOCLE" AMMODERNAMENTO E ADEGUAMENTO ALLA CAT. B DEL D.M. 5.11.2001 Dal km 44+000 allo svincolo con l'A19 <b>Progetto Esecutivo</b>	Opera: <b>Viadotto Arenella II</b>
	Relazione di calcolo Spalle – Carreggiata DX
	Pagina 23 di 67
	Nome file: VI13-B-CL008-A.00_relazione_calcolo_Spalle_DX.doc

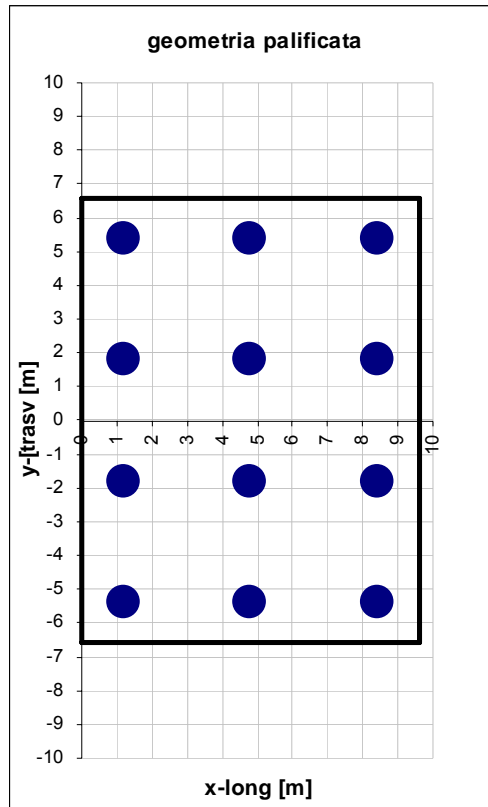
	S.L.car								S.L.E.			S.L.freq				S.L.qp		
Fx	6480	6528	6479	6528	6479	6528	6479	6528	6480	6528	6479	6528	6479	6528	6479	6528	5616	5656
Fy	78	78	-77	-77	75	75	-81	-81	26	26	-25	-25	23	23	-29	-29	0	0
Fz	22849	22654	22849	22654	20447	20252	20447	20252	22849	22654	22849	22654	20447	20252	20447	20252	20594	20431
Mx	1359	1355	-110	-113	-2546	-2549	-4014	-4018	869	866	380	376	-3035	-3039	-3525	-3528	167	165
My	-1803	-2027	-1803	-2027	-844	-1068	-843	-1068	-1803	-2027	-1803	-2027	-844	-1068	-844	-1068	1244	1057

La geometria della palificata è dunque riportata ai fini del calcolo delle azioni (sforzo assiale e taglio) sui singoli pali:

### CALCOLO AZIONI SUI PALI

#### Geometria della palificata

PALO	X	Y	Xp	Yp	trasv Jxi	long Jyi
1	1.20	5.40	-3.60	5.40	29.16	12.96
2	1.20	1.80	-3.60	1.80	3.24	12.96
3	1.20	-1.80	-3.60	-1.80	3.24	12.96
4	1.20	-5.40	-3.60	-5.40	29.16	12.96
5	4.80	5.40	0.00	5.40	29.16	0.00
6	4.80	1.80	0.00	1.80	3.24	0.00
7	4.80	-1.80	0.00	-1.80	3.24	0.00
8	4.80	-5.40	0.00	-5.40	29.16	0.00
9	8.40	5.40	3.60	5.40	29.16	12.96
10	8.40	1.80	3.60	1.80	3.24	12.96
11	8.40	-1.80	3.60	-1.80	3.24	12.96
12	8.40	-5.40	3.60	-5.40	29.16	12.96



CORRIDOIO PLURIMODALE TIRRENICO-NORD EUROPA ITINERARIO AGRIGENTO -CALTANISSETTA-A19 S.S. N° 640 "DI PORTO EMPEDOCLE" AMMODERNAMENTO E ADEGUAMENTO ALLA CAT. B DEL D.M. 5.11.2001 Dal km 44+000 allo svincolo con l'A19 <b>Progetto Esecutivo</b>	Opera: <b>Viadotto Arenella II</b>
	Relazione di calcolo Spalle – Carreggiata DX
	Pagina 24 di 67
	Nome file: V113-B-CL008-A.00_relazione_calcolo_Spalle_DX.doc

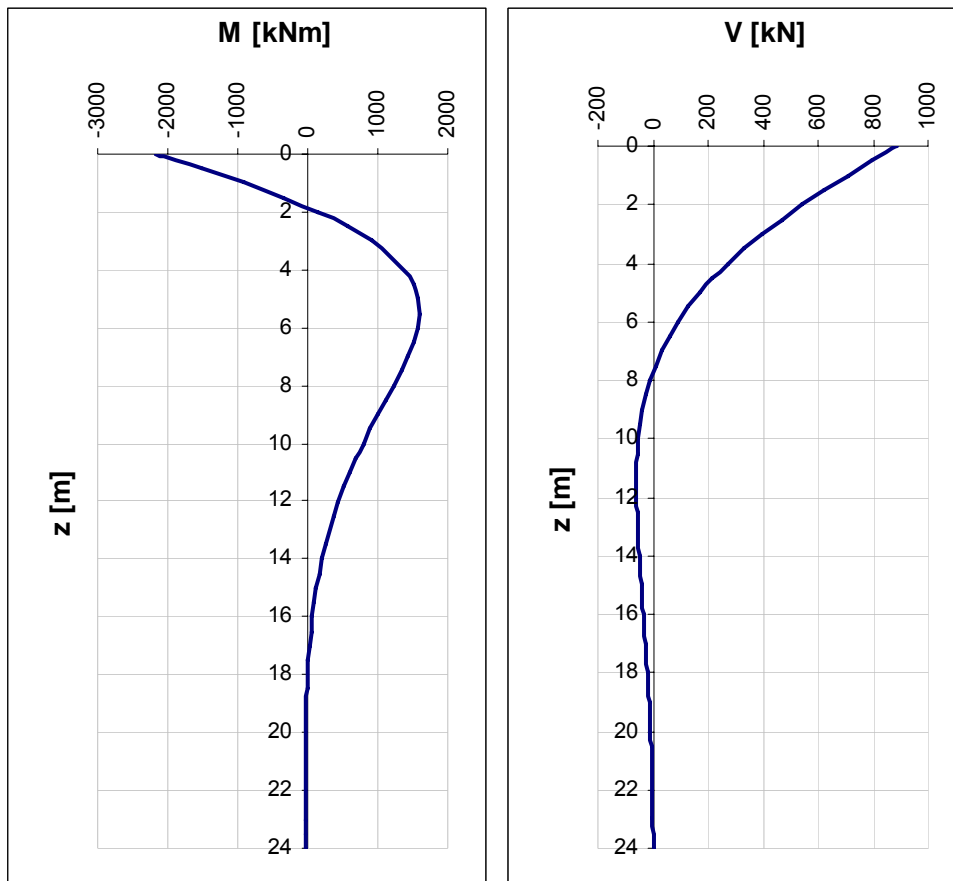
## 4 VERIFICA DEI PALI DI FONDAZIONE SPALLA A

### 4.1 VERIFICHE STRUTTURALI

Per il calcolo delle sollecitazioni flettenti e taglianti agenti lungo il fusto del palo si adotta lo schema di palo con la testa impedita di ruotare, ma libera di traslare per effetto dell'azione orizzontale ivi applicata, ed immerso in un terreno schematizzato alla Winkler. Per la determinazione della lunghezza elastica del palo,  $\lambda$ , si adotta l'espressione di Zimmerman.

Di seguito si riporta il dettaglio dei calcoli di dimensionamento e verifica.

E	=	33643 MPa	modulo elastico calcestruzzo
D	=	<b>1200</b> mm	diametro palo
J	=	0.1018 m <sup>4</sup>	momento d'inerzia del palo
K	=	<b>13000</b> kN/m <sup>3</sup>	costante di reazione del terreno
B	=	1.80 m	larghezza efficace del palo
E <sub>s</sub>	=	23400 kN/m <sup>2</sup>	modulo di elasticità del terreno
L0	=	4.92 m	lunghezza elastica del palo
h	=	<b>0.00</b> m	altezza tratto libero
V	=	886.0 kN	taglio alla testa del palo
M <sub>max</sub>	=	<b>2179.1</b> kNm	massimo momento flettente
d <sub>max</sub>	=	7.70 mm	spostamento massimo in testa
z2	=	9.70 m	profondità di calcolo momento flettente
M(z2)	=	<b>852.3</b> kNm	momento flettente alla profondità z2
z3	=	20.7 m	profondità di calcolo momento flettente
M(z3)	=	<b>-24.9</b> kNm	momento flettente alla profondità z3



#### 4.1.1 S.L.U. – Resistenza: presso-flessione

La prima gabbia viene armata con 22 Ø26, mentre per le successive sono sufficienti 15 Ø18.  
 Il momento ultimo del palo viene determinato con il programma V.C.A.S.L.U.: si riporta di seguito la schermata di output del programma relativa alla sezione z = 0 m.

**Verifica C.A. S.L.U. - File: palo1\_spA**

File Materiali Opzioni Visualizza Progetto Sez. Rett. Sismica Normativa: NTC 2008 ?

**Titolo:** Resistenza: presso-flessione semplice

**Sezione circolare cava**

- Raggio esterno: 60 [cm]
- Raggio interno: 0 [cm]
- N° barre uguali: 20
- Diametro barre: 2.6 [cm]
- Copriferro (baric.): 5 [cm]

**N° barre:** 0 Zoom

**Tipo Sezione:**  
 Rettan.re  Trapezi  
 a T  Circolare  
 Rettangoli  Coord.

**Sollecitazioni:**  
 S.L.U. Metodo n

**N<sub>Ed</sub>:** 689.5 **0** kN  
**M<sub>xEd</sub>:** 2185.7 **0** kNm  
**M<sub>yEd</sub>:** 0 **0**

**P.to applicazione N:**  
 Centro  Baricentro cls  
 Coord.[cm] xN 0 yN 0

**Tipo rottura:**  
 Lato calcestruzzo - Acciaio snervato

**Materiali:**

B450C		C32/40	
$\epsilon_{su}$	67.5 ‰	$\epsilon_{c2}$	2 ‰
$f_{yd}$	391.3 N/mm <sup>2</sup>	$\epsilon_{cu}$	3.5
$E_s$	200'000 N/mm <sup>2</sup>	$f_{cd}$	18.81
$E_s/E_c$	15	$f_{cc}/f_{cd}$	0.8 ?
$\epsilon_{syd}$	1.957 ‰	$\sigma_{c,adm}$	12.25
$\sigma_{s,adm}$	255 N/mm <sup>2</sup>	$\tau_{co}$	0.7333
		$\tau_{c1}$	2.114

**M<sub>xRd</sub>:** 2'284 kN m

$\sigma_c$ : -18.81 N/mm<sup>2</sup>  
 $\sigma_s$ : 391.3 N/mm<sup>2</sup>  
 $\epsilon_c$ : 3.5 ‰  
 $\epsilon_s$ : 12 ‰  
 d: 115 cm  
 x: 25.96 x/d: 0.2257  
 $\delta$ : 0.7222

**Metodo di calcolo:**  
 S.L.U.+  S.L.U.-  
 Metodo n

**Tipo flessione:**  
 Retta  Deviata

Vertici: 52 N° rett.: 100

Calcola MRd Dominio M-N  
 L<sub>0</sub>: 0 cm Col. modello

Precompresso

	Z <sub>in</sub> [m]	Z <sub>in</sub> [m]	c' [cm]	Φ [mm]	n	s [cm]	M <sub>Ed</sub> [kN*m]	N <sub>Ed</sub> [kN]	M <sub>res</sub> [kN*m]	
gabbia n.1	-1.3	10.7	5	26	22	15.7	2179.1	837.1	2284.0	OK
gabbia n.2	9.7	21.7	5	18	15	23.0	852.3	837.1	1057.0	OK

CORRIDOIO PLURIMODALE TIRRENICO-NORD EUROPA ITINERARIO AGRIGENTO -CALTANISSETTA-A19 S.S. N° 640 "DI PORTO EMPEDOCLE" AMMODERNAMENTO E ADEGUAMENTO ALLA CAT. B DEL D.M. 5.11.2001 Dal km 44+000 allo svincolo con l'A19 <b>Progetto Esecutivo</b>	Opera: <b>Viadotto Arenella II</b>
	Relazione di calcolo Spalle – Carreggiata DX
	Pagina 26 di 67
	Nome file: V113-B-CL008-A.00_relazione_calcolo_Spalle_DX.doc

#### 4.1.2 S.L.U. – Resistenza: taglio

Si dispongono spirali Ø12/200 nella prima gabbia dove le sollecitazioni taglianti sono maggiori, mentre nell'altra sono sicuramente sufficienti delle spirali Ø10/300. La verifica a taglio risulta soddisfatta se:

$$V_{Rd} \geq V_{Ed}$$

in cui:

$V_{Ed}$ : taglio di calcolo

$V_{Rd} = \min(V_{Rsd}; V_{Rcd})$ : taglio resistente

$V_{Rsd} = 0.9 \cdot d_e \cdot \frac{A_{sw}}{s} \cdot f_{yd} \cdot (\cot \alpha + \cot \theta) \cdot \sin \alpha$ : resistenza di calcolo a taglio trazione

$V_{Rcd} = 0.9 \cdot d_e \cdot b_{we} \cdot \alpha_c \cdot f_{cd}' \cdot \frac{(\cot \alpha + \cot \theta)}{(1 + \cot^2 \theta)}$ : resistenza di calcolo a taglio compressione

dove:

$d_e = 0.45 \cdot D + 0.64 \cdot (d - D/2)$ : altezza utile equivalente della sezione

D: diametro della sezione

d: altezza utile della sezione

$b_{we} = 0.9 \cdot D$ : base equivalente della sezione

$A_{sw}$ : area dell'armatura trasversale

s: interasse tra due armature trasversali consecutive

$\alpha_c$ : coefficiente maggiorativo per lo sforzo assiale

$f_{cd}' = 0.5 \cdot f_{cd}$ : resistenza a compressione ridotta del calcestruzzo d'anima

#### Sollecitazioni

V = 886.0 kN      taglio di calcolo  
N = 837.1 kN      sforzo assiale di calcolo

#### Geometria

D = 1200 mm      diametro sezione  
d = 1140 mm      altezza utile  
d<sub>e</sub> = 886 mm      altezza utile equivalente  
b<sub>we</sub> = 1080 mm      base equivalente

#### Materiali

R<sub>ck</sub> = 40      resistenza caratteristica cubica  
f<sub>ck</sub> = 33.20 MPa      resistenza caratteristica cilindrica  
γ<sub>c</sub> = 1.50      coefficiente parziale di sicurezza  
α<sub>cc</sub> = 0.85      coefficiente riduttivo per resistenze di lunga durata  
f<sub>cd</sub> = 18.81 MPa      resistenza di calcolo a compressione  
f'<sub>cd</sub> = 9.41 MPa      resistenza ridotta

CORRIDOIO PLURIMODALE TIRRENICO-NORD EUROPA ITINERARIO AGRIGENTO -CALTANISSETTA-A19 S.S. N° 640 "DI PORTO EMPEDOCLE" AMMODERNAMENTO E ADEGUAMENTO ALLA CAT. B DEL D.M. 5.11.2001 Dal km 44+000 allo svincolo con l'A19 <b>Progetto Esecutivo</b>	Opera: <b>Viadotto Arenella II</b>
	Relazione di calcolo Spalle – Carreggiata DX
	Pagina 27 di 67
	Nome file: V113-B-CL008-A.00_relazione_calcolo_Spalle_DX.doc

$\gamma_s$	=	1.15	coefficiente di sicurezza acciaio
$f_{yk}$	=	450.0 MPa	tensione caratteristica di snervamento acciaio
$f_{yd}$	=	391.3 MPa	tensione di snervamento di calcolo dell'acciaio

#### Verifica per elementi provvisti di armatura a taglio

$\emptyset_w$	=	12 mm	diametro dell'armatura a taglio
$\alpha$	=	90 °	inclinazione dell'armatura trasversale
s	=	200 mm	passo staffe in direzione longitudinale
$n_{br}$	=	2	numero bracci
$A_{sw}$	=	226.2 mm <sup>2</sup>	area resistente dell'armatura a taglio
ctg $\vartheta$	=	2.50	inclinazione delle bielle di calcestruzzo
$\sigma_{cp}$	=	0.740 MPa	tensione media calcestruzzo
$\alpha_c$	=	1.04	
$V_{Rsd}$	=	881.8 kN	resistenza taglio trazione
$V_{Rcd}$	=	2902.0 kN	resistenza taglio compressione
$V_{Rd}$	=	881.8 kN	resistenza a taglio
FS	=	1.00	

#### 4.1.3 S.L.E. – Fessurazione

Si procede alla verifica dell'ampiezza di fessurazione per via indiretta, così come riportata nell'ultimo capoverso del punto 4.1.2.2.4.6 delle NTC, riferendosi ai limiti di tensione nell'acciaio d'armatura definiti nelle tabelle seguenti. La tensione  $\sigma_s$  è quella nell'acciaio d'armatura prossimo al lembo teso della sezione calcolata nella sezione parzializzata per la combinazione di carico pertinente.

Per quanto riguarda le condizioni ambientali e la sensibilità delle armature sono state assunte:

- condizioni ambientali aggressive;
- armature poco sensibili.

Definita la massima tensione ammissibile nelle barre di acciaio, si considerano per ogni combinazione le condizioni di sforzo normale e taglio agente e, con l'ausilio del programma di calcolo V.C.A.S.L.U., utilizzando un'analisi elastica, si determina la massima tensione nelle barre di armatura, per la combinazione più gravosa.

condizioni ambientali aggressive  
armature poco sensibili

##### Diametri massimi delle barre per il controllo della fessurazione

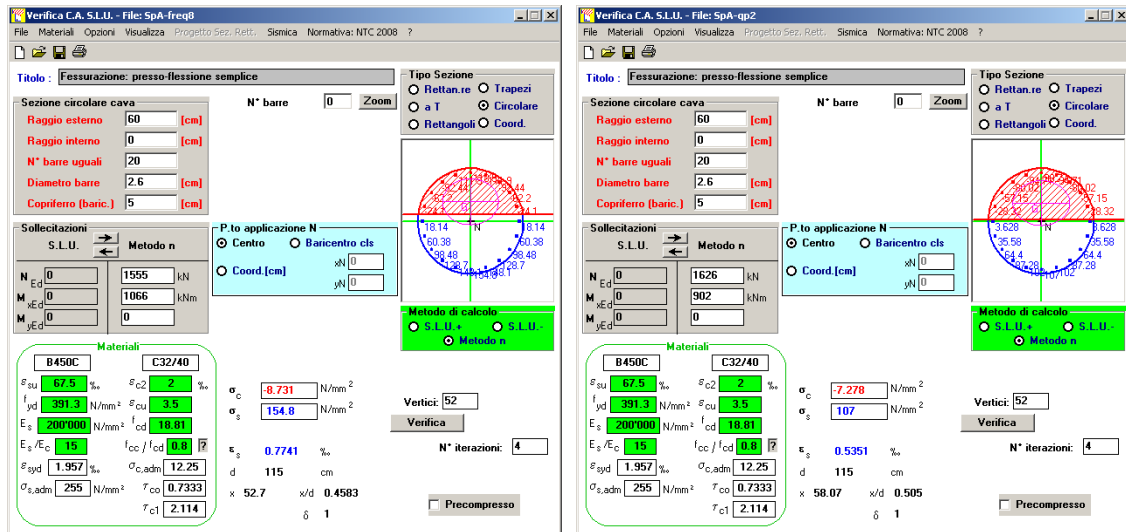
$\sigma_s$ [MPa]	w <sub>2</sub> =0.30 mm								w <sub>1</sub> =0.20 mm	
	$\emptyset$									
160	32	32	32	32	32	32	32	32	25	25
200	25	25	25	25	25	25	25	25	16	16
240	16	16	16	16	16	16	16	16	12	12
280	12	12	12	12	12	12	12	12	8	8
320	10	10	10	10	10	10	10	10	6	6
360	8	8	8	8	8	8	8	8	-	-

##### Spaziatura massima delle barre per il controllo della fessurazione

$\sigma_s$ [MPa]	w <sub>2</sub> =0.30 mm								w <sub>1</sub> =0.20 mm	
	$\emptyset$									
160	300	300	300	300	300	300	300	300	200	200
200	250	250	250	250	250	250	250	250	150	150
240	200	200	200	200	200	200	200	200	100	100
280	150	150	150	150	150	150	150	150	50	50
320	100	100	100	100	100	100	100	100	-	-
360	50	50	50	50	50	50	50	50	-	-

##### Sollecitazioni agenti

	=	combinazione								qp1	qp2		
		freq 1	freq 2	freq 3	freq 4	freq 5	freq 6	freq 7	freq 8				
L0		4.92	4.92	4.92	4.92	4.92	4.92	4.92	4.92	4.92	4.92	m	lunghezza elastica del palo
h		0.00	0.00	0.00	0.00	0.00	0.00	0.00	0.00	0.00	0.00	m	altezza tratto libero
N		1659	1648	1670	1659	1343	1332	1332	1321	1406	1397	kN	sforzo assiale
V		447	451	447	451	447	451	447	451	379	383	kN	taglio alla testa del palo
M <sub>max</sub>		1099	1109	1099	1109	1099	1109	1099	1109	933	941	kN*m	massimo momento flettente
$\sigma_{s,max}$		200	200	200	200	200	200	200	200	160	160	MPa	tensione massima nell'acciaio da normativa
$\sigma_{sd,max}$		-	-	-	-	-	-	-	-	155	107	MPa	tensione massima di trazione nell'acciaio di calcolo
		OK	OK	OK	OK	OK	OK	OK	OK	OK	OK		



#### 4.1.4 S.L.E. – Limitazione delle tensioni

In accordo con quanto previsto dalle NTC al punto 4.1.2.2.5, si verifica ora che le massime tensioni agenti nel calcestruzzo e nell'acciaio in fase di esercizio per la combinazione caratteristica e per quella quasi permanente siano inferiori ai massimi valori consentiti (per il calcestruzzo, compressione:  $0,60 f_{ck}$  in combinazione caratteristica e  $0,40 f_{ck}$  in combinazione quasi permanente; per l'acciaio:  $0,80 f_{yk}$  in combinazione caratteristica). Le tensioni sono state ottenute con la stessa metodologia utilizzata per le verifiche di fessurazione.

##### Materiali

Rck	=	40	MPa	resistenza caratteristica cubica
$f_{ck}$	=	33.20	MPa	resistenza caratteristica cilindrica
$f_{yk}$	=	450.0	MPa	resistenza caratteristica di snervamento cilindrica

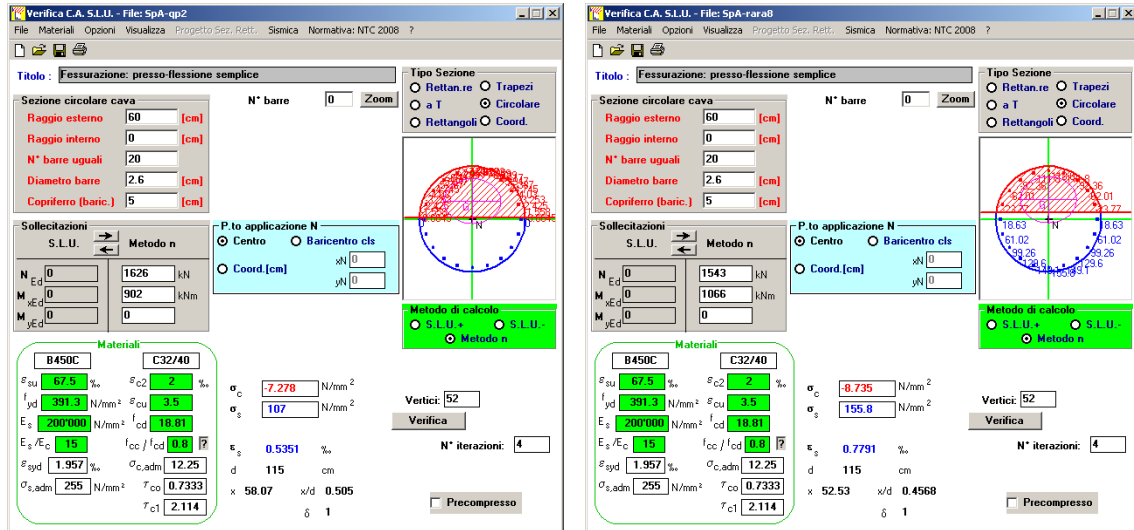
	rara1	rara2	rara3	rara4	rara5	rara6	rara7	rara8	qp1	qp2			
<b>Sollecitazioni agenti</b>													
L0	=	4.92	4.92	4.92	4.92	4.92	4.92	4.92	4.92	4.92	m	lunghezza elastica del palo	
h	=	0.00	0.00	0.00	0.00	0.00	0.00	0.00	0.00	0.00	m	altezza tratto libero	
N	=	1647	1636	1660	1649	1355	1344	1321	1310	1406	1397	kN	sforzo assiale
V	=	447	451	447	451	447	451	447	451	379	383	kN	taglio alla testa del palo
M <sub>max</sub>	=	1099	1109	1099	1109	1099	1109	1099	1109	933	941	kN*m	massimo momento flettente

##### Tensione massima di compressione del calcestruzzo nelle condizioni di esercizio

$\sigma_{c,max}$	=	19.92	19.92	19.92	19.92	19.92	19.92	19.92	14.94	14.94	[MPa]	massima tensione del cls da normativa	
$\sigma_{c,Sd}$	=	-	-	-	-	-	-	-	8.74	-	7.28	[MPa]	tensione di calcolo del cls in esercizio

##### Tensione massima dell'acciaio in condizioni di esercizio

$\sigma_{s,max}$	=	360	360	360	360	360	360	360	360	360	[MPa]	massima tensione dell'acciaio normativa
$\sigma_{s,Sd}$	=	-	-	-	-	-	-	-	-	156	[MPa]	tensione di calcolo dell'acciaio in esercizio



## 4.2 VERIFICHE GEOTECNICHE DEI PALI

Nella seguente tabella si riportano i parametri fisico-meccanici dei terreni interessati dai pali di fondazione e adottati nel seguito per le verifiche geotecniche. Tali parametri derivano dal lavoro di caratterizzazione riportato nella relazione geotecnica a corredo del presente progetto esecutivo.

	TRV1	TRV2a	TRV2b	TF1
peso secco $\gamma_d$ (kN/m <sup>3</sup> )	19.6	19.8	19.3	19.8
$\gamma_{sat}$ (kN/m <sup>3</sup> )	19.6	19.8	19.3	19.8
coesione non dren. $c_u$ (kPa)	129	199	199 <sup>1</sup>	70 <sup>2</sup>
coesione dren. $c'$ (kPa)	19	24	21	5
angolo attrito $\phi'$ (°)	21	19	23	23

### 4.2.1 S.L.U. – Verifica a carico limite verticale

Il carico limite verticale  $Q_{lim}$  dei singoli pali (trivellati) è stato calcolato in condizioni non drenate e drenate in funzione del diametro  $d$  e della lunghezza  $L$  dei pali. La formula utilizzata è:

$$Q_{lim} = p_{lim} \frac{\pi d^2}{4} + \pi d \int_0^L s_{lim}$$

dove le resistenze unitarie alla punta e laterale sono rispettivamente calcolate come:

$$p_{lim,u} = \sigma_{vL} + N_c c_u$$

$$s_{lim,u} = \alpha c_u$$

in condizioni non drenate, e come:

$$p_{lim,d} = N_c c' + N_q \sigma_{vL}'$$

$$s_{lim,d} = k \mu \sigma_{vz}'$$

<sup>1</sup> In mancanza di dati si è assunto il valore della  $c_u$  dello strato argilloso superiore.

<sup>2</sup> Si è assunto il valore minimo tra i due dati a disposizione, per l'unità TF1, ricavati dalle prove di laboratorio, ritenendo non plausibile per i terreni di origine alluvionale una  $c_u=525.92$  kPa.

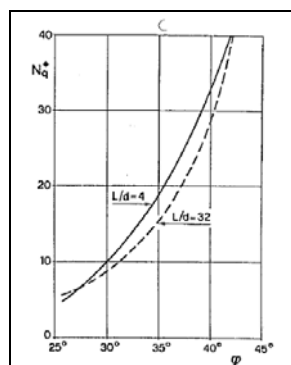
CORRIDOIO PLURIMODALE TIRRENICO-NORD EUROPA ITINERARIO AGRIGENTO -CALTANISSETTA-A19 S.S. N° 640 "DI PORTO EMPEDOCLE" AMMODERNAMENTO E ADEGUAMENTO ALLA CAT. B DEL D.M. 5.11.2001 Dal km 44+000 allo svincolo con l'A19 <b>Progetto Esecutivo</b>	Opera: <b>Viadotto Arenella II</b>
	Relazione di calcolo Spalle – Carreggiata DX
	Pagina 30 di 67
	Nome file: V113-B-CL008-A.00_relazione_calcolo_Spalle_DX.doc

in condizioni drenate. In queste equazioni, si sono indicate rispettivamente con  $\sigma_{VL}$  e con  $\sigma_{VL}'$  la tensione totale ed efficace agenti in sito alla quota della punta del palo. I valori assunti per il coefficiente di adesione  $\alpha$  sono stati ricavati in funzione della coesione non drenata secondo i valori riportati di seguito:

$c_u$ (kPa)	$\alpha$ (-)
<25	0.9
25 ÷ 50	0.8
50 ÷ 75	0.6
≥ 75	0.4

Il coefficiente di tensione orizzontale  $k$  è stato determinato con la formula di Jacky:  $k = 1 - \sin \varphi'$ , mentre il coefficiente di attrito vale:  $\mu = \tan \varphi'$ .

Si osserva che in condizioni drenate, *al fine di limitare i cedimenti*, si è volutamente considerato un ridotto contributo della resistenza alla punta (è infatti noto che tale resistenza si mobilita per cedimenti prossimi al 25% del diametro del palo) considerando  $N_q$  i valori desunti dal grafico riportato in figura. Riguardo  $N_c$ , si è assunto in condizioni non drenate  $N_c = 9$  e in condizioni drenate  $N_c$  è stato determinato con la relazione:



$$N_c = (N_q - 1) \cdot (\tan(\varphi'))^{-1}$$

In Tabella 1 i valori dei coefficienti  $N_c$  ed  $N_q$  adottati per le diverse unità geotecniche.

	TRV1	TRV2a	TRV2b	TF1
coeff. $N_q$ (cond. drenate)	4.0	4.0	4.0	4.0
coeff. $N_c$ (cond. drenate)	7.7	8.6	7.2	7.1

Tabella 1 – Coefficienti  $N_q$  ed  $N_c$  assunti per le diverse unità geotecniche

Per i rapporti opere-terreni considerati nei calcoli, si è fatto riferimento al profilo geotecnico a corredo del presente progetto esecutivo. Nelle verifiche si è considerata la falda contenuta tra -3÷-5m (tetto falda) e -10m (letto falda) al di sotto del p.c., ossia il letto della falda coincidente con il tetto dell'unità geotecnica TRV2a.

Di seguito le stratigrafie apprese dal profilo geotecnico sotto la spalla in esame.

STRATIGRAFIA SOTTO SPICCATO FONDAZIONE SPALLA A - CARR. DX				
strati	Unità geotecniche	spessore strato da testa palo (m)	quota iniziale	quota finale
			m	m
1° strato	TF1	4		4
2° strato	TRV1	5	4	9
3° strato	TRV2a	10	9	19
4° strato	TRV2b	26	19	45

La verifica della sicurezza nei riguardi degli stati limite ultimi di resistenza è stata effettuata con il "metodo dei coefficienti parziali" di sicurezza espresso dalla equazione formale:



CORRIDOIO PLURIMODALE TIRRENICO-NORD EUROPA ITINERARIO AGRIGENTO -CALTANISSETTA-A19 S.S. N° 640 "DI PORTO EMPEDOCLE" AMMODERNAMENTO E ADEGUAMENTO ALLA CAT. B DEL D.M. 5.11.2001 Dal km 44+000 allo svincolo con l'A19 <b>Progetto Esecutivo</b>	Opera: <b>Viadotto Arenella II</b>
	Relazione di calcolo Spalle – Carreggiata DX
	Pagina 31 di 67
	Nome file: V113-B-CL008-A.00_relazione_calcolo_Spalle_DX.doc

$$R_d \geq E_d$$

dove:

$R_d$  è la resistenza di progetto, valutata in base ai valori di progetto della resistenza dei materiali e ai valori nominali delle grandezze geometriche interessate:

$$R_d = \frac{1}{\gamma_R} R \left[ \gamma_F F_k; \frac{X_k}{\gamma_M}; a_d \right]$$

il coefficiente  $\gamma_R$  opera direttamente sulla resistenza del sistema. I coefficienti parziali di sicurezza,  $\gamma_{Mi}$  e  $\gamma_{Fj}$ , associati rispettivamente al materiale i-esimo e all'azione j-esima, tengono in conto la variabilità delle rispettive grandezze e le incertezze relative alle tolleranze geometriche e all'affidabilità del modello di calcolo;

$E_d$  è il valore di progetto dell'effetto delle azioni, valutato direttamente come  $E_d = E_k \gamma_E$  con  $\gamma_E = \gamma_F$ :

$$E_d = \gamma_E E \left[ F_k; \frac{X_k}{\gamma_M}; a_d \right]$$

La verifica della relazione  $R_d \geq E_d$  è stata effettuata impiegando diverse combinazioni di gruppi di coefficienti parziali (cfr tabelle sotto), rispettivamente definiti per le azioni (A1 e A2), per i parametri geotecnici (M1 e M2) e per le resistenze (R1, R2 e R3).

CARICHI	EFFETTO	Coefficiente Parziale $\gamma_E$ (o $\gamma_F$ )	EQU	(A1) STR	(A2) GEO
Permanenti	Favorevole	$\gamma_{01}$	0,9	1,0	1,0
	Sfavorevole		1,1	1,3	1,0
Permanenti non strutturali <sup>(1)</sup>	Favorevole	$\gamma_{02}$	0,0	0,0	0,0
	Sfavorevole		1,5	1,5	1,3
Variabili	Favorevole	$\gamma_{03}$	0,0	0,0	0,0
	Sfavorevole		1,5	1,5	1,3

<sup>(1)</sup> qualora i carichi permanenti non strutturali siano compiutamente definiti, si potranno adottare gli stessi coefficienti validi per le azioni permanenti

PARAMETRO	GRANDEZZA ALLA QUALE APPLICARE IL COEFFICIENTE PARZIALE	COEFFICIENTE PARZIALE $\gamma_M$	(M1)	(M2)
Tangente dell'angolo di resistenza al taglio	$\tan \phi'_k$	$\gamma_\phi$	1,0	1,25
Coesione efficace	$c'_k$	$\gamma_c$	1,0	1,25
Resistenza non drenata	$c_{sk}$	$\gamma_{cu}$	1,0	1,4
Peso dell'unità di volume	$\gamma$	$\gamma_\gamma$	1,0	1,0

Resistenza	Simbolo	Pali infissi			Pali trivellati			Pali ad elica continua		
		(R1)	(R2)	(R3)	(R1)	(R2)	(R3)	(R1)	(R2)	(R3)
Base	$\gamma_b$	1,0	1,45	1,15	1,0	1,7	1,35	1,0	1,6	1,3
Laterale in compressione	$\gamma_s$	1,0	1,45	1,15	1,0	1,45	1,15	1,0	1,45	1,15
Totale <sup>(*)</sup>	$\gamma_t$	1,0	1,45	1,15	1,0	1,6	1,30	1,0	1,55	1,25
Laterale in trazione	$\gamma_{st}$	1,0	1,6	1,25	1,0	1,6	1,25	1,0	1,6	1,25

<sup>(\*)</sup> da applicare alle resistenze caratteristiche dedotte dai risultati di prove di carico di progetto.

I diversi gruppi di coefficienti di sicurezza parziali sono stati scelti nell'ambito dei due approcci progettuali distinti e alternativi consentiti dal DM 14/01/08 per la progettazione geotecnica.

Nel caso specifico, le verifiche geotecniche (GEO) in termini di capacità portante dei pali sono state condotte sulla base dell'approccio 2, con i coefficienti parziali  $\rightarrow A1+M1+R3$ .

La capacità portante dei pali, determinata mediante procedura analitica basata sui parametri geotecnici dei terreni interessati, è stata ridotta del fattore di correlazione  $\zeta$  per la determinazione della resistenza caratteristica in funzione del numero di verticali indagate. Considerando l'adozione di una sola relazione analitica per la valutazione del carico limite si è assunto il fattore  $\zeta_3$ . Per i terreni interessati dall'opera in esame, il numero di verticali di indagine è 6.

CORRIDOIO PLURIMODALE TIRRENICO-NORD EUROPA ITINERARIO AGRIGENTO -CALTANISSETTA-A19 S.S. N° 640 "DI PORTO EMPEDOCLE" AMMODERNAMENTO E ADEGUAMENTO ALLA CAT. B DEL D.M. 5.11.2001 Dal km 44+000 allo svincolo con l'A19 <b>Progetto Esecutivo</b>	Opera: <b>Viadotto Arenella II</b>
	Relazione di calcolo Spalle – Carreggiata DX
	Pagina 32 di 67
	Nome file: V113-B-CL008-A.00_relazione_calcolo_Spalle_DX.doc

$$R_{c,k} = \text{Min} \left\{ \frac{(R_{c,cal})_{media}}{\xi_3}; \frac{(R_{c,cal})_{min}}{\xi_4} \right\}$$

$$R_{t,k} = \text{Min} \left\{ \frac{(R_{t,cal})_{media}}{\xi_3}; \frac{(R_{t,cal})_{min}}{\xi_4} \right\}$$

Numero di verticali indagate	1	2	3	4	5	7	≥ 10
$\xi_3$	1,70	1,65	1,60	1,55	1,50	1,45	1,40
$\xi_4$	1,70	1,55	1,48	1,42	1,34	1,28	1,21

Nel seguito si riportano i risultati delle verifiche condotte. Si evidenzia che ai carichi in testa palo si è aggiunto il contributo del peso palo compensato, cioè sottraendo al peso del palo il peso della colonna di terreno (ovvero calcolando il peso del palo con peso specifico  $\gamma_p = \gamma_{c.a} - \gamma_t$ ).

azioni verticali massime in testa palo			caratteristiche pali fondazione				carico limite		check dr	check ud
pila/spalla	statica	dinamica	diam. Palo	N° pali	lunghezza palo	PP. Compensato	Qlim_d	Qlim_u		
	kN	kN	m		m	kN	kN	kN		
spalla A	3403.50	2877.40	1.2	12	22	178.48	4094.6	4464.8	ok	ok

#### 4.2.2 S.L.U. – Verifica a carico limite orizzontale

Il calcolo del carico limite orizzontale dei pali viene effettuato secondo il metodo proposto da Broms per terreni coesivi. Si riporta di seguito il dettaglio del calcolo del carico limite trasversale del palo.

##### CALCOLO DEL CARICO LIMITE ORIZZONTALE IN TERRENI COESIVI

D	=	1.20 m	diametro palo
L	=	22.00 m	lunghezza palo
$M_y$	=	2284.0 kNm	momento di plasticizzazione del palo
$c_u$	=	150.1 kPa	coesione non drenata

##### palo corto

$Q_{lim,1}$	=	32743.8 kN	carico limite per palo corto
$M_{max}$	=	389651.6 kNm	momento massimo

##### palo intermedio

$Q_{lim,2}$	=	12168.4 kN	carico limite per palo intermedio
f	=	7.5 m	
$M_{max}$	=	65292.0 kNm	momento massimo

##### palo lungo

$Q_{lim,3}$	=	1911.6 kN	carico limite per palo lungo
-------------	---	-----------	------------------------------

MR		PALO LUNGO	meccanismo di rottura
$Q_{lim,m}$	=	1911.6 kN	carico limite (valore medio)
$\xi_3$	=	1.60	fattore di correlazione
$Q_{lim,k}$	=	1194.7 kN	carico limite (valore caratteristico)
$\gamma_T$	=	1.30	coefficiente parziale
$Q_{lim,d}$	=	919.0 kN	carico limite (valore di progetto)
$F_h$	=	886.0 kN	azione trasversale testa palo
FS		1.04	

CORRIDOIO PLURIMODALE TIRRENICO-NORD EUROPA ITINERARIO AGRIGENTO -CALTANISSETTA-A19 S.S. N° 640 "DI PORTO EMPEDOCLE" AMMODERNAMENTO E ADEGUAMENTO ALLA CAT. B DEL D.M. 5.11.2001 Dal km 44+000 allo svincolo con l'A19 <b>Progetto Esecutivo</b>	Opera: <b>Viadotto Arenella II</b>
	Relazione di calcolo Spalle – Carreggiata DX
	Pagina 33 di 67
	Nome file: V113-B-CL008-A.00_relazione_calcolo_Spalle_DX.doc

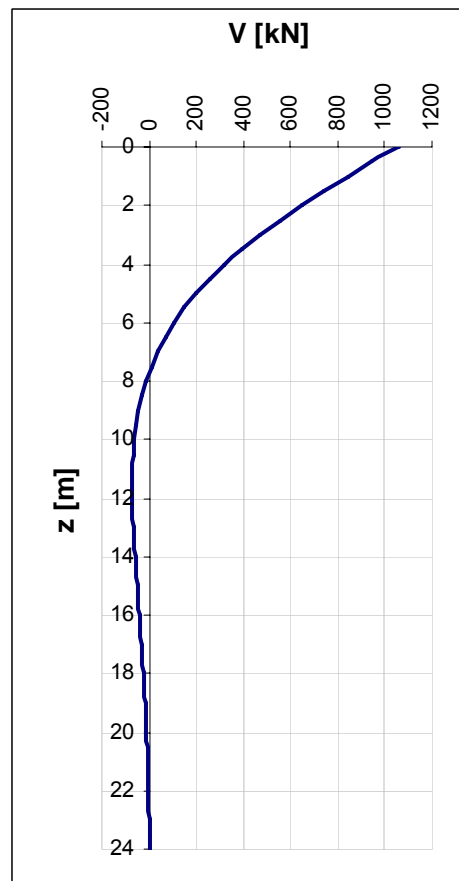
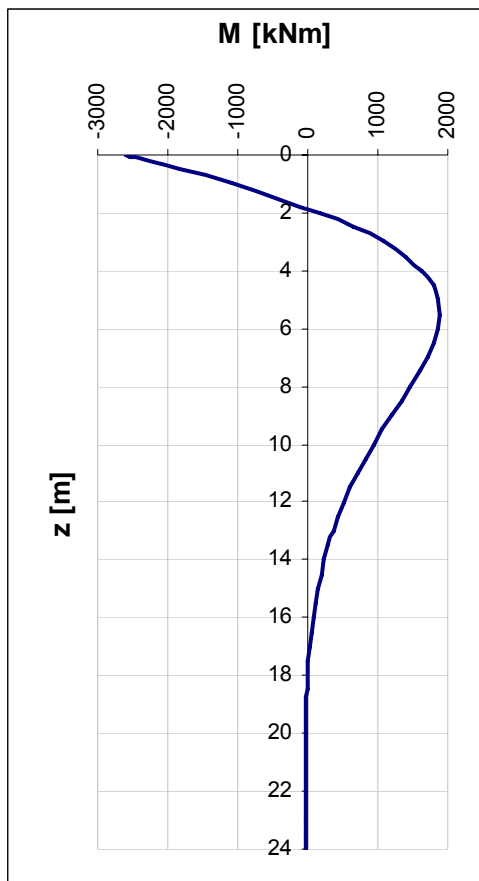
## 5 VERIFICA DEI PALI DI FONDAZIONE SPALLA B

### 5.1 VERIFICHE STRUTTURALI

Per il calcolo delle sollecitazioni flettenti e taglianti agenti lungo il fusto del palo si adotta lo schema di palo con la testa impedita di ruotare, ma libera di traslare per effetto dell'azione orizzontale ivi applicata, ed immerso in un terreno schematizzato alla Winkler. Per la determinazione della lunghezza elastica del palo,  $\lambda$ , si adotta l'espressione di Zimmerman.

Di seguito si riporta il dettaglio dei calcoli di dimensionamento e verifica.

E	=	33643 MPa	modulo elastico calcestruzzo
D	=	1200 mm	diametro palo
J	=	0.1018 m <sup>4</sup>	momento d'inerzia del palo
K	=	13000 kN/m <sup>3</sup>	costante di reazione del terreno
B	=	1.80 m	larghezza efficace del palo
E <sub>s</sub>	=	23400 kN/m <sup>2</sup>	modulo di elasticità del terreno
L0	=	4.92 m	lunghezza elastica del palo
h	=	0.00 m	altezza tratto libero
V	=	1053.8 kN	taglio alla testa del palo
M <sub>max</sub>	=	2591.8 kNm	massimo momento flettente
d <sub>max</sub>	=	9.16 mm	spostamento massimo in testa
z2	=	9.70 m	profondità di calcolo momento flettente
M(z2)	=	1013.7 kNm	momento flettente alla profondità z2
z3	=	20.7 m	profondità di calcolo momento flettente
M(z3)	=	-29.7 kNm	momento flettente alla profondità z3



### 5.1.1 S.L.U. – Resistenza: presso-flessione

La prima gabbia viene armata con 28 Ø26, la seconda con 18 Ø18 mentre, per l'ultima gabbia sono sufficienti 15 Ø18.

Il momento ultimo del palo viene determinato con il programma V.C.A.S.L.U.: si riporta di seguito la schermata di output del programma relativa alla sezione z = 0 m.

**Verifica C.A. S.L.U. - File: palo1\_spB**

File Materiali Opzioni Visualizza Progetto Sez, Rett, Sismica Normativa: NTC 2008 ?

**Titolo :** Resistenza: presso-flessione semplice

**Sezione circolare cava**

- Raggio esterno: 60 [cm]
- Raggio interno: 0 [cm]
- N° barre uguali: 28
- Diametro barre: 2.6 [cm]
- Copriferro (baric.): 5 [cm]

N° barre: 0 Zoom

**Tipologia Sezione**

- Rettan.re
- Trapezi
- a T
- Circolare
- Rettangoli
- Coord.

**Sollecitazioni**

S.L.U. Metodo n

N<sub>Ed</sub>: 343.1 kN  
 M<sub>xEd</sub>: 2604.2 kNm  
 M<sub>yEd</sub>: 0

**P.to applicazione N**

- Centro
- Baricentro cls
- Coord.[cm]

xN: 0  
 yN: 0

**Tipologia rottura**

Lato calcestruzzo - Acciaio snervato

**Materiali**

B450C		C32/40	
$\epsilon_{su}$	67.5 ‰	$\epsilon_{c2}$	2 ‰
$f_{yd}$	391.3 N/mm <sup>2</sup>	$\epsilon_{cu}$	3.5 ‰
$E_s$	200'000 N/mm <sup>2</sup>	$f_{cd}$	18.81
$E_s/E_c$	15	$f_{cc}/f_{cd}$	0.8 ?
$\epsilon_{syd}$	1.957 ‰	$\sigma_{c,adm}$	12.25
$\sigma_{s,adm}$	255 N/mm <sup>2</sup>	$\tau_{co}$	0.7333
		$\tau_{c1}$	2.114

**Metodo di calcolo**

- S.L.U.+
- S.L.U.-
- Metodo n

**Tipologia flessione**

- Retta
- Deviata

Vertici: 52 N° rett.: 100

Calcola MRd Dominio M-N

L<sub>0</sub>: 0 cm Col. modello

Precompresso

**Parametri di calcolo**

M<sub>xRd</sub>: 2'856 kN m

$\sigma_c$ : -18.81 N/mm<sup>2</sup>

$\sigma_s$ : 391.3 N/mm<sup>2</sup>

$\epsilon_c$ : 3.5 ‰

$\epsilon_s$ : 11.13 ‰

d: 115 cm

x: 27.52 x/d: 0.2393

$\delta$ : 0.7391

	Z <sub>in</sub> [m]	Z <sub>in</sub> [m]	c' [cm]	Φ [mm]	n	s [cm]	M <sub>Ed</sub> [kN*m]	N <sub>Ed</sub> [kN]	M <sub>res</sub> [kN*m]	
gabbia n.1	-1.3	10.7	5	26	28	12.3	2591.8	496.5	2856.0	OK
gabbia n.2	9.7	21.7	5	18	18	19.2	1013.7	496.5	1089.0	OK
gabbia n.3	20.7	25.0	5	18	15	23.0	29.7	496.5	902.6	OK

CORRIDOIO PLURIMODALE TIRRENICO-NORD EUROPA ITINERARIO AGRIGENTO -CALTANISSETTA-A19 S.S. N° 640 "DI PORTO EMPEDOCLE" AMMODERNAMENTO E ADEGUAMENTO ALLA CAT. B DEL D.M. 5.11.2001 Dal km 44+000 allo svincolo con l'A19 <b>Progetto Esecutivo</b>	Opera: <b>Viadotto Arenella II</b>
	Relazione di calcolo Spalle – Carreggiata DX
	Pagina 35 di 67
	Nome file: V113-B-CL008-A.00_relazione_calcolo_Spalle_DX.doc

### 5.1.2 S.L.U. – Resistenza: taglio

Si dispongono spirali Ø14/200 nella prima gabbia dove le sollecitazioni taglianti sono maggiori, mentre nelle altre sono sicuramente sufficienti delle spirali Ø10/300. La verifica a taglio risulta soddisfatta se:

$$V_{Rd} \geq V_{Ed}$$

in cui:

$V_{Ed}$ : taglio di calcolo

$V_{Rd} = \min(V_{Rsd}; V_{Rcd})$ : taglio resistente

$V_{Rsd} = 0.9 \cdot d_e \cdot \frac{A_{sw}}{s} \cdot f_{yd} \cdot (\cot \alpha + \cot \theta) \cdot \sin \alpha$ : resistenza di calcolo a taglio trazione

$V_{Rcd} = 0.9 \cdot d_e \cdot b_{we} \cdot \alpha_c \cdot f_{cd}' \cdot \frac{(\cot \alpha + \cot \theta)}{(1 + \cot^2 \theta)}$ : resistenza di calcolo a taglio compressione

dove:

$d_e = 0.45 \cdot D + 0.64 \cdot (d - D/2)$ : altezza utile equivalente della sezione

D: diametro della sezione

d: altezza utile della sezione

$b_{we} = 0.9 \cdot D$ : base equivalente della sezione

$A_{sw}$ : area dell'armatura trasversale

s: interasse tra due armature trasversali consecutive

$\alpha_c$ : coefficiente maggiorativo per lo sforzo assiale

$f_{cd}' = 0.5 \cdot f_{cd}$ : resistenza a compressione ridotta del calcestruzzo d'anima

#### Sollecitazioni

V	=	1053.8 kN	taglio di calcolo
N	=	496.5 kN	sforzo assiale di calcolo

#### Geometria

D	=	1200 mm	diámetro sezione
d	=	1140 mm	altezza utile
$d_e$	=	886 mm	altezza utile equivalente
$b_{we}$	=	1080 mm	base equivalente

#### Materiali

$R_{ck}$	=	40	resistenza caratteristica cubica
$f_{ck}$	=	33.20 MPa	resistenza caratteristica cilindrica
$\gamma_c$	=	1.50	coefficiente parziale di sicurezza
$\alpha_{cc}$	=	0.85	coefficiente riduttivo per resistenze di lunga durata
$f_{cd}$	=	18.81 MPa	resistenza di calcolo a compressione
$f'_{cd}$	=	9.41 MPa	resistenza ridotta
$\gamma_s$	=	1.15	coefficiente di sicurezza acciaio

CORRIDOIO PLURIMODALE TIRRENICO-NORD EUROPA ITINERARIO AGRIGENTO -CALTANISSETTA-A19 S.S. N° 640 "DI PORTO EMPEDOCLE" AMMODERNAMENTO E ADEGUAMENTO ALLA CAT. B DEL D.M. 5.11.2001 Dal km 44+000 allo svincolo con l'A19 <b>Progetto Esecutivo</b>	Opera: <b>Viadotto Arenella II</b>
	Relazione di calcolo Spalle – Carreggiata DX
	Pagina 36 di 67
	Nome file: V113-B-CL008-A.00_relazione_calcolo_Spalle_DX.doc

$f_{yk}$	=	450.0 MPa	tensione caratteristica di snervamento acciaio
$f_{yd}$	=	391.3 MPa	tensione di snervamento di calcolo dell'acciaio

### Verifica per elementi provvisti di armatura a taglio

$\varnothing_w$	=	14 mm	diametro dell'armatura a taglio
$\alpha$	=	90 °	inclinazione dell'armatura trasversale
s	=	200 mm	passo staffe in direzione longitudinale
$n_{br}$	=	2	numero bracci
$A_{sw}$	=	307.9 mm <sup>2</sup>	area resistente dell'armatura a taglio
ctg $\vartheta$	=	2.50	inclinazione delle bielle di calcestruzzo
$\sigma_{cp}$	=	0.439 MPa	tensione media calcestruzzo
$\alpha_c$	=	1.02	
$V_{Rsd}$	=	1200.3 kN	resistenza taglio trazione
$V_{Rcd}$	=	2857.3 kN	resistenza taglio compressione
$V_{Rd}$	=	1200.3 kN	resistenza a taglio
FS	=	1.14	

### 5.1.3 S.L.E. – Fessurazione

Si procede alla verifica dell'ampiezza di fessurazione per via indiretta, così come riportata nell'ultimo capoverso del punto 4.1.2.2.4.6 delle NTC, riferendosi ai limiti di tensione nell'acciaio d'armatura definiti nelle tabelle seguenti. La tensione  $\sigma_s$  è quella nell'acciaio d'armatura prossimo al lembo teso della sezione calcolata nella sezione parzializzata per la combinazione di carico pertinente.

Per quanto riguarda le condizioni ambientali e la sensibilità delle armature sono state assunte:

- condizioni ambientali aggressive;
- armature poco sensibili.

Definita la massima tensione ammissibile nelle barre di acciaio, si considerano per ogni combinazione le condizioni di sforzo normale e taglio agente e, con l'ausilio del programma di calcolo V.C.A.S.L.U., utilizzando un'analisi elastica, si determina la massima tensione nelle barre di armatura, per la combinazione più gravosa.

condizioni ambientali aggressive  
armature poco sensibili

#### Diametri massimi delle barre per il controllo della fessurazione

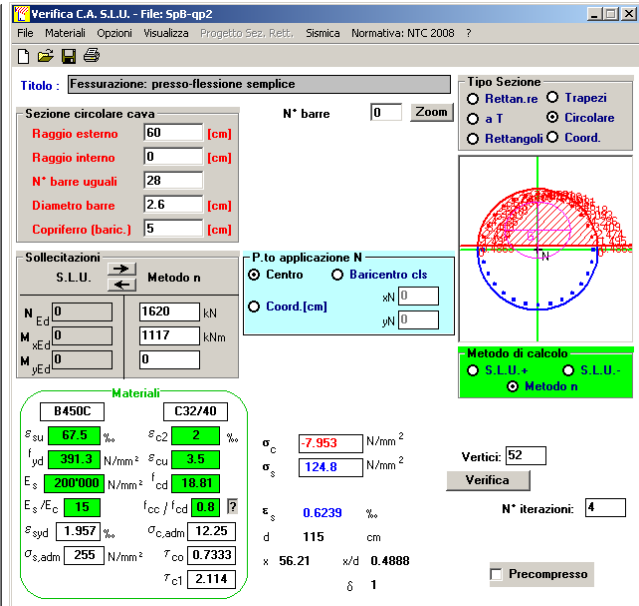
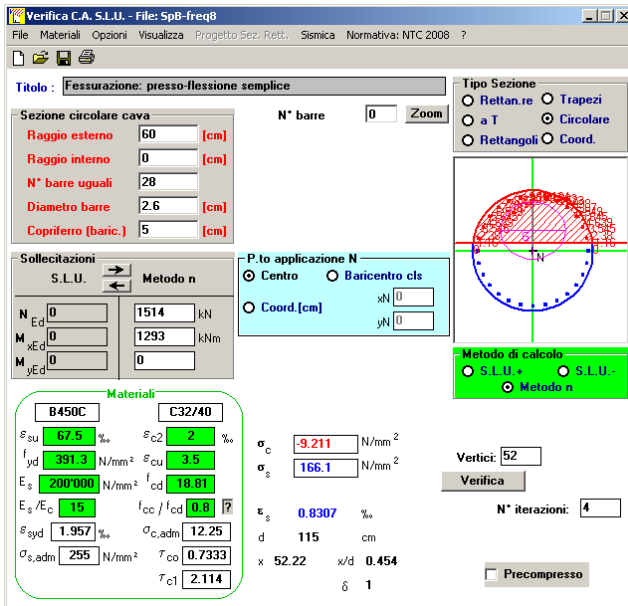
$\sigma_s$ [MPa]	w2=0.30 mm								w1=0.20 mm	
	$\varnothing$									
160	32	32	32	32	32	32	32	32	25	25
200	25	25	25	25	25	25	25	25	16	16
240	16	16	16	16	16	16	16	16	12	12
280	12	12	12	12	12	12	12	12	8	8
320	10	10	10	10	10	10	10	10	6	6
360	8	8	8	8	8	8	8	8	-	-

#### Spaziatura massima delle barre per il controllo della fessurazione

$\sigma_s$ [MPa]	w2=0.30 mm								w1=0.20 mm	
	$\varnothing$									
160	300	300	300	300	300	300	300	300	200	200
200	250	250	250	250	250	250	250	250	150	150
240	200	200	200	200	200	200	200	200	100	100
280	150	150	150	150	150	150	150	150	50	50
320	100	100	100	100	100	100	100	100	-	-
360	50	50	50	50	50	50	50	50	-	-

#### Sollecitazioni agenti

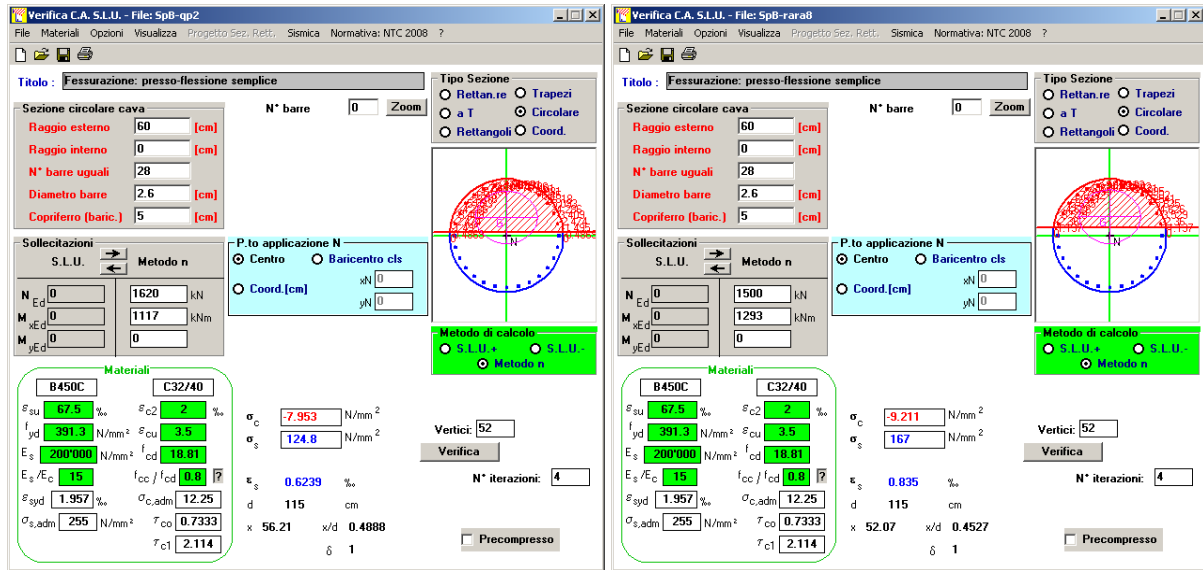
	=	combinazione											
		freq 1	freq 2	freq 3	freq 4	freq 5	freq 6	freq 7	freq 8	qp1	qp2		
L0		4.92	4.92	4.92	4.92	4.92	4.92	4.92	4.92	4.92	4.92	m	lunghezza elastica del palo
h		0.00	0.00	0.00	0.00	0.00	0.00	0.00	0.00	0.00	0.00	m	altezza tratto libero
N		1817	1793	1831	1807	1590	1566	1577	1553	1668	1661	kN	sforzo assiale
V		540	544	540	544	540	544	540	544	468	471	kN	taglio alla testa del palo
M <sub>max</sub>		1328	1338	1328	1338	1328	1338	1328	1338	1151	1159	kN*m	massimo momento flettente
$\sigma_{s,max}$		200	200	200	200	200	200	200	200	160	160	MPa	tensione massima nell'acciaio da normativa
$\sigma_{Sd,max}$		-	-	-	-	-	-	-	166	-	125	MPa	tensione massima di trazione nell'acciaio di calcolo
		OK	OK	OK	OK	OK	OK	OK	OK	OK	OK		



### 5.1.4 S.L.E. – Limitazione delle tensioni

In accordo con quanto previsto dalle NTC al punto 4.1.2.2.5, si verifica ora che le massime tensioni agenti nel calcestruzzo e nell'acciaio in fase di esercizio per la combinazione caratteristica e per quella quasi permanente siano inferiori ai massimi valori consentiti (per il calcestruzzo, compressione:  $0,60 f_{ck}$  in combinazione caratteristica e  $0,40 f_{ck}$  in combinazione quasi permanente; per l'acciaio:  $0,80 f_{yk}$  in combinazione caratteristica). Le tensioni sono state ottenute con la stessa metodologia utilizzata per le verifiche di fessurazione.

Materiali	combinazione											
	rara1	rara2	rara3	rara4	rara5	rara6	rara7	rara8	qp1	qp2		
Rck =	40	40	40	40	40	40	40	40	40	40	MPa	resistenza caratteristica cubica
$f_{ck}$ =	33.20	33.20	33.20	33.20	33.20	33.20	33.20	33.20	33.20	33.20	MPa	resistenza caratteristica cilindrica
$f_{yk}$ =	450.0	450.0	450.0	450.0	450.0	450.0	450.0	450.0	450.0	450.0	MPa	resistenza caratteristica di snervamento cilindrica
<b>Sollecitazioni agenti</b>												
L0 =	4.92	4.92	4.92	4.92	4.92	4.92	4.92	4.92	4.92	4.92	m	lunghezza elastica del palo
h =	0.00	0.00	0.00	0.00	0.00	0.00	0.00	0.00	0.00	0.00	m	altezza tratto libero
N =	1804	1780	1838	1814	1604	1580	1563	1539	1668	1661	kN	sforzo assiale
V =	540	544	540	544	540	544	540	544	468	471	kN	taglio alla testa del palo
$M_{max}$ =	1328	1338	1328	1338	1328	1338	1328	1338	1151	1159	kN*m	massimo momento flettente
<b>Tensione massima di compressione del calcestruzzo nelle condizioni di esercizio</b>												
$\sigma_{c,max}$ =	19.92	19.92	19.92	19.92	19.92	19.92	19.92	19.92	14.94	14.94	[MPa]	massima tensione del cls da normativa
$\sigma_{c,Sd}$ =	-	-	-	-	-	-	-	-	9.21	7.95	[MPa]	tensione di calcolo del cls in esercizio
	OK	OK	OK	OK	OK	OK	OK	OK	OK	OK		
<b>Tensione massima dell'acciaio in condizioni di esercizio</b>												
$\sigma_{s,max}$ =	360	360	360	360	360	360	360	360			[MPa]	massima tensione dell'acciaio normativa
$\sigma_{s,Sd}$ =	-	-	-	-	-	-	-	-	167		[MPa]	tensione di calcolo dell'acciaio in esercizio
	OK	OK	OK	OK	OK	OK	OK	OK	OK			



## 5.2 VERIFICHE GEOTECNICHE DEI PALI

Nella seguente tabella si riportano i parametri fisico-meccanici dei terreni interessati dai pali di fondazione e adottati nel seguito per le verifiche geotecniche. Tali parametri derivano dal lavoro di caratterizzazione riportato nella relazione geotecnica a corredo del presente progetto esecutivo.

	TRV1	TRV2a	TRV2b	TF1
peso secco gamma <sub>d</sub> (kN/m <sup>3</sup> )	19.6	19.8	19.3	19.8
gamma <sub>sat</sub> (kN/m <sup>3</sup> )	19.6	19.8	19.3	19.8
coesione non dren. c <sub>u</sub> (kPa)	129	199	199 <sup>3</sup>	70 <sup>4</sup>
coesione dren. c' (kPa)	19	24	21	5
angolo attrito phi' (°)	21	19	23	23

### 5.2.1 S.L.U. – Verifica a carico limite verticale

Il carico limite verticale  $Q_{lim}$  dei singoli pali (trivellati) è stato calcolato in condizioni non drenate e drenate in funzione del diametro  $d$  e della lunghezza  $L$  dei pali. La formula utilizzata è:

$$Q_{lim} = p_{lim} \frac{\pi d^2}{4} + \pi d \int_0^L s_{lim}$$

dove le resistenze unitarie alla punta e laterale sono rispettivamente calcolate come:

$$p_{lim,u} = \sigma_{vL} + N_c c_u$$

$$s_{lim,u} = \alpha c_u$$

in condizioni non drenate, e come:

$$p_{lim,d} = N_c c' + N_q \sigma_{vL}'$$

$$s_{lim,d} = k \mu \sigma_{vz}'$$

<sup>3</sup> In mancanza di dati si è assunto il valore della  $c_u$  dello strato argilloso superiore.

<sup>4</sup> Si è assunto il valore minimo tra i due dati a disposizione, per l'unità TF1, ricavati dalle prove di laboratorio, ritenendo non plausibile per i terreni di origine alluvionale una  $c_u=525.92$  kPa.



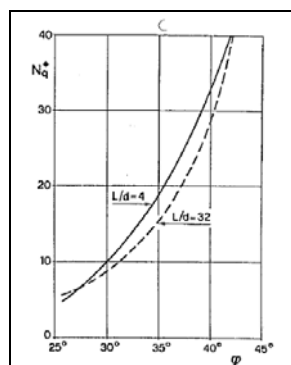
CORRIDOIO PLURIMODALE TIRRENICO-NORD EUROPA ITINERARIO AGRIGENTO -CALTANISSETTA-A19 S.S. N° 640 "DI PORTO EMPEDOCLE" AMMODERNAMENTO E ADEGUAMENTO ALLA CAT. B DEL D.M. 5.11.2001 Dal km 44+000 allo svincolo con l'A19 <b>Progetto Esecutivo</b>	Opera: <b>Viadotto Arenella II</b>
	Relazione di calcolo Spalle – Carreggiata DX
	Pagina 39 di 67
	Nome file: V113-B-CL008-A.00_relazione_calcolo_Spalle_DX.doc

in condizioni drenate. In queste equazioni, si sono indicate rispettivamente con  $\sigma_{VL}$  e con  $\sigma_{VL}'$  la tensione totale ed efficace agenti in sito alla quota della punta del palo. I valori assunti per il coefficiente di adesione  $\alpha$  sono stati ricavati in funzione della coesione non drenata secondo i valori riportati di seguito:

$c_u$ (kPa)	$\alpha$ (-)
<25	0.9
25 ÷ 50	0.8
50 ÷ 75	0.6
≥ 75	0.4

Il coefficiente di tensione orizzontale  $k$  è stato determinato con la formula di Jacky:  $k = 1 - \sin \varphi'$ , mentre il coefficiente di attrito vale:  $\mu = \tan \varphi'$ .

Si osserva che in condizioni drenate, *al fine di limitare i cedimenti*, si è volutamente considerato un ridotto contributo della resistenza alla punta (è infatti noto che tale resistenza si mobilita per cedimenti prossimi al 25% del diametro del palo) considerando  $N_q$  i valori desunti dal grafico riportato in figura. Riguardo  $N_c$ , si è assunto in condizioni non drenate  $N_c = 9$  e in condizioni drenate  $N_c$  è stato determinato con la relazione:



$$N_c = (N_q - 1) \cdot (\tan(\varphi'))^{-1}$$

In tabella si riportano ora i valori dei coefficienti  $N_c$  ed  $N_q$  adottati per le diverse unità geotecniche.

	TRV1	TRV2a	TRV2b	TF1
coeff. $N_q$ (cond. drenate)	4.0	4.0	4.0	4.0
coeff. $N_c$ (cond. drenate)	7.7	8.6	7.2	7.1

**Tabella 2 – Coefficienti  $N_q$  ed  $N_c$  assunti per le diverse unità geotecniche**

Per i rapporti opere-terreni considerati nei calcoli, si è fatto riferimento al profilo geotecnico a corredo del presente progetto esecutivo. Nelle verifiche si è considerata la falda contenuta tra -3÷-5m (tetto falda) e -10m (letto falda) al di sotto del p.c., ossia il letto della falda coincidente con il tetto dell'unità geotecnica TRV2a.

STRATIGRAFIA SOTTO SPICCATO FONDAZIONE SPALLA B - CARR. DX				
strati	Unità geotecniche	spessore strato da testa palo (m)	quota iniziale	quota finale
			m	m
1° strato	TF1	2	0	2
2° strato	TRV1	3	2	5
3° strato	TRV2a	12	5	17
4° strato	TRV2b	28	17	45

La verifica della sicurezza nei riguardi degli stati limite ultimi di resistenza è stata effettuata con il "metodo dei coefficienti parziali" di sicurezza espresso dalla equazione formale:

$$R_d \geq E_d$$

CORRIDOIO PLURIMODALE TIRRENICO-NORD EUROPA ITINERARIO AGRIGENTO -CALTANISSETTA-A19 S.S. N° 640 "DI PORTO EMPEDOCLE" AMMODERNAMENTO E ADEGUAMENTO ALLA CAT. B DEL D.M. 5.11.2001 Dal km 44+000 allo svincolo con l'A19 <b>Progetto Esecutivo</b>	Opera: <b>Viadotto Arenella II</b>
	Relazione di calcolo Spalle – Carreggiata DX
	Pagina 40 di 67
	Nome file: V113-B-CL008-A.00_relazione_calcolo_Spalle_DX.doc

dove:

$R_d$  è la resistenza di progetto, valutata in base ai valori di progetto della resistenza dei materiali e ai valori nominali delle grandezze geometriche interessate:

$$R_d = \frac{1}{\gamma_R} R \left[ \gamma_F F_k; \frac{X_k}{\gamma_M}; a_d \right]$$

il coefficiente  $\gamma_R$  opera direttamente sulla resistenza del sistema. I coefficienti parziali di sicurezza,  $\gamma_{Mi}$  e  $\gamma_{Fj}$ , associati rispettivamente al materiale i-esimo e all'azione j-esima, tengono in conto la variabilità delle rispettive grandezze e le incertezze relative alle tolleranze geometriche e all'affidabilità del modello di calcolo;

$E_d$  è il valore di progetto dell'effetto delle azioni, valutato direttamente come  $E_d = E_k \gamma_E$  con  $\gamma_E = \gamma_F$ :

$$E_d = \gamma_E E \left[ F_k; \frac{X_k}{\gamma_M}; a_d \right]$$

La verifica della relazione  $R_d \geq E_d$  è stata effettuata impiegando diverse combinazioni di gruppi di coefficienti parziali (cfr tabelle sotto), rispettivamente definiti per le azioni (A1 e A2), per i parametri geotecnici (M1 e M2) e per le resistenze (R1, R2 e R3).

CARICHI	EFFETTO	Coefficiente Parziale $\gamma$ (o $\gamma_k$ )	EQU	(A1) STR	(A2) GEO
Permanenti	Favorevole	$\gamma_{G1}$	0,9	1,0	1,0
	Sfavorevole		1,1	1,3	1,0
Permanenti non strutturali <sup>(1)</sup>	Favorevole	$\gamma_{G2}$	0,0	0,0	0,0
	Sfavorevole		1,5	1,5	1,3
Variabili	Favorevole	$\gamma_{G3}$	0,0	0,0	0,0
	Sfavorevole		1,5	1,5	1,3

<sup>(1)</sup> qualora i carichi permanenti non strutturali siano computatamente definiti, si potranno adottare gli stessi coefficienti validi per le azioni permanenti

PARAMETRO	GRANDEZZA ALLA QUALE APPLICARE IL COEFFICIENTE PARZIALE	COEFFICIENTE PARZIALE $\gamma_M$	(M1)	(M2)
Tangente dell'angolo di resistenza al taglio	$\tan \phi'_k$	$\gamma_\phi$	1,0	1,25
Coesione efficace	$c'_k$	$\gamma_c$	1,0	1,25
Resistenza non drenata	$c_{sk}$	$\gamma_{cu}$	1,0	1,4
Peso dell'unità di volume	$\gamma$	$\gamma_r$	1,0	1,0

Resistenza	Simbolo	Pali infissi			Pali trivellati			Pali ad elica continua		
		(R1)	(R2)	(R3)	(R1)	(R2)	(R3)	(R1)	(R2)	(R3)
Base	$\gamma_b$	1,0	1,45	1,15	1,0	1,7	1,35	1,0	1,6	1,3
Laterale in compressione	$\gamma_s$	1,0	1,45	1,15	1,0	1,45	1,15	1,0	1,45	1,15
Totale <sup>(*)</sup>	$\gamma_t$	1,0	1,45	1,15	1,0	1,6	1,30	1,0	1,55	1,25
Laterale in trazione	$\gamma_{st}$	1,0	1,6	1,25	1,0	1,6	1,25	1,0	1,6	1,25

<sup>(\*)</sup> da applicare alle resistenze caratteristiche dedotte dai risultati di prove di carico di progetto.

I diversi gruppi di coefficienti di sicurezza parziali sono stati scelti nell'ambito dei due approcci progettuali distinti e alternativi consentiti dal DM 14/01/08 per la progettazione geotecnica.

Nel caso specifico, le verifiche geotecniche (GEO) in termini di capacità portante dei pali sono state condotte sulla base dell'approccio 2, con i coefficienti parziali  $\rightarrow A1+M1+R3$ .

La capacità portante dei pali, determinata mediante procedura analitica basata sui parametri geotecnici dei terreni interessati, è stata ridotta del fattore di correlazione  $\zeta$  per la determinazione della resistenza caratteristica in funzione del numero di verticali indagate. Considerando l'adozione di una sola relazione analitica per la valutazione del carico limite si è assunto il fattore  $\zeta_3$ . Per i terreni interessati dall'opera in esame, il numero di verticali di indagine è 6.

CORRIDOIO PLURIMODALE TIRRENICO-NORD EUROPA ITINERARIO AGRIGENTO -CALTANISSETTA-A19 S.S. N° 640 "DI PORTO EMPEDOCLE" AMMODERNAMENTO E ADEGUAMENTO ALLA CAT. B DEL D.M. 5.11.2001 Dal km 44+000 allo svincolo con l'A19 <b>Progetto Esecutivo</b>	Opera: <b>Viadotto Arenella II</b>
	Relazione di calcolo Spalle – Carreggiata DX
	Pagina 41 di 67
	Nome file: V113-B-CL008-A.00_relazione_calcolo_Spalle_DX.doc

$$R_{c,k} = \text{Min} \left\{ \frac{(R_{c,cal})_{media}}{\xi_3}; \frac{(R_{c,cal})_{min}}{\xi_4} \right\}$$

$$R_{t,k} = \text{Min} \left\{ \frac{(R_{t,cal})_{media}}{\xi_3}; \frac{(R_{t,cal})_{min}}{\xi_4} \right\}$$

Numero di verticali indagate	1	2	3	4	5	7	≥ 10
$\xi_3$	1,70	1,65	1,60	1,55	1,50	1,45	1,40
$\xi_4$	1,70	1,55	1,48	1,42	1,34	1,28	1,21

Nel seguito si riportano i risultati delle verifiche condotte. Si evidenzia che ai carichi in testa palo si è aggiunto il contributo del peso palo compensato, cioè sottraendo al peso del palo il peso della colonna di terreno (ovvero calcolando il peso del palo con peso specifico  $\gamma_p = \gamma_{c.a} - \gamma_t$ ).

azioni verticali massime in testa palo			caratteristiche pali fondazione			PP. Compensato	carico limite		check dr	check ud
pila/spalla	statica	dinamica	diam. Palo	N° pali	lunghezza palo		Q <sub>lim_d</sub>	Q <sub>lim_u</sub>		
	kN	kN	m		m	kN	kN	kN		
spalla B	3874.90	3537.60	1.2	12	25	205.51	5268.3	5305.5	ok	ok

## 5.2.2 S.L.U. – Verifica a carico limite orizzontale

Il calcolo del carico limite orizzontale dei pali viene effettuato secondo il metodo proposto da Broms per terreni coesivi. Si riporta di seguito il dettaglio del calcolo del carico limite trasversale del palo.

### CALCOLO DEL CARICO LIMITE ORIZZONTALE IN TERRENI COESIVI

D	=	1.20 m	diametro palo
L	=	25.00 m	lunghezza palo
M <sub>y</sub>	=	2856.0 kNm	momento di plasticizzazione del palo
c <sub>u</sub>	=	156.0 kPa	coesione non drenata

#### **palo corto**

Q <sub>lim,1</sub>	=	39077.3 kN	carico limite per palo corto
M <sub>max</sub>	=	523636.3 kNm	momento massimo

#### **palo intermedio**

Q <sub>lim,2</sub>	=	14725.4 kN	carico limite per palo intermedio
f	=	8.7 m	
M <sub>max</sub>	=	88017.5 kNm	momento massimo

#### **palo lungo**

Q <sub>lim,3</sub>	=	2300.5 kN	carico limite per palo lungo
--------------------	---	-----------	------------------------------

MR		PALO LUNGO	meccanismo di rottura
Q <sub>lim,m</sub>	=	2300.5 kN	carico limite (valore medio)
$\xi_3$	=	1.60	fattore di correlazione
Q <sub>lim,k</sub>	=	1437.8 kN	carico limite (valore caratteristico)
$\gamma_T$	=	1.30	coefficiente parziale
Q <sub>lim,d</sub>	=	1106.0 kN	carico limite (valore di progetto)
F <sub>h</sub>	=	1053.8 kN	azione trasversale testa palo
FS		1.05	

CORRIDOIO PLURIMODALE TIRRENICO-NORD EUROPA ITINERARIO AGRIGENTO -CALTANISSETTA-A19 S.S. N° 640 "DI PORTO EMPEDOCLE" AMMODERNAMENTO E ADEGUAMENTO ALLA CAT. B DEL D.M. 5.11.2001 Dal km 44+000 allo svincolo con l'A19 <b>Progetto Esecutivo</b>	Opera: <b>Viadotto Arenella II</b>
	Relazione di calcolo Spalle – Carreggiata DX
	Pagina 42 di 67
Nome file: V113-B-CL008-A.00_relazione_calcolo_Spalle_DX.doc	

## 6 ANALISI STRUTTURALE DELLA SPALLA B

Si descrive in questo capitolo l'analisi strutturale della spalla B della carreggiata destra. La spalla A della carreggiata destra presenta gli stessi scarichi dell'impalcato e, a meno del muro frontale, la stessa geometria della spalla B. Essendo il muro frontale della spalla B più alto di quello della spalla A ed essendo la spalla B di conseguenza più sollecitata si estendono i risultati delle verifiche strutturali anche alla spalla A.

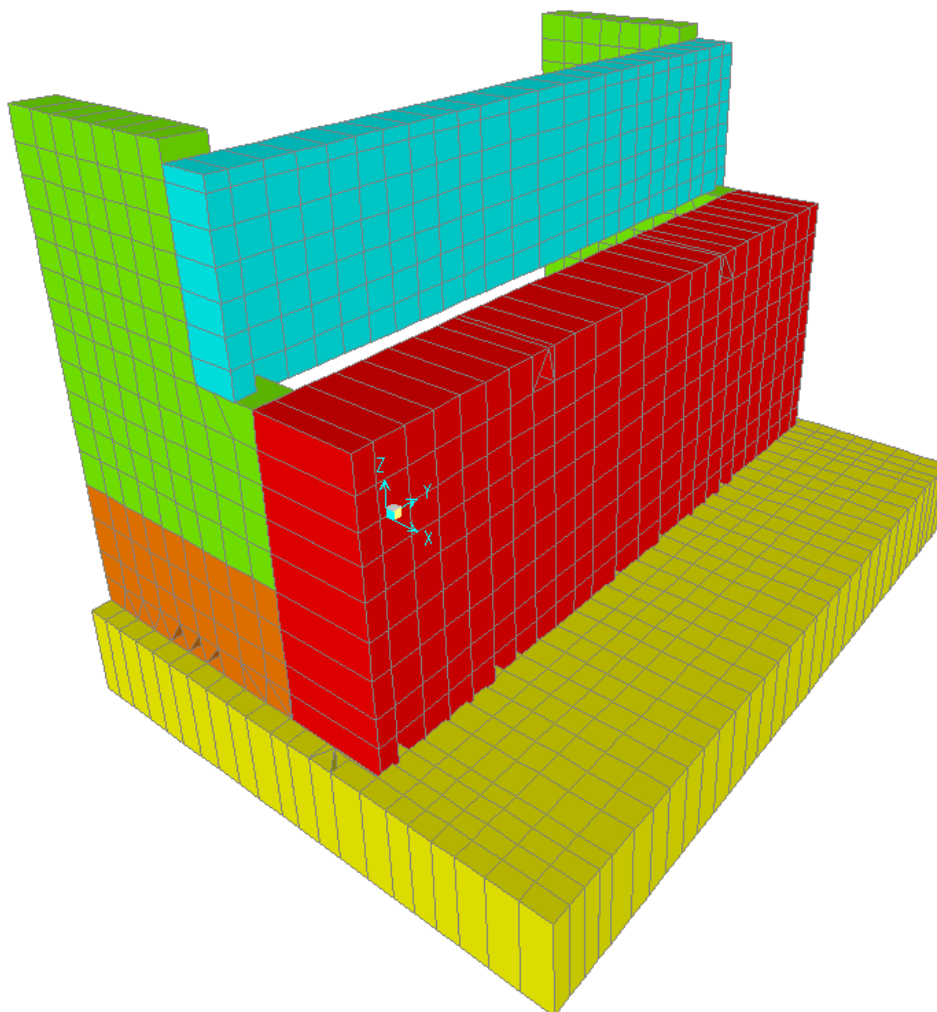
### 6.1 DESCRIZIONE DEL MODELLO DI CALCOLO

Il calcolo delle sollecitazioni agenti sugli elementi che costituiscono la spalla è stato eseguito in SAP2000 schematizzando gli elementi strutturali (plinto di fondazione, muro frontale, trave paraghiaia e muri laterali) come piastre rettangolari, con il plinto vincolato mediante incastri in corrispondenza degli assi dei pali di fondazione.

Lo schema statico appena descritto è stato risolto mettendo a punto un modello numerico agli elementi finiti che, con buona approssimazione, riproduce l'effettiva geometria e la effettiva distribuzione delle rigidzze della struttura reale. Gli elementi shell impiegati includono gli effetti della deformabilità a taglio.

Nella seguente figura si illustra la geometria del modello.

Il sistema di riferimento globale è impostato con asse X parallelo ai muri laterali, asse Y parallelo al muro frontale e asse Z verticale.



CORRIDOIO PLURIMODALE TIRRENICO-NORD EUROPA ITINERARIO AGRIGENTO -CALTANISSETTA-A19 S.S. N° 640 "DI PORTO EMPEDOCLE" AMMODERNAMENTO E ADEGUAMENTO ALLA CAT. B DEL D.M. 5.11.2001 Dal km 44+000 allo svincolo con l'A19 <b>Progetto Esecutivo</b>	Opera: <b>Viadotto Arenella II</b>
	Relazione di calcolo Spalle – Carreggiata DX
	Pagina 43 di 67
	Nome file: V113-B-CL008-A.00_relazione_calcolo_Spalle_DX.doc

### Geometrie Spalla

	n.	Bx	By	Bz,min	Bz,max	V	X	Y	Z
	[-]	[m]	[m]	[m]	[m]	[m <sup>3</sup> ]	[m]	[m]	[m]
plinto di fondazione	1	9.60	13.20	1.60	-	202.8	4.80	0.00	-0.80
muro frontale	1	1.80	12.50	5.00	-	112.5	5.50	0.00	-4.10
muro paraghiaia	1	0.80	12.50	4.15	-	41.5	3.85	0.00	-7.48
muro laterale sx	1	4.60	0.70	8.25	-	26.6	2.30	5.90	-5.73
muro laterale dx	1	4.60	0.70	8.25	-	26.6	2.30	-5.90	-5.73
bandiera sx	0	3.00	1.50	2.00	3	0.00	-1.40	5.50	-8.58
bandiera dx	0	1.00	1.00	1.00	1	0.00	-0.50	-5.75	-9.35
baggioli	2	1.10	1.10	0.35	-	0.85	5.20	0.00	-6.78
apparecchi di appoggio	2	0.90	0.90	0.47	-	0.76	5.20	0.00	-7.18

## 6.2 ANALISI DEI CARICHI

La spalla risulta sollecitata da forze concentrate trasmesse dall'impalcato in corrispondenza degli appoggi. Oltre alle suddette forze concentrate sono state applicate le forze di superficie che agiscono sulle piastre. Di seguito si riportano le condizioni di carico elementari considerate, i cui valori numerici sono stati forniti nel paragrafo dedicato all'analisi della palificata della stessa spalla.

g1-imp	peso proprio impalcato
g1-sp	peso proprio spalla
g2-imp	permanenti portati su impalcato
g2-sp	terreno su plinto spalla
g3-sp	spinta del terreno su spalla
e2-imp	ritiro
e3-imp	carico termico differenziale
q1.1-imp	carico mobile dinamizzato - configurazione 1 (massima azione verticale)
q1.2-imp	carico mobile dinamizzato - configurazione 2 (massimo momento trasversale)
q1t-sp	effetti del sovraccarico variabile sulla spalla
q3-imp	frenatura su impalcato
q4-imp	azione centrifuga su impalcato
q5-imp	azione del vento trasversale su impalcato
q6.1x-imp	sisma 1 impalcato
q6.1y-imp	sisma 2 impalcato
q6.1z-imp	sisma 3 impalcato
q6.1x-sp	incremento di spinta terreno in fase sismica
q6.2x-sp	forze d'inerzia longitudinali
q6.2y-sp	forze d'inerzia trasversali
q6.2z-sp	forze d'inerzia verticali
q7-imp	azione parassita dei vincoli

## 6.3 COMBINAZIONI DI CARICO

Per le combinazioni si rimanda alle NTC cap. 2.5.3. Adottando per le verifiche geotecniche l'approccio 2 (NTC cap.6) per il quale i coefficienti parziali delle azioni coincidono con quelli delle verifiche strutturali, si considera la combinazione fondamentale (S.L.U), sismica (S.L.V.), frequente (S.L.E.) e quasi permanente (S.L.E.). Le azioni elementari sono state combinate attraverso i coefficienti parziali riportati nella seguente matrice.

**MATRICE COEFFICIENTI DI COMBINAZIONE DEI CARICHI**

	S.L.U.													
	q1						q3							
g1-imp	1.35	1.35	1.35	1.35	1.35	1.35	1.35	1.35	1.35	1.35	1.35	1.35	1.35	1.35
g1-sp	1.35	1.35	1.35	1.35	1.35	1.35	1.35	1.35	1.35	1.35	1.35	1.35	1.35	1.35
g2-imp	1.35	1.35	1.35	1.35	1.35	1.35	1.35	1.35	1.35	1.35	1.35	1.35	1.35	1.35
g2-sp	1.35	1.35	1.35	1.35	1.35	1.35	1.35	1.35	1.35	1.35	1.35	1.35	1.35	1.35
g3-sp	1.35	1.35	1.35	1.35	1.35	1.35	1.35	1.35	1.35	1.35	1.35	1.35	1.35	1.35
e2-imp	1.2	1.2	1.2	1.2	1.2	1.2	1.2	1.2	1.2	1.2	1.2	1.2	1.2	1.2
e3-imp	0.72	-0.72	0.72	-0.72	0.72	-0.72	0.72	-0.72	0.72	-0.72	0.72	-0.72	0.72	-0.72
q1.1-imp	1.35	1.35	1.35	1.35	0	0	0	0	1.01	1.01	1.01	1.01	0	0
q1.2-imp	0	0	0	0	1.35	1.35	1.35	1.35	0	0	0	0	1.01	1.01
q1t-sp	1.35	1.35	1.35	1.35	1.35	1.35	1.35	1.35	1.01	1.01	1.01	1.01	1.01	1.01
q3-imp	0	0	0	0	0	0	0	0	1.50	1.50	1.50	1.50	1.50	1.50
q4-imp	0	0	0	0	0	0	0	0	0	0	0	0	0	0
q5-imp	0.90	0.90	-0.90	-0.90	0.90	0.90	-0.90	-0.90	0.90	0.90	-0.90	-0.90	0.90	0.90
q6.1x-imp	0	0	0	0	0	0	0	0	0	0	0	0	0	0
q6.1y-imp	0	0	0	0	0	0	0	0	0	0	0	0	0	0
q6.1z-imp	0	0	0	0	0	0	0	0	0	0	0	0	0	0
q6.1x-sp	0	0	0	0	0	0	0	0	0	0	0	0	0	0
q6.2x-sp	0	0	0	0	0	0	0	0	0	0	0	0	0	0
q6.2y-sp	0	0	0	0	0	0	0	0	0	0	0	0	0	0
q6.2z-sp	0	0	0	0	0	0	0	0	0	0	0	0	0	0
q7-imp	0.90	0.90	0.90	0.90	0.90	0.90	0.90	0.90	0.90	0.90	0.90	0.90	0.90	0.90

	S.L.U.													
	q4						q5							
g1-imp	1.35	1.35	1.35	1.35	1.35	1.35	1.35	1.35	1.35	1.35	1.35	1.35	1.35	1.35
g1-sp	1.35	1.35	1.35	1.35	1.35	1.35	1.35	1.35	1.35	1.35	1.35	1.35	1.35	1.35
g2-imp	1.35	1.35	1.35	1.35	1.35	1.35	1.35	1.35	1.35	1.35	1.35	1.35	1.35	1.35
g2-sp	1.35	1.35	1.35	1.35	1.35	1.35	1.35	1.35	1.35	1.35	1.35	1.35	1.35	1.35
g3-sp	1.35	1.35	1.35	1.35	1.35	1.35	1.35	1.35	1.35	1.35	1.35	1.35	1.35	1.35
e2-imp	1.20	1.20	1.20	1.20	1.20	1.20	1.20	1.20	1.20	1.20	1.20	1.20	1.20	1.20
e3-imp	0.72	-0.72	0.72	-0.72	0.72	-0.72	0.72	-0.72	0.72	-0.72	0.72	-0.72	0.72	-0.72
q1.1-imp	1.01	1.01	1.01	1.01	0	0	0	0	1.01	1.01	1.01	1.01	0	0
q1.2-imp	0	0	0	0	1.01	1.01	1.01	1.01	0	0	0	0	1.01	1.01
q1t-sp	1.01	1.01	1.01	1.01	1.01	1.01	1.01	1.01	1.01	1.01	1.01	1.01	1.01	1.01
q3-imp	0	0	0	0	0	0	0	0	0	0	0	0	0	0
q4-imp	1.50	1.50	1.50	1.50	1.50	1.50	1.50	1.50	0	0	0	0	0	0
q5-imp	0.90	0.90	-0.90	-0.90	0.90	0.90	-0.90	-0.90	1.50	1.50	-1.50	-1.50	1.50	1.50
q6.1x-imp	0	0	0	0	0	0	0	0	0	0	0	0	0	0
q6.1y-imp	0	0	0	0	0	0	0	0	0	0	0	0	0	0
q6.1z-imp	0	0	0	0	0	0	0	0	0	0	0	0	0	0
q6.1x-sp	0	0	0	0	0	0	0	0	0	0	0	0	0	0
q6.2x-sp	0	0	0	0	0	0	0	0	0	0	0	0	0	0
q6.2y-sp	0	0	0	0	0	0	0	0	0	0	0	0	0	0
q6.2z-sp	0	0	0	0	0	0	0	0	0	0	0	0	0	0
q7-imp	0.90	0.90	0.90	0.90	0.90	0.90	0.90	0.90	0.90	0.90	0.90	0.90	0.90	0.90

	S.L.U. e3								S.L.V. q6.y				q6.z	
	g1-imp	1.35	1.35	1.35	1.35	1.35	1.35	1.35	1.35	1	1	1	1	1
g1-sp	1.35	1.35	1.35	1.35	1.35	1.35	1.35	1.35	1	1	1	1	1	1
g2-imp	1.35	1.35	1.35	1.35	1.35	1.35	1.35	1.35	1	1	1	1	1	1
g2-sp	1.35	1.35	1.35	1.35	1.35	1.35	1.35	1.35	1	1	1	1	1	1
g3-sp	1.35	1.35	1.35	1.35	1.35	1.35	1.35	1.35	1	1	1	1	1	1
e2-imp	1.20	1.20	1.20	1.20	1.20	1.20	1.20	1.20	1	1	1	1	1	1
e3-imp	1.20	-1.20	1.20	-1.20	1.20	-1.20	1.20	-1.20	0.50	-0.50	0.50	-0.50	0.50	-0.50
q1.1-imp	1.01	1.01	1.01	1.01	0	0	0	0	0	0	0	0	0	0
q1.2-imp	0	0	0	0	1.01	1.01	1.01	1.01	0	0	0	0	0	0
q1t-sp	1.01	1.01	1.01	1.01	1.01	1.01	1.01	1.01	0	0	0	0	0	0
q3-imp	0	0	0	0	0	0	0	0	0	0	0	0	0	0
q4-imp	0	0	0	0	0	0	0	0	0	0	0	0	0	0
q5-imp	0.90	0.90	-0.90	-0.90	0.90	0.90	-0.90	-0.90	0	0	0	0	0	0
q6.1x-imp	0	0	0	0	0	0	0	0	1	1	1	1	1	1
q6.1y-imp	0	0	0	0	0	0	0	0	0	0	0	0	0	0
q6.1z-imp	0	0	0	0	0	0	0	0	0	0	0	0	0	0
q6.1x-sp	0	0	0	0	0	0	0	0	1	1	1	1	1	1
q6.2x-sp	0	0	0	0	0	0	0	0	1	1	1	1	1	1
q6.2y-sp	0	0	0	0	0	0	0	0	0	0	0	0	0	0
q6.2z-sp	0	0	0	0	0	0	0	0	0	0	0	0	0	0
q7-imp	0.90	0.90	0.90	0.90	0.90	0.90	0.90	0.90	0.60	0.60	0.60	0.60	0.60	0.60

	S.L.car								S.L.E.								S.L.freq		S.L.qp	
	g1-imp	1	1	1	1	1	1	1	1	1	1	1	1	1	1	1	1	1	1	1
g1-sp	1	1	1	1	1	1	1	1	1	1	1	1	1	1	1	1	1	1	1	1
g2-imp	1	1	1	1	1	1	1	1	1	1	1	1	1	1	1	1	1	1	1	1
g2-sp	1	1	1	1	1	1	1	1	1	1	1	1	1	1	1	1	1	1	1	1
g3-sp	1	1	1	1	1	1	1	1	1	1	1	1	1	1	1	1	1	1	1	1
e2-imp	1	1	1	1	1	1	1	1	1	1	1	1	1	1	1	1	1	1	1	1
e3-imp	0.60	-0.60	0.60	-0.60	0.60	-0.60	0.60	-0.60	0.60	-0.60	0.60	-0.60	0.60	-0.60	0.60	-0.60	0.60	-0.60	0.50	-0.50
q1.1-imp	0.75	0.75	0.75	0.75	0	0	0	0	0.75	0.75	0.75	0.75	0	0	0	0	0	0	0	0
q1.2-imp	0	0	0	0	-0.75	-0.75	-0.75	-0.75	0	0	0	0	-0.75	-0.75	-0.75	-0.75	-0.75	-0.75	0	0
q1t-sp	0.75	0.75	0.75	0.75	0.75	0.75	0.75	0.75	0.75	0.75	0.75	0.75	0.75	0.75	0.75	0.75	0.75	0.75	0	0
q3-imp	0	0	0	0	0	0	0	0	0	0	0	0	0	0	0	0	0	0	0	0
q4-imp	0	0	0	0	0	0	0	0	0	0	0	0	0	0	0	0	0	0	0	0
q5-imp	0.60	0.60	-0.60	-0.60	0.60	0.60	-0.60	-0.60	0.20	0.20	-0.20	-0.20	0.20	0.20	-0.20	-0.20	0.20	0.20	0	0
q6.1x-imp	0	0	0	0	0	0	0	0	0	0	0	0	0	0	0	0	0	0	0	0
q6.1y-imp	0	0	0	0	0	0	0	0	0	0	0	0	0	0	0	0	0	0	0	0
q6.1z-imp	0	0	0	0	0	0	0	0	0	0	0	0	0	0	0	0	0	0	0	0
q6.1x-sp	0	0	0	0	0	0	0	0	0	0	0	0	0	0	0	0	0	0	0	0
q6.2x-sp	0	0	0	0	0	0	0	0	0	0	0	0	0	0	0	0	0	0	0	0
q6.2y-sp	0	0	0	0	0	0	0	0	0	0	0	0	0	0	0	0	0	0	0	0
q6.2z-sp	0	0	0	0	0	0	0	0	0	0	0	0	0	0	0	0	0	0	0	0
q7-imp	0.60	0.60	0.60	0.60	0.60	0.60	0.60	0.60	0.60	0.60	0.60	0.60	0.60	0.60	0.60	0.60	0.60	0.60	0.60	0.60

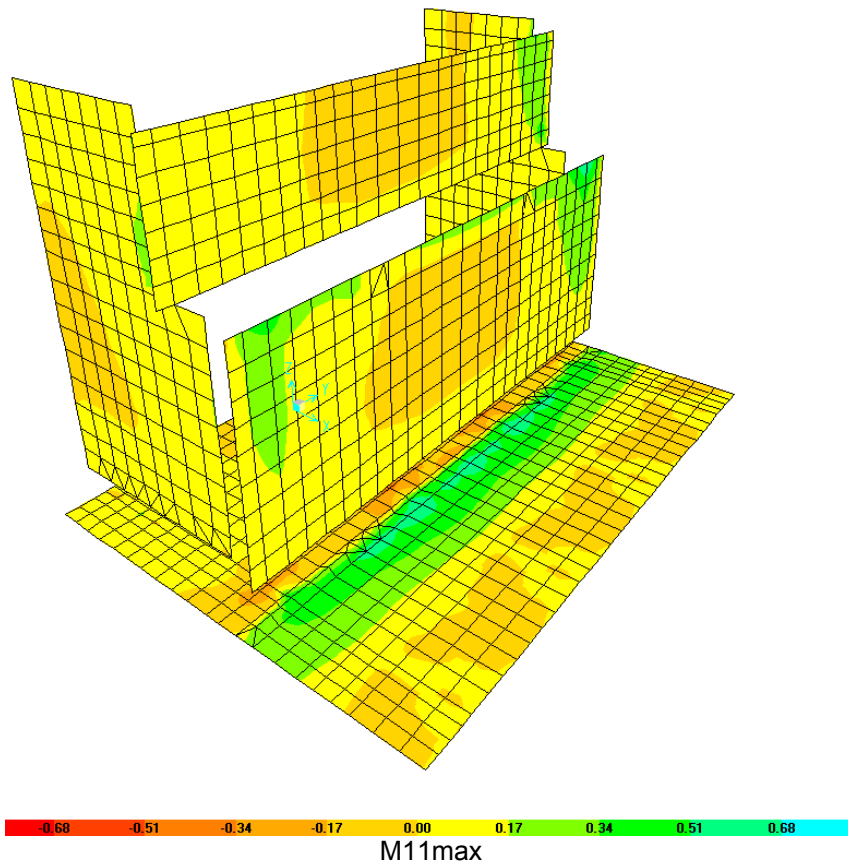
**6.4 SOLLECITAZIONI**

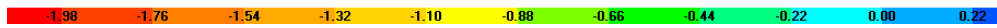
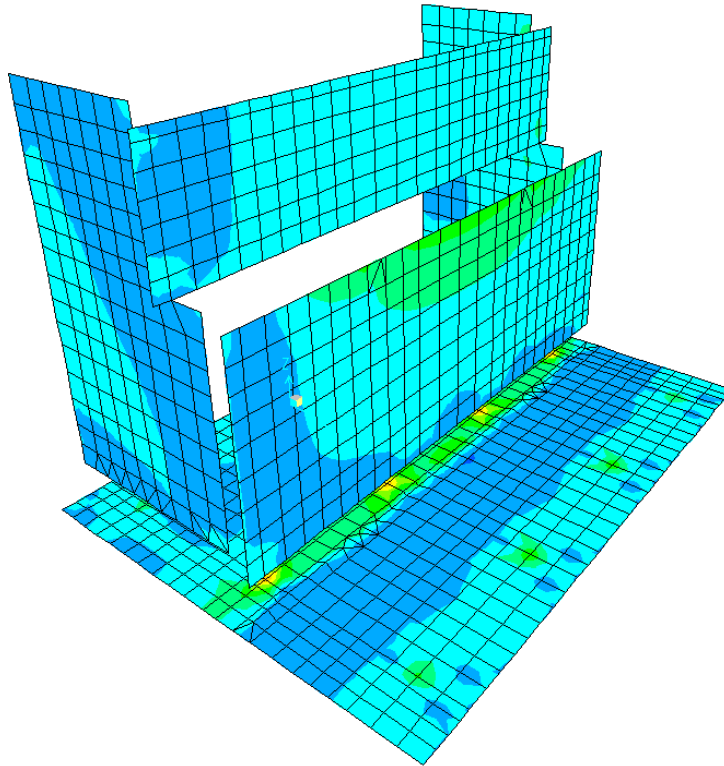
Si riportano di seguito le schermate delle sollecitazioni risultanti (M11max, M11min, M22max, M22min, V13max, V13min, V23max, V23min) per l'involuppo delle combinazioni relative allo stato limite ultimo ed allo stato limite di salvaguardia della vita, necessarie per il dimensionamento dell'armatura a flessione e di quella a taglio.

CORRIDOIO PLURIMODALE TIRRENICO-NORD EUROPA ITINERARIO AGRIGENTO -CALTANISSETTA-A19 S.S. N° 640 "DI PORTO EMPEDOCLE" AMMODERNAMENTO E ADEGUAMENTO ALLA CAT. B DEL D.M. 5.11.2001 Dal km 44+000 allo svincolo con l'A19 <b>Progetto Esecutivo</b>	Opera: <b>Viadotto Arenella II</b>
	Relazione di calcolo Spalle – Carreggiata DX
	Pagina 45 di 67
	Nome file: V113-B-CL008-A.00_relazione_calcolo_Spalle_DX.doc

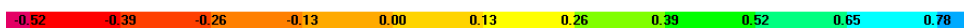
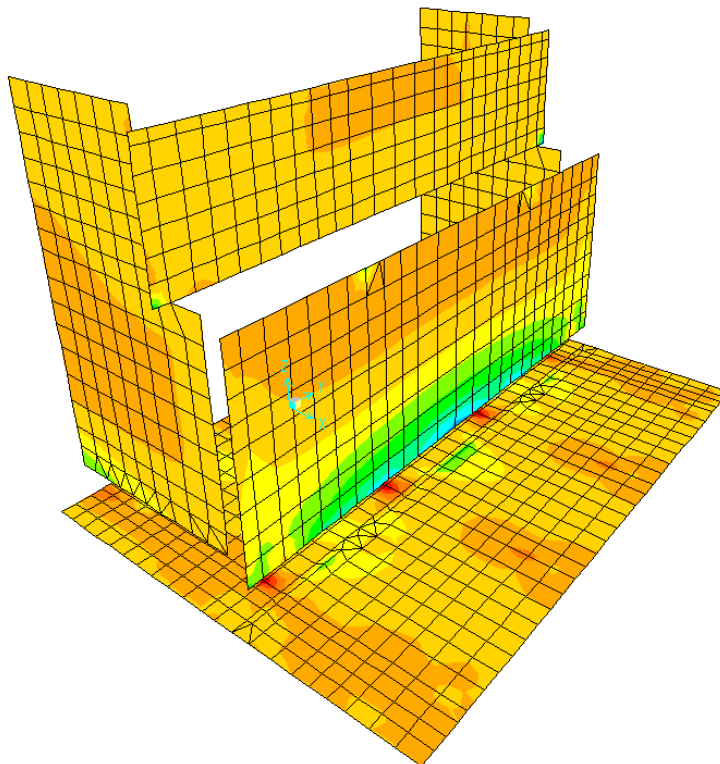
Ricordiamo che non si è tenuto conto nel modello dell'effetto della frenatura sul terrapieno (C5.1.3.3.7.2, Circolare n. 617) in quanto, per il dimensionamento della trave paragliaia risulta dimensionante la combinazione sismica. Infatti, il momento della combinazione sismica valutato in corrispondenza dell'incastro con il muro frontale risulta maggiore di quello della combinazione statica valutato nel medesimo punto.

S.L.U.- fren	M(g3)	30.4 kN*m	S.L.V.	M(g3)	22.5 kN*m
	M(q3)	109.0 kN*m		M(q6.1)	21.3 kN*m
	Mtot	139.5 kN*m		M(q6.2)	106.7 kN*m
				Mtot	150.5 kN*m



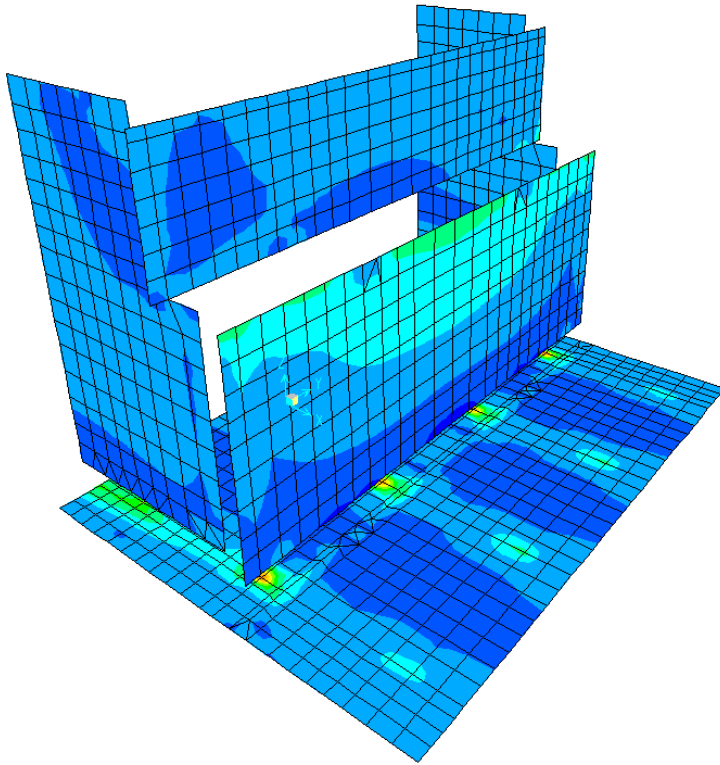


M11min

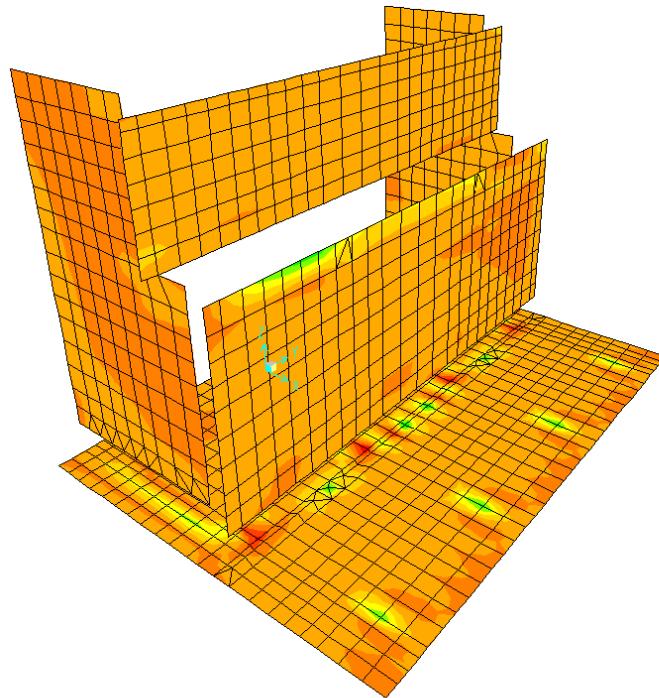


M22max

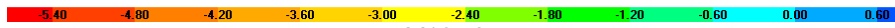
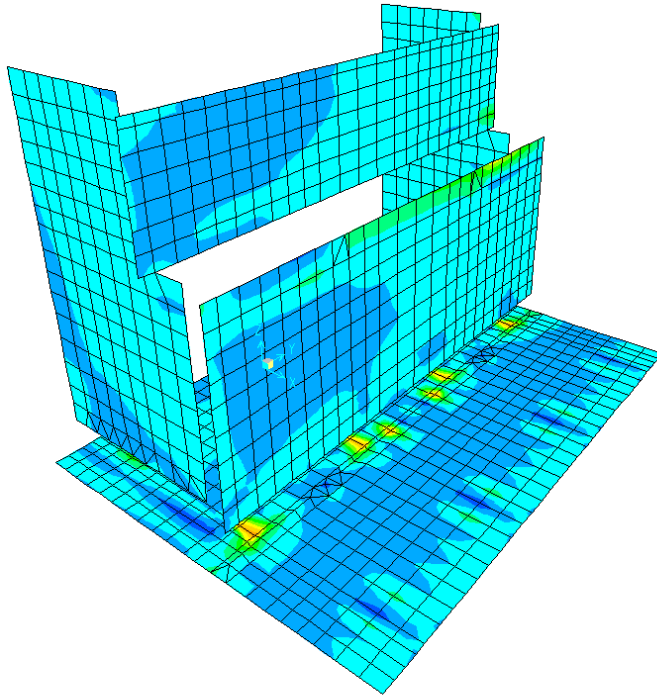




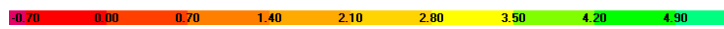
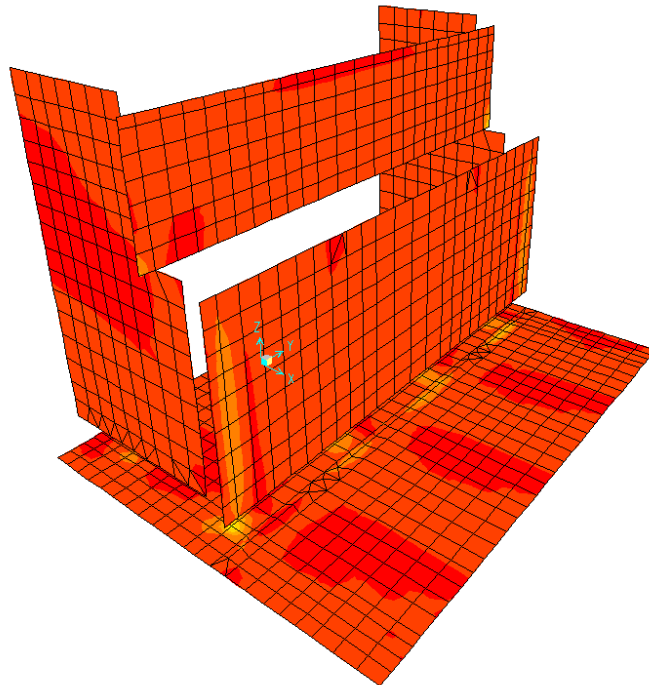
M2min



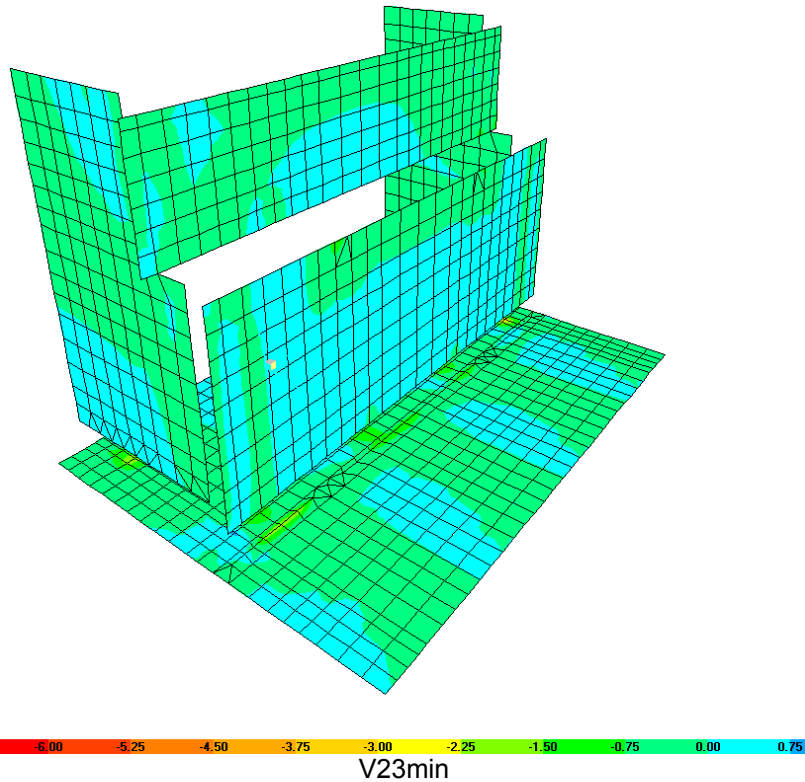
V13max



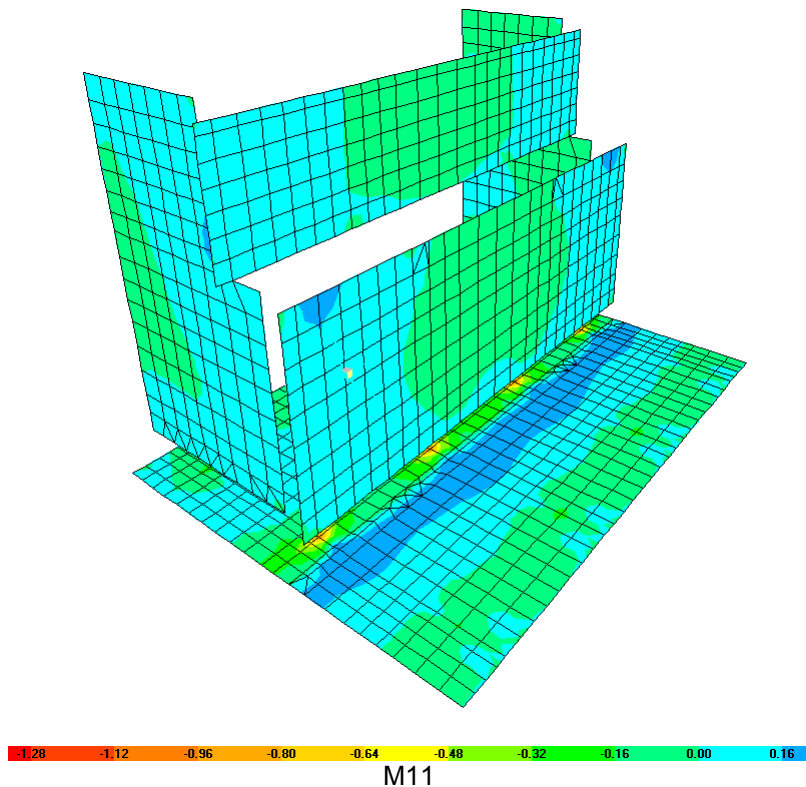
V13min

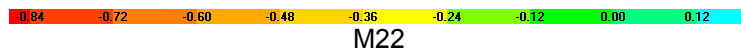
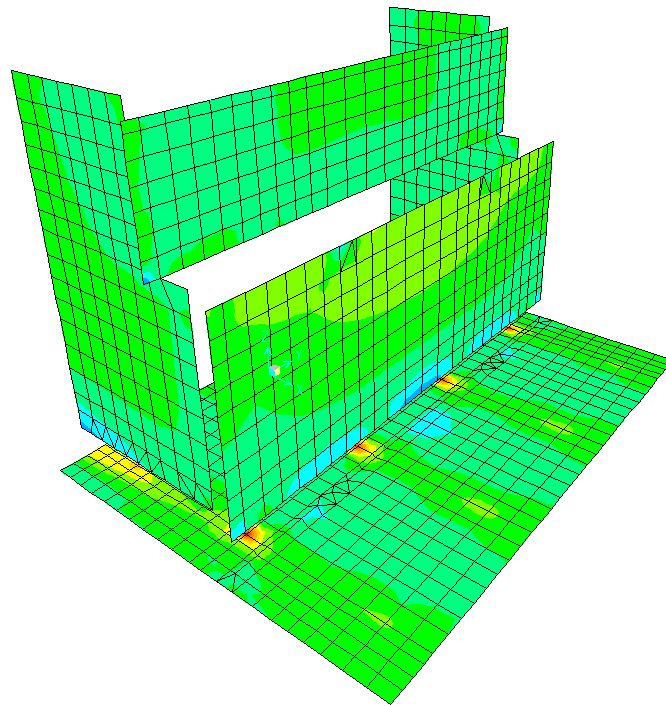


V23max



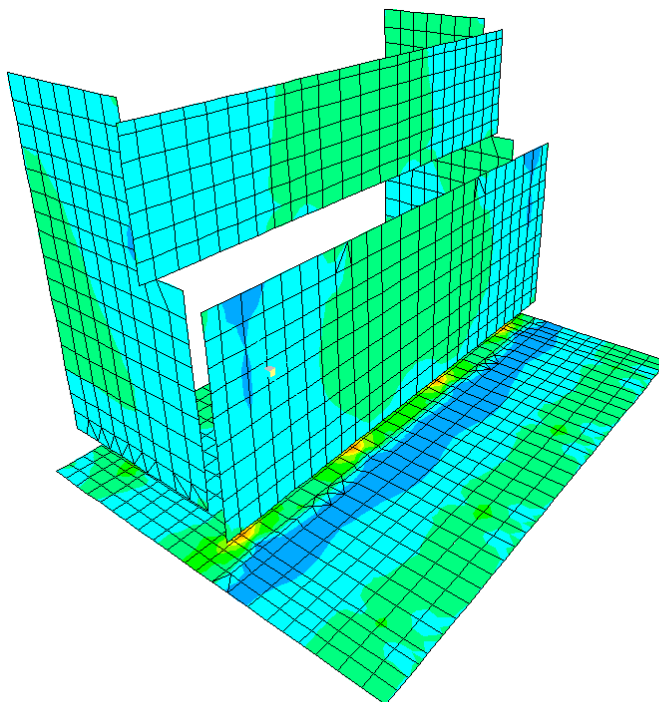
Sono ora presentate le schermate delle sollecitazioni risultanti (M11, M22) per l'involuppo delle combinazioni relative allo stato limite di esercizio (combinazioni frequenti), necessarie per effettuare le verifiche a fessurazione.





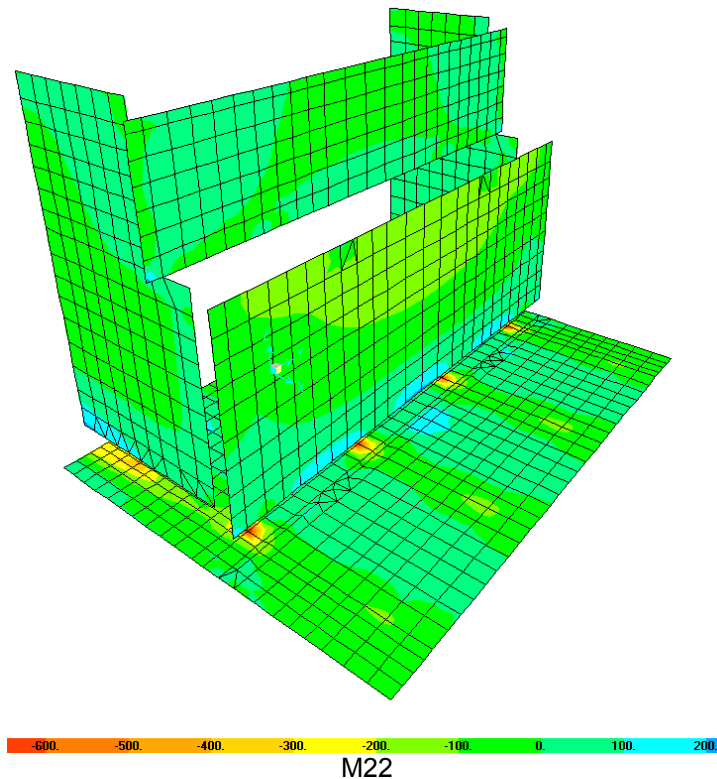
M22

Infine si riportano di seguito le schermate delle sollecitazioni risultanti (M11, M22) per l'involuppo delle combinazioni relative allo stato limite di esercizio (combinazioni quasi permanenti), necessarie anch'esse per effettuare le verifiche a fessurazione.



M11

CORRIDOIO PLURIMODALE TIRRENICO-NORD EUROPA ITINERARIO AGRIGENTO -CALTANISSETTA-A19 S.S. N° 640 "DI PORTO EMPEDOCLE" AMMODERNAMENTO E ADEGUAMENTO ALLA CAT. B DEL D.M. 5.11.2001 Dal km 44+000 allo svincolo con l'A19 <b>Progetto Esecutivo</b>	Opera: <b>Viadotto Arenella II</b>
	Relazione di calcolo Spalle – Carreggiata DX
	Pagina 51 di 67
	Nome file: V113-B-CL008-A.00_relazione_calcolo_Spalle_DX.doc



## 6.5 ARMATURA A FLESSIONE DEGLI ELEMENTI

Sulla base delle sollecitazioni ottenute è stata disposta la seguente armatura a flessione. Nel seguito si riportano le armature adottate:

		Armatura Lato terra			Ferri		Armatura Lato fuori terra				
		$A_{res,1}$ [cm <sup>2</sup> ]		$A_{res,2}$ [cm <sup>2</sup> ]	$A_{res,TOT}$ [cm <sup>2</sup> ]		$A_{res,1}$ [cm <sup>2</sup> ]		$A_{res,2}$ [cm <sup>2</sup> ]	$A_{res,TOT}$ [cm <sup>2</sup> ]	
plinto	X	5 Φ 22	19.0 +	0 Φ 0	0.0	19.0	5 Φ 18	12.7 +	0 Φ 0	0.0	12.7
	Y	5 Φ 22	19.0 +	0 Φ 0	0.0	19.0	5 Φ 18	12.7 +	0 Φ 0	0.0	12.7
muro	Y	5 Φ 18	12.7 +	0 Φ 0	0.0	12.7	5 Φ 16	10.1 +	0 Φ 0	0.0	10.1
front	Z	5 Φ 18	12.7 +	0 Φ 0	0.0	12.7	5 Φ 16	10.1 +	0 Φ 0	0.0	10.1
trave	Y	5 Φ 18	12.7 +	0 Φ 0	0.0	12.7	5 Φ 16	10.1 +	0 Φ 0	0.0	10.1
paragh	Z	5 Φ 18	12.7 +	0 Φ 0	0.0	12.7	5 Φ 16	10.1 +	0 Φ 0	0.0	10.1
muro	X	5 Φ 22	19.0 +	0 Φ 0	0.0	19.0	5 Φ 16	10.1 +	0 Φ 0	0.0	10.1
and inf	Z	5 Φ 22	19.0 +	0 Φ 0	0.0	19.0	5 Φ 16	10.1 +	0 Φ 0	0.0	10.1
muro	X	5 Φ 22	19.0 +	0 Φ 0	0.0	19.0	5 Φ 16	10.1 +	0 Φ 0	0.0	10.1
and sup	Z	5 Φ 22	19.0 +	0 Φ 0	0.0	19.0	5 Φ 16	10.1 +	0 Φ 0	0.0	10.1

Per il plinto lato terra = superiore, lato fuori terra = inferiore

## 6.6 VERIFICA DEGLI ELEMENTI COSTITUENTI LA SPALLA

### 6.6.1 S.L.U. – Resistenza: presso-flessione

Il momento ultimo viene determinato con il programma V.C.A.S.L.U.: si riporta di seguito la tabella riassuntiva dei momenti resistenti:

CORRIDOIO PLURIMODALE TIRRENICO-NORD EUROPA ITINERARIO AGRIGENTO -CALTANISSETTA-A19 S.S. N° 640 "DI PORTO EMPEDOCLE" AMMODERNAMENTO E ADEGUAMENTO ALLA CAT. B DEL D.M. 5.11.2001 Dal km 44+000 allo svincolo con l'A19 <b>Progetto Esecutivo</b>	Opera: <b>Viadotto Arenella II</b>
	Relazione di calcolo Spalle – Carreggiata DX
	Pagina 52 di 67
	Nome file: V113-B-CL008-A.00_relazione_calcolo_Spalle_DX.doc

VERIFICA A PRESSOFLESSIONE

$M_{Ed}^{ter}$ [kN*m]	$M_{Rd}^{ter}$ [kN*m]		$M_{Ed}^{f.ter}$ [kN*m]	$M_{Rd}^{f.ter}$ [kN*m]	
1100	1124	OK	510	756	OK
880	1105	OK	160	745	OK
540	855	OK	440	677	OK
780	916	OK	300	741	OK
340	362	OK	180	288	OK
140	281	OK	80	282	OK
220	463	OK	40	248	OK
460	472	OK	130	271	OK
450	463	OK	170	248	OK
150	446	OK	50	244	OK

### 6.6.2 S.L.U. – Resistenza: taglio

Per quanto riguarda la platea si è ritenuto opportuno disporre un cavallotto al metro quadro per assolvere la funzione di armatura resistente a taglio, mentre sugli altri elementi sono state disposte staffe aperte (a C) a passo costante (20 cm) nelle due direzioni.

Considerando una striscia di un metro di parete, la verifica a taglio risulta soddisfatta se:

$$V_{Rd} \geq V_{Ed}$$

in cui:

$V_{Ed}$ : taglio di calcolo

$V_{Rd} = \min(V_{Rsd}; V_{Rcd})$ : taglio resistente

$$V_{Rsd} = 0.9 \cdot d \cdot \frac{A_{sw}}{s} \cdot f_{yd} \cdot (\cot \alpha + \cot \theta) \cdot \sin \alpha : \text{resistenza di calcolo a taglio trazione}$$

$$V_{Rcd} = 0.9 \cdot d \cdot b_w \cdot \alpha_c \cdot f_{cd}' \cdot \frac{(\cot \alpha + \cot \theta)}{(1 + \cot^2 \theta)} : \text{resistenza di calcolo a taglio compressione}$$

dove:

$d$ : altezza utile della sezione

$b_w$ : base equivalente della sezione

$A_{sw}$ : area dell'armatura trasversale

$s$ : interasse tra due armature trasversali consecutive

$\alpha_c$ : coefficiente maggiorativo per lo sforzo assiale

$f_{cd}' = 0.5 \cdot f_{cd}$ : resistenza a compressione ridotta del calcestruzzo d'anima

CORRIDOIO PLURIMODALE TIRRENICO-NORD EUROPA ITINERARIO AGRIGENTO -CALTANISSETTA-A19 S.S. N° 640 "DI PORTO EMPEDOCLE" AMMODERNAMENTO E ADEGUAMENTO ALLA CAT. B DEL D.M. 5.11.2001 Dal km 44+000 allo svincolo con l'A19 <b>Progetto Esecutivo</b>	Opera: <b>Viadotto Arenella II</b>
	Relazione di calcolo Spalle – Carreggiata DX
	Pagina 53 di 67
	Nome file: V113-B-CL008-A.00_relazione_calcolo_Spalle_DX.doc

	plinto	muro fr	tr paragh	m and inf	m and sup		
<b>Sollecitazioni</b>							
V =	<b>1380</b>	<b>1660</b>	<b>460</b>	<b>400</b>	<b>370</b>	kN	taglio di calcolo
N =	0	84	0	88	0	kN	sforzo assiale di calcolo
<b>Geometria</b>							
h =	1600	1800	800	700	700	mm	altezza della sezione
d' =	<b>30</b>	<b>30</b>	<b>30</b>	<b>30</b>	<b>30</b>	mm	copriferro
d =	1570	1770	770	670	670	mm	altezza utile della sezione
b <sub>w</sub> =	1000	1000	1000	1000	1000	mm	base della sezione
<b>Materiali</b>							
R <sub>ck</sub> =	40	30	30	30	30	MPa	resistenza caratteristica cubica
f <sub>ck</sub> =	33.20	24.90	24.90	24.90	24.90	MPa	resistenza caratteristica cilindrica
γ <sub>c</sub> =	1.50	1.50	1.50	1.50	1.50		coefficiente parziale di sicurezza coefficiente riduttivo per resistenze di lunga durata
α <sub>cc</sub> =	0.85	0.85	0.85	0.85	0.85		
f <sub>cd</sub> =	18.81	14.11	14.11	14.11	14.11	MPa	resistenza di calcolo a compressione
f' <sub>cd</sub> =	9.41	7.06	7.06	7.06	7.06	MPa	resistenza ridotta
γ <sub>s</sub> =	1.15	1.15	1.15	1.15	1.15		coefficiente di sicurezza acciaio
f <sub>yk</sub> =	450.0	450.0	450.0	450.0	450.0	MPa	tensione caratteristica di snervamento acciaio
f <sub>yd</sub> =	391.3	391.3	391.3	391.3	391.3	MPa	tensione di snervamento di calcolo dell'acciaio
<b>Verifica per elementi provvisti di armatura a taglio</b>							
∅ <sub>w</sub> =	<b>26</b>	<b>12</b>	<b>12</b>	<b>12</b>	<b>12</b>	mm	diametro dell'armatura a taglio
α =	<b>90</b>	<b>90</b>	<b>90</b>	<b>90</b>	<b>90</b>	°	inclinazione dell'armatura trasversale
s =	<b>1'000</b>	<b>200</b>	<b>400</b>	<b>400</b>	<b>400</b>	mm	passo staffe in direzione longitudinale
n <sub>br</sub> =	<b>2.0</b>	<b>5.0</b>	<b>2.5</b>	<b>2.5</b>	<b>2.5</b>		numero bracci
A <sub>sw</sub> =	1'061.86	565.49	282.74	282.74	282.74	mm <sup>2</sup>	area resistente dell'armatura a taglio inclinazione delle bielle di calcestruzzo
ctg ∅	<b>2.50</b>	<b>2.50</b>	<b>2.50</b>	<b>2.50</b>	<b>2.50</b>		
σ <sub>cp</sub> =	0.000	0.047	0.000	0.125	0.000	MPa	tensione media calcestruzzo tensione media di compressione adottata (<=0.2fcd)
σ <sub>cp,ad</sub> =	0.000	0.047	0.000	0.125	0.000	MPa	
α <sub>c</sub> =	1.00	1.00	1.00	1.01	1.00		
V <sub>Rsd</sub> =	1467.79	4406.19	479.20	416.97	416.97	kN	resistenza taglio trazione
V <sub>Rcd</sub> =	9494.0	8054.1	3492.2	3065.6	3038.7	kN	resistenza taglio compressione
V <sub>Rd</sub> =	<b>1467.8</b>	<b>4406.2</b>	<b>479.2</b>	<b>417.0</b>	<b>417.0</b>	kN	resistenza a taglio
FS =	1.06	2.65	1.04	1.04	1.13		

Si considera agente come sforzo assiale sul muro frontale il peso della trave paraghiaia e sul muro andatore inferiore il peso della porzione di muro andatore sovrastante.

CORRIDOIO PLURIMODALE TIRRENICO-NORD EUROPA ITINERARIO AGRIGENTO -CALTANISSETTA-A19 S.S. N° 640 "DI PORTO EMPEDOCLE" AMMODERNAMENTO E ADEGUAMENTO ALLA CAT. B DEL D.M. 5.11.2001 Dal km 44+000 allo svincolo con l'A19 <b>Progetto Esecutivo</b>	Opera: <b>Viadotto Arenella II</b>
	Relazione di calcolo Spalle – Carreggiata DX
	Pagina 54 di 67
	Nome file: V113-B-CL008-A.00_relazione_calcolo_Spalle_DX.doc

### 6.6.3 S.L.E. – Fessurazione

Le verifiche di fessurazione vengono condotte in relazione alle indicazioni riportate negli Eurocodici (in particolare si veda EN 1992-1-1 cap. 7.3) e riprese sia dalle NTC (cap. 4.1.2.2.4) che dalla Circolare n.617. È richiesto in particolare, laddove il momento agente superi quello di fessurazione, di verificare che la tensione nelle barre di armatura rientri in determinati limiti (dipendenti dal diametro e dalla spaziatura dei ferri) o in alternativa di controllare che l'ampiezza della fessura che si apre non superi un determinato valore (funzione dello stato limite, delle condizioni ambientali e del tipo di armatura). Si riportano di seguito le tabelle per le combinazioni considerate (frequente e quasi permanente), ricordando che si opera con armature poco sensibili ed in condizioni ambientali aggressive.

condizioni ambientali	ordinarie				aggressive			
armature	poco sensibili				poco sensibili			

#### Combinazione

frequente

Sezione	plinto				muro frontale						
	X		Y		Y		Z				
	sup	inf	sup	inf	terra	fuori terra	terra	fuori terra			
<b>Materiali</b>											
Rck	=	40	40	40	40	30	30	30	30	MPa	resist caratteristica cubica
f <sub>ck</sub>	=	33.20	33.20	33.20	33.20	24.90	24.90	24.90	24.90	MPa	resist caratteristica cilindrica
f <sub>cm</sub>	=	27.56	27.56	27.56	27.56	32.90	32.90	32.90	32.90	MPa	resist cilindrica media
f <sub>ctm</sub>	=	41.20	41.20	41.20	41.20	2.56	2.56	2.56	2.56	MPa	resist media a trazione semplice
f <sub>ctm</sub>	=	4.03	4.03	4.03	4.03	3.07	3.07	3.07	3.07	MPa	resist media a trazione per flessione
σ <sub>t</sub>	=	34.33	34.33	34.33	34.33	2.13	2.13	2.13	2.13	MPa	tensione limite di apertura delle fessure
n	=	15	15	15	15	15	15	15	15		coeff di omogeneizz armature (compr)
n'	=	0.001	0.001	0.001	0.001	0.001	0.001	0.001	0.001		coeff di omogeneizz armature (tens)
<b>Geometria</b>											
B	=	1000	1000	1000	1000	1000	1000	1000	1000	mm	base sezione
H	=	1600	1600	1600	1600	1800	1800	1800	1800	mm	altezza sezione
<b>Armatura</b>											
n <sub>1a</sub>	=	5	5	5	5	5	5	5	5		n° tondini zona tesa
n <sub>1b</sub>	=	0	0	0	0	0	0	0	0		
Ø <sub>1a</sub>	=	22	18	22	18	18	16	18	16	mm	diametro tondini armatura tesa
Ø <sub>1b</sub>	=	0	0	0	0	0	0	0	0	mm	diametro tondini armatura tesa
Ø <sub>1eq</sub>	=	22	18	22	18	18	16	18	16	mm	diametro equiv tondini armatura tesa
d' <sub>sup</sub>	=	35	35	57	53	35	35	53	51	mm	copriferro superiore
d <sub>1</sub>	=	1565	1565	1543	1547	1765	1765	1747	1749	mm	dist armatura tesa da lembo compr
A <sub>s1</sub>	=	1901	1272	1901	1272	1272	1005	1272	1005	mm <sup>2</sup>	area armatura tesa
n <sub>2a</sub>	=	5	5	5	5	5	5	5	5		n° tondini zona compressa
n <sub>2b</sub>	=	0	0	0	0	0	0	0	0		
Ø <sub>2a</sub>	=	18	22	18	22	16	18	16	18	mm	diametro tondini armatura compressa
Ø <sub>2b</sub>	=	0	0	0	0	0	0	0	0	mm	diametro tondini armatura compressa
Ø <sub>2eq</sub>	=	18	22	18	22	16	18	16	18	mm	diametro equiv tondini armatura compr
d' <sub>inf</sub>	=	35	35	53	57	35	35	51	53	mm	copriferro inferiore
d <sub>2</sub>	=	35	35	53	57	35	35	51	53	mm	dist armatura compr da lembo compr
A <sub>s2</sub>	=	1272	1901	1272	1901	1005	1272	1005	1272	mm <sup>2</sup>	area armatura compressa
<b>Sollecitazioni</b>											
M	=	540	270	480	180	170	130	250	210	kN*m	momento flettente
N	=	0	0	0	0	0	0	84	84	kN	sfuerzo normale
e	=	0	0	0	0	0	0	2976	2500	mm	eccentricità

Caratteristiche sezione interamente reagente a compressione



CORRIDOIO PLURIMODALE TIRRENICO-NORD EUROPA ITINERARIO AGRIGENTO -CALTANISSETTA-A19 S.S. N° 640 "DI PORTO EMPEDOCLE" AMMODERNAMENTO E ADEGUAMENTO ALLA CAT. B DEL D.M. 5.11.2001 Dal km 44+000 allo svincolo con l'A19 <b>Progetto Esecutivo</b>	Opera: <b>Viadotto Arenella II</b>
	Relazione di calcolo Spalle – Carreggiata DX
	Pagina 55 di 67
	Nome file: V113-B-CL008-A.00_relazione_calcolo_Spalle_DX.doc

$A_{cls}$	=	1600000	1600000	1600000	1600000	1800000	1800000	1800000	1800000	mm <sup>2</sup>	area calcestruzzo
$A_s$	=	3173	3173	3173	3173	2278	2278	2278	2278	mm <sup>2</sup>	area armatura
$A_{id}$	=	1.6E+06	1.6E+06	1.6E+06	1.6E+06	1.8E+06	1.8E+06	1.8E+06	1.8E+06	mm <sup>2</sup>	area sezione ideale
$d_G$	=	804	796	804	796	902	898	902	898	mm	dist baric sezione ideale da lembo sup
$J_{id}$	=	3.7E+11	3.7E+11	3.7E+11	3.7E+11	5.1E+11	5.1E+11	5.1E+11	5.1E+11	mm <sup>4</sup>	momento d'inerzia baric sez ideale
$\rho_{id,t}$	=	473	473	472	472	528	528	528	528	mm	raggio giratore di inerzia della sezione
$Y_{nocc,s}$	=	1083	1077	1082	1076	1211	1209	1210	1208	mm	dist p.to di nocciolo sup da asse baric

#### Caratteristiche sezione interamente reagente a tensione

$A_{cls,t}$	=	1600	1600	1600	1600	1800	1800	1800	1800	mm <sup>2</sup>	area calcestruzzo
$A_s$	=	3173	3173	3173	3173	2278	2278	2278	2278	mm <sup>2</sup>	area armatura
$A_{id,t}$	=	4.9E+04	4.9E+04	4.9E+04	4.9E+04	3.6E+04	3.6E+04	3.6E+04	3.6E+04	mm <sup>2</sup>	area sezione ideale
$d_{G,t}$	=	947	653	941	659	996	804	993	807	mm	dist baric sez ideale da lembo sup
$J_{id,t}$	=	2.7E+10	2.7E+10	2.6E+10	2.6E+10	2.6E+10	2.6E+10	2.5E+10	2.5E+10	mm <sup>4</sup>	momento d'inerzia baric sez ideale
$\rho_{id,t}$	=	743	743	724	724	846	846	829	829	mm	raggio giratore di inerzia della sezione
$Y_{nocc,i}$	=	1529	1498	1497	1453	1714	1693	1686	1659	mm	dist p.to di nocciolo inf da asse baric

Sezione parzializ parzializ parzializ parzializ parzializ parzializ parzializ parzializ parzializ

#### Caratteristiche sezione parzializzata

$Y_n$	=	257	205	256	207	230	202	300	281	mm	distanza asse neutro da lembo compr
$J_n$	=	5.5E+10	3.9E+10	5.4E+10	3.8E+10	5.0E+10	4.0E+10	5.0E+10	4.1E+10	mm <sup>4</sup>	momento d'inerzia sezione parzializzata
$S_n$	=	4.1E-05	2.3E-05	4.3E-05	2.2E-05	2.1E-05	9.2E-05	2.1E+07	2.2E+07	mm <sup>3</sup>	momento statico sezione parzializzata
$f(Y_n)=0$	=	-	-	-	-	-	-	5.3E-05	1.5E-05		

#### Tensioni nei materiali

$\sigma_c$	=	-2.51	-1.42	-2.29	-0.98	-0.79	-0.65	-1.50	-1.44	MPa	max tens di compr nel cls (sez fess)
$\sigma_s$	=	191.3	141.2	172.9	95.6	78.9	76.0	108.8	113.1	MPa	tens dell'armat tesa (sez fess)

#### Controllo della fessurazione

$M_{fess}$	=	15930	15757	15864	15698	1214	1209	1238	1233	kNm	momento di fessurazione
$M_{fess} / M$	=	29.50	58.36	33.05	87.21	7.14	9.30	4.95	5.87		check1

#### Verifica a fessurazione senza il calcolo diretto

$w_{max}$	=	0.40	0.40	0.40	0.40	0.40	0.40	0.40	0.40	mm	crack limit width
$F^*_s$	=	40	40	40	40	40	40	40	40	mm	
		32	32	32	32	32	32	32	32	mm	
		20	20	20	20	20	20	20	20	mm	
		16	16	16	16	16	16	16	16	mm	
		12	12	12	12	12	12	12	12	mm	
		10	10	10	10	10	10	10	10	mm	
$a$	=	300	300	300	300	300	300	300	300	mm	
		300	300	300	300	300	300	300	300	mm	
		250	250	250	250	250	250	250	250	mm	
		200	200	200	200	200	200	200	200	mm	
		150	150	150	150	150	150	150	150	mm	
		100	100	100	100	100	100	100	100	mm	
$\varnothing_{max}$	=	-	-	-	-	-	-	-	-	mm	diam max delle barre di armatura tesa
$\sigma^*_{s1}$	=	-	-	-	-	-	-	-	-	MPa	lim di tens nell'acc (diam dei ferri)
$sp_s$	=	186	186	177	179	186	186	179	180	mm	spaziatura delle barre superiori
$sp_i$	=	186	186	179	177	186	186	180	179	mm	spaziatura delle barre inferiori
$sp$	=	-	-	-	-	-	-	-	-	mm	spaziatura massima delle barre
$\sigma^*_{s2}$	=	-	-	-	-	-	-	-	-	MPa	lim di tens nell'acc (spaziatura dei ferri)
$\sigma_{s,lim}$	=	-	-	-	-	-	-	-	-	MPa	limite di tensione max nell'acciaio
$\sigma_{s,lim} / \sigma_s$	=	-	-	-	-	-	-	-	-		check2

#### Calcolo dell'apertura delle fessure

$c$	=	-	-	-	-	-	-	-	-	mm	ricoprimento armatura
-----	---	---	---	---	---	---	---	---	---	----	-----------------------

CORRIDOIO PLURIMODALE TIRRENICO-NORD EUROPA ITINERARIO AGRIGENTO -CALTANISSETTA-A19 S.S. N° 640 "DI PORTO EMPEDOCLE" AMMODERNAMENTO E ADEGUAMENTO ALLA CAT. B DEL D.M. 5.11.2001 Dal km 44+000 allo svincolo con l'A19 <b>Progetto Esecutivo</b>	<b>Opera: Viadotto Arenella II</b>	
	Relazione di calcolo Spalle – Carreggiata DX	
	Pagina 56 di 67	
	Nome file: V113-B-CL008-A.00_relazione_calcolo_Spalle_DX.doc	

$h_{ct,eff}$	=	-	-	-	-	-	-	-	-	mm	altezza dell'area di cls teso attorno all'armatura comp
$h_{cb,eff}$	=	-	-	-	-	-	-	-	-	mm	altezza dell'area di cls teso attorno all'armatura tesa
$A_{cb,eff}$	=	-	-	-	-	-	-	-	-	mm <sup>2</sup>	effective tension area
$\rho_{eff}$	=	-	-	-	-	-	-	-	-	-	rapporto $A_s/A_{c,eff}$
$k_t$	=	-	-	-	-	-	-	-	-	-	fattore che tiene conto della durata di applicazione de
$E_s$	=	210000	210000	210000	210000	210000	210000	210000	210000	MPa	modulo di elasticità dell'acciaio
$d^*$	=	-	-	-	-	-	-	-	-	mm	
$k_1$	=	-	-	-	-	-	-	-	-	-	coeff che tiene conto delle proprietà di aderenza dell'a
$\epsilon_2$	=	-	-	-	-	-	-	-	-	-	massima deformazione di trazione all'estremità della s
$\epsilon_1$	=	-	-	-	-	-	-	-	-	-	minima deformazione di trazione all'estremità della se
$k_2$	=	-	-	-	-	-	-	-	-	-	coeff che tiene conto della distribuzione delle deforma
$k_3$	=	-	-	-	-	-	-	-	-	-	
$k_4$	=	-	-	-	-	-	-	-	-	-	
$\Delta_{smax1}$	=	-	-	-	-	-	-	-	-	mm	limite superiore per il calcolo della distanza massima
$\Delta_{smax2}$	=	-	-	-	-	-	-	-	-	mm	limite superiore per il calcolo della distanza massima
$\Delta_{sm}$	=	-	-	-	-	-	-	-	-	mm	distanza massima tra le fessure
$\epsilon_{sm}-\epsilon_{cm}$	=	-	-	-	-	-	-	-	-	-	differenza tra la deformazione media nell'armatura tes
$w_k$	=	-	-	-	-	-	-	-	-	mm	ampiezza delle fessure (valore caratteristico)
$w_d$	=	-	-	-	-	-	-	-	-	mm	ampiezza delle fessure (valore di calcolo)
		OK	OK	OK	OK	OK	OK	OK	OK		check3

### Combinazione

frequente

Sezione	trave paraghiaia				muro andatore					
	Y		Z		X		Z			
	terra	fuori terra	terra	fuori terra	terra	fuori terra	terra	fuori terra		
<b>Materiali</b>										
$R_{ck}$	=	30	30	30	30	30	30	30	MPa	resist caratteristica cubica
$f_{ck}$	=	24.90	24.90	24.90	24.90	24.90	24.90	24.90	MPa	resist caratteristica cilindrica
$f_{cm}$	=	32.90	32.90	32.90	32.90	32.90	32.90	32.90	MPa	resist cilindrica media
$f_{ctm}$	=	2.56	2.56	2.56	2.56	2.56	2.56	2.56	MPa	resist media a trazione semplice
$f_{ctm}$	=	3.07	3.07	3.07	3.07	3.07	3.07	3.07	MPa	resist media a trazione per flessione
$\sigma_t$	=	2.13	2.13	2.13	2.13	2.13	2.13	2.13	MPa	tensione limite di apertura delle fessure
$n$	=	15	15	15	15	15	15	15		coeff di omogeneizz armature (compr)
$n'$	=	0.001	0.001	0.001	0.001	0.001	0.001	0.001		coeff di omogeneizz armature (tens)
<b>Geometria</b>										
B	=	1000	1000	1000	1000	1000	1000	1000	mm	base sezione
H	=	800	800	800	800	700	700	700	mm	altezza sezione
<b>Armatura</b>										
$n_{1a}$	=	5	5	5	5	5	5	5		n° tondini zona tesa
$n_{1b}$	=	0	0	0	0	0	0	0		
$\varnothing_{1a}$	=	18	16	18	16	22	16	22	mm	diametro tondini armatura tesa
$\varnothing_{1b}$	=	0	0	0	0	0	0	0	mm	diametro tondini armatura tesa
$\varnothing_{1eq}$	=	18	16	18	16	22	16	22	mm	diametro equiv tondini armatura tesa
$d'_{sup}$	=	35	35	53	51	35	35	57	mm	copriferro superiore
$d_1$	=	765	765	747	749	665	665	643	mm	dist armatura tesa da lembo compr
$A_{s1}$	=	1272	1005	1272	1005	1901	1005	1901	mm <sup>2</sup>	area armatura tesa
$n_{2a}$	=	5	5	5	5	5	5	5		n° tondini zona compressa
$n_{2b}$	=	0	0	0	0	0	0	0		
$\varnothing_{2a}$	=	16	18	16	18	16	22	16	mm	diametro tondini armatura compressa
$\varnothing_{2b}$	=	0	0	0	0	0	0	0	mm	diametro tondini armatura compressa
$\varnothing_{2eq}$	=	16	18	16	18	16	22	16	mm	diametro equiv tondini armatura compr
$d'_{inf}$	=	35	35	51	53	35	35	57	mm	copriferro inferiore

CORRIDOIO PLURIMODALE TIRRENICO-NORD EUROPA ITINERARIO AGRIGENTO -CALTANISSETTA-A19 S.S. N° 640 "DI PORTO EMPEDOCLE" AMMODERNAMENTO E ADEGUAMENTO ALLA CAT. B DEL D.M. 5.11.2001 Dal km 44+000 allo svincolo con l'A19 <b>Progetto Esecutivo</b>	<b>Opera: Viadotto Arenella II</b>								
	Relazione di calcolo Spalle – Carreggiata DX								
	Pagina 57 di 67								
	Nome file: V113-B-CL008-A.00_relazione_calcolo_Spalle_DX.doc								

$d_2$	=	35	35	51	53	35	35	51	57	mm	dist armatura compr da lembo compr
$A_{s2}$	=	1005	1272	1005	1272	1005	1901	1005	1901	mm <sup>2</sup>	area armatura compressa

#### Sollecitazioni

M	=	120	20	70	60	100	10	170	40	kN*m	momento flettente
N	=	0	0	0	0	0	0	88	88	kN	sforzo normale
e	=	0	0	0	0	0	0	1943	457	mm	eccentricità

#### Caratteristiche sezione interamente reagente a compressione

$A_{cls}$	=	800000	800000	800000	800000	700000	700000	700000	700000	mm <sup>2</sup>	area calcestruzzo
$A_s$	=	2278	2278	2278	2278	2906	2906	2906	2906	mm <sup>2</sup>	area armatura
$A_{id}$	=	8.3E+05	8.3E+05	8.3E+05	8.3E+05	7.4E+05	7.4E+05	7.4E+05	7.4E+05	mm <sup>2</sup>	area sezione ideale
$d_G$	=	402	398	402	398	356	344	355	345	mm	dist baric sezione ideale da lembo sup
$J_{id}$	=	4.7E+10	4.7E+10	4.7E+10	4.7E+10	3.3E+10	3.3E+10	3.2E+10	3.2E+10	mm <sup>4</sup>	momento d'inerzia baric sez ideale
$\rho_{id,t}$	=	238	238	237	237	210	210	209	209	mm	raggio giratore di inerzia della sezione
$Y_{nocc,s}$	=	543	540	541	539	480	473	478	471	mm	dist p.to di nocciolo sup da asse baric

#### Caratteristiche sezione interamente reagente a tensione

$A_{cls,t}$	=	800	800	800	800	700	700	700	700	mm <sup>2</sup>	area calcestruzzo
$A_s$	=	2278	2278	2278	2278	2906	2906	2906	2906	mm <sup>2</sup>	area armatura
$A_{id,t}$	=	3.5E+04	3.5E+04	3.5E+04	3.5E+04	4.4E+04	4.4E+04	4.4E+04	4.4E+04	mm <sup>2</sup>	area sezione ideale
$d_{G,t}$	=	442	358	439	361	446	254	437	263	mm	dist baric sez ideale da lembo sup
$J_{id,t}$	=	4.5E+09	4.5E+09	4.1E+09	4.1E+09	3.9E+09	3.9E+09	3.5E+09	3.5E+09	mm <sup>4</sup>	momento d'inerzia baric sez ideale
$\rho_{id,t}$	=	360	360	343	343	299	299	281	281	mm	raggio giratore di inerzia della sezione
$Y_{nocc,i}$	=	735	720	708	688	646	605	617	563	mm	dist p.to di nocciolo inf da asse baric

**Sezione** parzializ parzializ parzializ parzializ parzializ parzializ parzializ parzializ parzializ

#### Caratteristiche sezione parzializzata

$Y_n$	=	143	126	143	126	159	111	179	216	mm	distanza asse neutro da lembo compr
$J_n$	=	8.5E+09	7.0E+09	8.1E+09	6.6E+09	8.9E+09	5.2E+09	8.3E+09	6.9E+09	mm <sup>4</sup>	momento d'inerzia sezione parzializzata
$S_n$	=	9.6E-04	3.8E-08	6.5E-09	1.5E-05	5.1E-08	0.0E+00	4.7E+06	2.1E+07	mm <sup>3</sup>	momento statico sezione parzializzata
$f(Y_n)=0$	=	-	-	-	-	-	-	-2.4E-05	2.9E-06		

#### Tensioni nei materiali

$\sigma_c$	=	-2.01	-0.36	-1.24	-1.15	-1.79	-0.21	-3.66	-1.25	MPa	max tens di compr nel cls (sez fess)
$\sigma_s$	=	131.2	27.5	78.7	84.6	85.6	15.8	142.7	37.5	MPa	tens dell'armat tesa (sez fess)

#### Controllo della fessurazione

$M_{fess}$	=	253	251	250	248	204	197	211	205	kNm	momento di fessurazione
$M_{fess} / M$	=	2.11	12.53	3.58	4.14	2.04	19.71	1.24	5.12		check1

#### Verifica a fessurazione senza il calcolo diretto

$w_{max}$	=	0.40	0.40	0.40	0.40	0.40	0.40	0.40	0.40	mm	crack limit width
$F^*_s$	=	40	40	40	40	40	40	40	40	mm	
		32	32	32	32	32	32	32	32	mm	
		20	20	20	20	20	20	20	20	mm	
		16	16	16	16	16	16	16	16	mm	
		12	12	12	12	12	12	12	12	mm	
		10	10	10	10	10	10	10	10	mm	
a	=	300	300	300	300	300	300	300	300	mm	
		300	300	300	300	300	300	300	300	mm	
		250	250	250	250	250	250	250	250	mm	
		200	200	200	200	200	200	200	200	mm	
		150	150	150	150	150	150	150	150	mm	
		100	100	100	100	100	100	100	100	mm	
$\varnothing_{max}$	=	-	-	-	-	-	-	-	-	mm	diam max delle barre di armatura tesa
$\sigma^*_{s1}$	=	-	-	-	-	-	-	-	-	MPa	lim di tens nell'acc (diam dei ferri)

CORRIDOIO PLURIMODALE TIRRENICO-NORD EUROPA ITINERARIO AGRIGENTO -CALTANISSETTA-A19 S.S. N° 640 "DI PORTO EMPEDOCLE" AMMODERNAMENTO E ADEGUAMENTO ALLA CAT. B DEL D.M. 5.11.2001 Dal km 44+000 allo svincolo con l'A19 <b>Progetto Esecutivo</b>	Opera: <b>Viadotto Arenella II</b>
	Relazione di calcolo Spalle – Carreggiata DX
	Pagina 58 di 67
	Nome file: V113-B-CL008-A.00_relazione_calcolo_Spalle_DX.doc

sp <sub>s</sub>	=	186	186	179	180	186	186	177	180	mm	spaziatura delle barre superiori
sp <sub>i</sub>	=	186	186	180	179	186	186	180	177	mm	spaziatura delle barre inferiori
sp	=	-	-	-	-	-	-	-	-	mm	spaziatura massima delle barre
σ*s <sub>2</sub>	=	-	-	-	-	-	-	-	-	MPa	lim di tens nell'acc (spaziatura dei ferri)
σ <sub>s,lim</sub>	=	-	-	-	-	-	-	-	-	MPa	limite di tensione max nell'acciaio
σ <sub>s,lim</sub> / σ <sub>s</sub>	=	-	-	-	-	-	-	-	-		check2

#### Calcolo dell'apertura delle fessure

c	=	-	-	-	-	-	-	-	-	mm	ricoprimento armatura
h <sub>ct,eff</sub>	=	-	-	-	-	-	-	-	-	mm	altezza dell'area di cls teso attorno all'armatura compres
h <sub>cb,eff</sub>	=	-	-	-	-	-	-	-	-	mm	altezza dell'area di cls teso attorno all'armatura tesa
A <sub>cb,eff</sub>	=	-	-	-	-	-	-	-	-	mm <sup>2</sup>	effective tension area
ρ <sub>eff</sub>	=	-	-	-	-	-	-	-	-		rapporto A <sub>s</sub> /A <sub>c,eff</sub>
k <sub>t</sub>	=	-	-	-	-	-	-	-	-		fattore che tiene conto della durata di applicazione dei ca
E <sub>s</sub>	=	210000	210000	210000	210000	210000	210000	210000	210000	MPa	modulo di elasticità dell'acciaio
d*	=	-	-	-	-	-	-	-	-	mm	
k <sub>1</sub>	=	-	-	-	-	-	-	-	-		coeff che tiene conto delle proprietà di aderenza dell'arm
ε <sub>2</sub>	=	-	-	-	-	-	-	-	-		massima deformazione di trazione all'estremità della sez
ε <sub>1</sub>	=	-	-	-	-	-	-	-	-		minima deformazione di trazione all'estremità della sezio
k <sub>2</sub>	=	-	-	-	-	-	-	-	-		coeff che tiene conto della distribuzione delle deformazio
k <sub>3</sub>	=	-	-	-	-	-	-	-	-		
k <sub>4</sub>	=	-	-	-	-	-	-	-	-		
Δ <sub>smax1</sub>	=	-	-	-	-	-	-	-	-	mm	limite superiore per il calcolo della distanza massima tra
Δ <sub>smax2</sub>	=	-	-	-	-	-	-	-	-	mm	limite superiore per il calcolo della distanza massima tra
Δ <sub>sm</sub>	=	-	-	-	-	-	-	-	-	mm	distanza massima tra le fessure
ε <sub>sm</sub> -ε <sub>cm</sub>	=	-	-	-	-	-	-	-	-		differenza tra la deformazione media nell'armatura tesa
w <sub>k</sub>	=	-	-	-	-	-	-	-	-	mm	ampiezza delle fessure (valore caratteristico)
w <sub>d</sub>	=	-	-	-	-	-	-	-	-	mm	ampiezza delle fessure (valore di calcolo)
		OK	OK	OK	OK	OK	OK	OK	OK		check3

#### Combinazione

quasi permanente

Sezione	plinto				muro frontale				
	X		Y		Y		Z		
	sup	inf	sup	inf	terra	fuori terra	terra	fuori terra	

#### Materiali

R <sub>ck</sub>	=	40	40	40	40	30	30	30	30	MPa	resist caratteristica cubica
f <sub>ck</sub>	=	33.20	33.20	33.20	33.20	24.90	24.90	24.90	24.90	MPa	resist caratteristica cilindrica
f <sub>cm</sub>	=	27.56	27.56	27.56	27.56	32.90	32.90	32.90	32.90	MPa	resist cilindrica media
f <sub>ctm</sub>	=	41.20	41.20	41.20	41.20	2.56	2.56	2.56	2.56	MPa	resist media a trazione semplice
f <sub>ctfm</sub>	=	4.03	4.03	4.03	4.03	3.07	3.07	3.07	3.07	MPa	resist media a trazione per flessione
σ <sub>t</sub>	=	34.33	34.33	34.33	34.33	2.13	2.13	2.13	2.13	MPa	tensione limite di apertura delle fessure
n	=	15	15	15	15	15	15	15	15		coeff di omogeneizz armature (compr)
n'	=	0.001	0.001	0.001	0.001	0.001	0.001	0.001	0.001		coeff di omogeneizz armature (tens)

#### Geometria

B	=	1000	1000	1000	1000	1000	1000	1000	1000	mm	base sezione
H	=	1600	1600	1600	1600	1800	1800	1800	1800	mm	altezza sezione

#### Armatura

n <sub>1a</sub>	=	5	5	5	5	5	5	5	5		n° tondini zona tesa
n <sub>1b</sub>	=	0	0	0	0	0	0	0	0		
Ø <sub>1a</sub>	=	22	18	22	18	18	16	18	16	mm	diametro tondini armatura tesa
Ø <sub>1b</sub>	=	0	0	0	0	0	0	0	0	mm	diametro tondini armatura tesa
Ø <sub>1eq</sub>	=	22	18	22	18	18	16	18	16	mm	diametro equiv tondini armatura tesa



CORRIDOIO PLURIMODALE TIRRENICO-NORD EUROPA ITINERARIO AGRIGENTO -CALTANISSETTA-A19 S.S. N° 640 "DI PORTO EMPEDOCLE" AMMODERNAMENTO E ADEGUAMENTO ALLA CAT. B DEL D.M. 5.11.2001 Dal km 44+000 allo svincolo con l'A19 <b>Progetto Esecutivo</b>	Opera: <b>Viadotto Arenella II</b>
	Relazione di calcolo Spalle – Carreggiata DX
	Pagina 60 di 67
	Nome file: V113-B-CL008-A.00_relazione_calcolo_Spalle_DX.doc

		8	8	8	8	8	8	8	8	mm	
a	=	300	300	300	300	300	300	300	300	mm	
		250	250	250	250	250	250	250	250	mm	
		200	200	200	200	200	200	200	200	mm	
		15	15	15	15	15	15	15	15	mm	
		100	100	100	100	100	100	100	100	mm	
		50	50	50	50	50	50	50	50	mm	
$\varnothing_{max}$	=	-	-	-	-	-	-	-	-	mm	diam max delle barre di armatura tesa
$\sigma_{s1}$	=	-	-	-	-	-	-	-	-	MPa	lim di tens nell'acc (diam dei ferri)
$s_{ps}$	=	186	186	177	179	186	186	179	180	mm	spaziatura delle barre superiori
$s_{pi}$	=	186	186	179	177	186	186	180	179	mm	spaziatura delle barre inferiori
$s_p$	=	-	-	-	-	-	-	-	-	mm	spaziatura massima delle barre
$\sigma_{s2}$	=	-	-	-	-	-	-	-	-	MPa	lim di tens nell'acc (spaziatura dei ferri)
$\sigma_{s,lim}$	=	-	-	-	-	-	-	-	-	MPa	limite di tensione max nell'acciaio
$\sigma_{s,lim} / \sigma_s$	=	-	-	-	-	-	-	-	-		check2

### Calcolo dell'apertura delle fessure

c	=	-	-	-	-	-	-	-	-	mm	ricoprimento armatura
$h_{ct,eff}$	=	-	-	-	-	-	-	-	-	mm	altezza dell'area di cls teso attorno all'armatura compressa
$h_{cb,eff}$	=	-	-	-	-	-	-	-	-	mm	altezza dell'area di cls teso attorno all'armatura tesa
$A_{cb,eff}$	=	-	-	-	-	-	-	-	-	mm <sup>2</sup>	effective tension area
$\rho_{eff}$	=	-	-	-	-	-	-	-	-		rapporto $A_s/A_{c,eff}$
$k_t$	=	-	-	-	-	-	-	-	-		fattore che tiene conto della durata di applicazione dei carichi
$E_s$	=	210000	210000	210000	210000	210000	210000	210000	210000	MPa	modulo di elasticità dell'acciaio
$d^*$	=	-	-	-	-	-	-	-	-	mm	
$k_1$	=	-	-	-	-	-	-	-	-		coeff che tiene conto delle proprietà di aderenza dell'armatura
$\epsilon_2$	=	-	-	-	-	-	-	-	-		massima deformazione di trazione all'estremità della sezione
$\epsilon_1$	=	-	-	-	-	-	-	-	-		minima deformazione di trazione all'estremità della sezione
$k_2$	=	-	-	-	-	-	-	-	-		coeff che tiene conto della distribuzione delle deformazioni
$k_3$	=	-	-	-	-	-	-	-	-		
$k_4$	=	-	-	-	-	-	-	-	-		
$\Delta_{smax1}$	=	-	-	-	-	-	-	-	-	mm	limite superiore per il calcolo della distanza massima tra le fessure
$\Delta_{smax2}$	=	-	-	-	-	-	-	-	-	mm	limite superiore per il calcolo della distanza massima tra le fessure
$\Delta_{sm}$	=	-	-	-	-	-	-	-	-	mm	distanza massima tra le fessure
$\epsilon_{sm} - \epsilon_{cm}$	=	-	-	-	-	-	-	-	-		differenza tra la deformazione media nell'armatura tesa e compressa
$w_k$	=	-	-	-	-	-	-	-	-	mm	ampiezza delle fessure (valore caratteristico)
$w_d$	=	-	-	-	-	-	-	-	-	mm	ampiezza delle fessure (valore di calcolo)
		OK	OK	OK	OK	OK	OK	OK	OK		check3

### Combinazione

quasi permanente

Sezione	trave paraghiaia				muro andatore			
	Y		Z		X		Z	
	terra	fuori terra	terra	fuori terra	terra	fuori terra	terra	fuori terra

### Materiali

Rck	=	30	30	30	30	30	30	30	MPa	resist caratteristica cubica
$f_{ck}$	=	24.90	24.90	24.90	24.90	24.90	24.90	24.90	MPa	resist caratteristica cilindrica
$f_{cm}$	=	32.90	32.90	32.90	32.90	32.90	32.90	32.90	MPa	resist cilindrica media
$f_{ctm}$	=	2.56	2.56	2.56	2.56	2.56	2.56	2.56	MPa	resist media a trazione semplice
$f_{ctm}$	=	3.07	3.07	3.07	3.07	3.07	3.07	3.07	MPa	resist media a trazione per flessione
$\sigma_t$	=	2.13	2.13	2.13	2.13	2.13	2.13	2.13	MPa	tensione limite di apertura delle fessure
n	=	15	15	15	15	15	15	15		coeff di omogeneizz armature (compr)
n'	=	0.001	0.001	0.001	0.001	0.001	0.001	0.001		coeff di omogeneizz armature (tens)

### Geometria

CORRIDOIO PLURIMODALE TIRRENICO-NORD EUROPA ITINERARIO AGRIGENTO -CALTANISSETTA-A19 S.S. N° 640 "DI PORTO EMPEDOCLE" AMMODERNAMENTO E ADEGUAMENTO ALLA CAT. B DEL D.M. 5.11.2001 Dal km 44+000 allo svincolo con l'A19 <b>Progetto Esecutivo</b>	<b>Opera: Viadotto Arenella II</b>								
	Relazione di calcolo Spalle – Carreggiata DX								
	Pagina 61 di 67								
	Nome file: V113-B-CL008-A.00_relazione_calcolo_Spalle_DX.doc								

B	=	1000	1000	1000	1000	1000	1000	1000	1000	mm	base sezione
H	=	800	800	800	800	700	700	700	700	mm	altezza sezione

#### Armatura

$n_{1a}$	=	5	5	5	5	5	5	5	5		n° tondini zona tesa
$n_{1b}$	=	0	0	0	0	0	0	0	0		
$\varnothing_{1a}$	=	18	16	18	16	22	16	22	16	mm	diametro tondini armatura tesa
$\varnothing_{1b}$	=	0	0	0	0	0	0	0	0	mm	diametro tondini armatura tesa
$\varnothing_{1eq}$	=	18	16	18	16	22	16	22	16	mm	diametro equiv tondini armatura tesa
$d'_{sup}$	=	35	35	53	51	35	35	57	51	mm	copriferro superiore
$d_1$	=	765	765	747	749	665	665	643	649	mm	dist armatura tesa da lembo compr
$A_{s1}$	=	1272	1005	1272	1005	1901	1005	1901	1005	mm <sup>2</sup>	area armatura tesa
$n_{2a}$	=	5	5	5	5	5	5	5	5		n° tondini zona compressa
$n_{2b}$	=	0	0	0	0	0	0	0	0		
$\varnothing_{2a}$	=	16	18	16	18	16	22	16	22	mm	diametro tondini armatura compressa
$\varnothing_{2b}$	=	0	0	0	0	0	0	0	0	mm	diametro tondini armatura compressa
$\varnothing_{2eq}$	=	16	18	16	18	16	22	16	22	mm	diametro equiv tondini armatura compr
$d'_{inf}$	=	35	35	51	53	35	35	51	57	mm	copriferro inferiore
$d_2$	=	35	35	51	53	35	35	51	57	mm	dist armatura compr da lembo compr
$A_{s2}$	=	1005	1272	1005	1272	1005	1901	1005	1901	mm <sup>2</sup>	area armatura compressa

#### Sollecitazioni

M	=	60	10	50	20	80	10	150	50	kN*m	momento flettente
N	=	0	0	0	0	0	0	88	88	kN	sforzo normale
e	=	0	0	0	0	0	0	1714	571	mm	eccentricità

#### Caratteristiche sezione interamente reagente a compressione

$A_{cls}$	=	800000	800000	800000	800000	700000	700000	700000	700000	mm <sup>2</sup>	area calcestruzzo
$A_s$	=	2278	2278	2278	2278	2906	2906	2906	2906	mm <sup>2</sup>	area armatura
$A_{id}$	=	8.3E+05	8.3E+05	8.3E+05	8.3E+05	7.4E+05	7.4E+05	7.4E+05	7.4E+05	mm <sup>2</sup>	area sezione ideale
$d_G$	=	402	398	402	398	356	344	355	345	mm	dist baric sezione ideale da lembo sup
$J_{id}$	=	4.7E+10	4.7E+10	4.7E+10	4.7E+10	3.3E+10	3.3E+10	3.2E+10	3.2E+10	mm <sup>4</sup>	momento d'inerzia baric sez ideale
$\rho_{id,t}$	=	238	238	237	237	210	210	209	209	mm	raggio giratore di inerzia della sezione
$Y_{nocc,s}$	=	543	540	541	539	480	473	478	471	mm	dist p.to di nocciolo sup da asse baric

#### Caratteristiche sezione interamente reagente a tensione

$A_{cls,t}$	=	800	800	800	800	700	700	700	700	mm <sup>2</sup>	area calcestruzzo
$A_s$	=	2278	2278	2278	2278	2906	2906	2906	2906	mm <sup>2</sup>	area armatura
$A_{id,t}$	=	3.5E+04	3.5E+04	3.5E+04	3.5E+04	4.4E+04	4.4E+04	4.4E+04	4.4E+04	mm <sup>2</sup>	area sezione ideale
$d_{G,t}$	=	442	358	439	361	446	254	437	263	mm	dist baric sez ideale da lembo sup
$J_{id,t}$	=	4.5E+09	4.5E+09	4.1E+09	4.1E+09	3.9E+09	3.9E+09	3.5E+09	3.5E+09	mm <sup>4</sup>	momento d'inerzia baric sez ideale
$\rho_{id,t}$	=	360	360	343	343	299	299	281	281	mm	raggio giratore di inerzia della sezione
$Y_{nocc,i}$	=	735	720	708	688	646	605	617	563	mm	dist p.to di nocciolo inf da asse baric

**Sezione** parzializ parzializ parzializ parzializ parzializ parzializ parzializ parzializ parzializ

#### Caratteristiche sezione parzializzata

$Y_n$	=	143	126	143	126	159	111	182	188	mm	distanza asse neutro da lembo compr
$J_n$	=	8.5E+09	7.0E+09	8.1E+09	6.6E+09	8.9E+09	5.2E+09	8.3E+09	5.9E+09	mm <sup>4</sup>	momento d'inerzia sezione parzializzata
$S_n$	=	9.6E-04	3.8E-08	6.5E-09	1.5E-05	5.1E-08	0.0E+00	5.4E+06	1.4E+07	mm <sup>3</sup>	momento statico sezione parzializzata
$f(Y_n)=0$	=	-	-	-	-	-	-	-9.5E-07	0.0E+00		

#### Tensioni nei materiali

$\sigma_c$	=	-1.01	-0.18	-0.88	-0.38	-1.43	-0.21	-3.28	-1.59	MPa	max tens di compr nel cls (sez fess)
$\sigma_s$	=	65.6	13.7	56.2	28.2	68.5	15.8	124.6	58.6	MPa	tens dell'armat tesa (sez fess)

#### Controllo della fessurazione

$M_{fess}$	=	253	251	250	248	204	197	211	205	kNm	momento di fessurazione
------------	---	-----	-----	-----	-----	-----	-----	-----	-----	-----	-------------------------

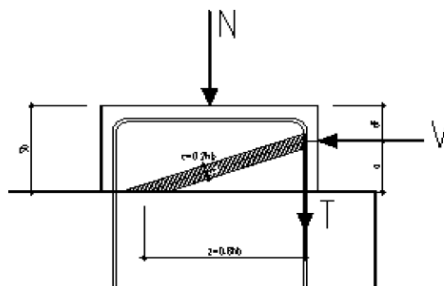




CORRIDOIO PLURIMODALE TIRRENICO-NORD EUROPA ITINERARIO AGRIGENTO -CALTANISSETTA-A19 S.S. N° 640 "DI PORTO EMPEDOCLE" AMMODERNAMENTO E ADEGUAMENTO ALLA CAT. B DEL D.M. 5.11.2001 Dal km 44+000 allo svincolo con l'A19 <b>Progetto Esecutivo</b>	Opera: <b>Viadotto Arenella II</b>
	Relazione di calcolo Spalle – Carreggiata DX
	Pagina 63 di 67
	Nome file: V113-B-CL008-A.00_relazione_calcolo_Spalle_DX.doc

## 7 BAGGIOLI

Il dimensionamento dell'armatura dei baggioli è stato eseguito ipotizzando un meccanismo resistente tirante-puntone, seguendo le indicazioni dell' EC2.



Tale dimensionamento viene eseguito prendendo a riferimento due distinte condizioni di carico: la prima relativa alla massima azione verticale trasmessa dall'impalcato e corrispondente azione trasversale; la seconda relativa alla massima azione trasversale e corrispondente azione verticale.

Inoltre, viene effettuata la verifica dell'armatura orizzontale considerando le forze di fenditura secondo quanto indicato nelle raccomandazioni FIP-CEB..

Nella verifica della pressione di contatto si può osservare che le pressioni possono raggiungere valori molto elevati, prossimi a quelli della resistenza del calcestruzzo, a patto però che l'area caricata sia opportunamente distanziata dal bordo del calcestruzzo. In tal caso la diffusione del carico all'interno dell'elemento in calcestruzzo genera tensioni di trazione perpendicolari alla direzione del carico e bisogna predisporre un'opportuna armatura. L'armatura può essere calcolata mediante la seguente formulazione (FIP-CEB):

$$T = \frac{N}{3.3} \cdot \left( \frac{b - b_0}{b} \right)$$

in cui:

N = carico concentrato all'appoggio

b = larghezza del baggiolo

b<sub>0</sub> = larghezza dell'appoggio

### RIEPILOGO Baggioli più sollecitati

	combinazione	
	Nmax	Vmax
Fz	3564	<b>1219</b>
Vx	<b>60</b>	455
baggiolo	<b>SpA-S</b>	<b>SpA-D</b>

CORRIDOIO PLURIMODALE TIRRENICO-NORD EUROPA ITINERARIO AGRIGENTO -CALTANISSETTA-A19 S.S. N° 640 "DI PORTO EMPEDOCLE" AMMODERNAMENTO E ADEGUAMENTO ALLA CAT. B DEL D.M. 5.11.2001 Dal km 44+000 allo svincolo con l'A19 <b>Progetto Esecutivo</b>	Opera: <b>Viadotto Arenella II</b>
	Relazione di calcolo Spalle – Carreggiata DX
	Pagina 64 di 67
	Nome file: V113-B-CL008-A.00_relazione_calcolo_Spalle_DX.doc

### Bridge Cap - Strut & Tie Model (calcolo mensole tozze con $a < z/2$ )

#### Materiali

$R_{ck}$	=	30	30	MPa	resistenza caratteristica cilindrica
$f_{ck}$	=	24.90	24.90	MPa	resistenza caratteristica cubica
$f_{cd}$	=	14.1	14.1	MPa	resistenza di calcolo a compressione
$f_{yd}$	=	391.3	391.3	MPa	tensione di snervamento di calcolo
$\beta_1$	=	1.00	1.00		coefficiente per la resistenza del nodo compresso
$\sigma_{1Rd,max}$	=	12.70	12.70	MPa	resistenza a compressione per nodi compressi

#### Mensola

		SpA-S	SpA-D		
$F_{Ed}$	=	3564	1219	kN	azione verticale di calcolo appoggio
$H_{Ed}$	=	60	455	kN	azione orizzontale di calcolo appoggio

#### Geometria

$b_1$	=	1100	1100	mm	larghezza baggio
$b_2$	=	1100	1100	mm	lunghezza baggio
$b_{3,max}$	=	470	470	mm	altezza baggio (massima: a favore di sicurezza)
$b_0$		950	950	mm	larghezza appoggio
$c$	=	30	30	mm	copriferro
$d$	=	1070	1070	mm	altezza utile
$z$	=	856	856	mm	braccio della coppia interna
$x_1$	=	4.3	32.6	mm	larghezza biella compressa
$y_1$	=	214.0	214.0	mm	altezza biella compressa
$a$	=	472.2	486.3	mm	
$\alpha$	=	0.50	0.52	rad	

#### Verifica puntone e tirante principale (armatura orizzontale)

$C$	=	69	523	kN	risultante di compressione
$T$	=	33	259	kN	risultante di trazione
$\sigma_c$	=	0.15	1.11	MPa	tensione di compressione nel puntone
FS	=	86.69	11.43		
$n$	=	6	6		numero ferri superiore
$\emptyset$	=	14	14	mm	diametro armatura superiore
$A_s$	=	923.6	923.6	mm <sup>2</sup>	area armatura superiore
$\sigma_s$	=	36.08	279.94	MPa	tensione di trazione nel tirante
FS	=	10.85	1.40		

#### Verifiche a fenditura (armatura verticale)

$T$	=	147	50	kN	risultante forza di taglio
$A_s$	=	376.4	376.4	mm <sup>2</sup>	armatura necessaria
$n_{str}$	=	3	3		numero strati
$n_{br}$	=	8	8		numero bracci x strato
$\emptyset_w$	=	14	14	mm	diametro staffe
$A_{sw}$	=	3694.5	3694.5	mm <sup>2</sup>	armatura di progetto
FS	=	9.82	9.82		

CORRIDOIO PLURIMODALE TIRRENICO-NORD EUROPA ITINERARIO AGRIGENTO -CALTANISSETTA-A19 S.S. N° 640 "DI PORTO EMPEDOCLE" AMMODERNAMENTO E ADEGUAMENTO ALLA CAT. B DEL D.M. 5.11.2001 Dal km 44+000 allo svincolo con l'A19 <b>Progetto Esecutivo</b>	Opera: <b>Viadotto Arenella II</b>
	Relazione di calcolo Spalle – Carreggiata DX
	Pagina 65 di 67
	Nome file: V113-B-CL008-A.00_relazione_calcolo_Spalle_DX.doc

## 8 DISPOSITIVI ANTISISMICI

Vengono disposti degli isolatori elastomerici con l'obiettivo di migliorare la risposta della struttura in caso di eventi sismici. Essi consentono sostanzialmente di aumentare il periodo proprio della struttura, di sostenere i carichi verticali senza apprezzabili cedimenti, e di contenere lo spostamento orizzontale della struttura isolata. I dispositivi previsti presentano le seguenti caratteristiche:

SI-N 900/168

V	<b>10980</b>	kN	massimo carico verticale agente sull'isolatore in fase di sisma
F <sub>zd</sub>	<b>21220</b>	kN	massimo carico verticale allo S.L.U. in esercizio
K <sub>e</sub>	<b>3.03</b>	kN/mm	rigidezza orizzontale equivalente
K <sub>v</sub>	<b>2814</b>	kN/mm	rigidezza verticale
d	<b>0.300</b>	m	massimo spostamento dell'isolatore
D <sub>g</sub>	<b>0.900</b>	m	diametro dell'elastomero
W	<b>1049</b>	kg	peso dell'isolatore

A partire dal modello di calcolo globale della carreggiata sinistra sono state determinate le massime azioni verticali in fase di sisma (S.L.C.) e statica (S.L.U.) sui singoli isolatori per verificarne la loro portanza (come per il dimensionamento dei baggioli, anche in questo caso la carreggiata sinistra risulta quella dimensionante per via delle luci maggiori).

### AZIONI sugli APPOGGI

Azioni trasmesse dall'impalcato								spalla
Joint	OutputCase	Fx	Fy	Fz	Mx	My	Mz	
Text	Text	KN	KN	KN	KN-m	KN-m	KN-m	
SpA-D	G1+G2	0	0	1377	0	0	0	
SpA-D	E2	17	0	-245	0	0	0	
SpA-D	E3	22	0	120	0	0	0	
SpA-D	Q1	0	1	890	0	0	0	
SpA-D	Q5	0	65	-21	0	0	0	
SpA-D	Q7	14	0	0	0	0	0	
SpA-S	G1+G2	0	0	1334	0	0	0	spalla A
SpA-S	E2	17	0	-247	0	0	0	
SpA-S	E3	22	0	117	0	0	0	
SpA-S	Q1	0	1	1450	0	0	0	
SpA-S	Q5	0	65	21	0	0	0	
SpA-S	Q7	13	0	0	0	0	0	
SpB-D	G1+G2	0	0	1337	0	0	0	
SpB-D	E2	17	0	-246	0	0	0	
SpB-D	E3	22	0	120	0	0	0	
SpB-D	Q1	0	1	979	0	0	0	
SpB-D	Q5	0	65	-23	0	0	0	
SpB-D	Q7	13	0	0	0	0	0	
SpB-S	G1+G2	0	0	1293	0	0	0	spalla B
SpB-S	E2	17	0	-247	0	0	0	
SpB-S	E3	22	0	117	0	0	0	
SpB-S	Q1	0	1	1368	0	0	0	
SpB-S	Q5	0	65	23	0	0	0	
SpB-S	Q7	13	0	0	0	0	0	

CORRIDOIO PLURIMODALE TIRRENICO-NORD EUROPA ITINERARIO AGRIGENTO -CALTANISSETTA-A19 S.S. N° 640 "DI PORTO EMPEDOCLE" AMMODERNAMENTO E ADEGUAMENTO ALLA CAT. B DEL D.M. 5.11.2001 Dal km 44+000 allo svincolo con l'A19 <b>Progetto Esecutivo</b>	Opera: <b>Viadotto Arenella II</b>
	Relazione di calcolo Spalle – Carreggiata DX
	Pagina 66 di 67
	Nome file: V113-B-CL008-A.00_relazione_calcolo_Spalle_DX.doc

Azione sismica (S.L.C. - max Fz)								
Joint	OutputCase	Fx	Fy	Fz	Mx	My	Mz	spalla
Text	Text	KN	KN	KN	KN-m	KN-m	KN-m	
SpA-D	Q6	126	60	89	0	0	0	spalla A
SpA-S	Q6	126	60	86	0	0	0	
SpB-D	Q6	126	60	87	0	0	0	spalla B
SpB-S	Q6	126	60	84	0	0	0	

Azioni totali sugli appoggi (Combinazione sismica - max Fz)								
Joint	OutputCase	Fx	Fy	Fz	Mx	My	Mz	spalla
Text	Text	KN	KN	KN	KN-m	KN-m	KN-m	
SpA-D	S.L.C.	162	60	1281	0	0	0	spalla A
SpA-S	S.L.C.	161	60	1232	0	0	0	
SpB-D	S.L.C.	162	60	1238	0	0	0	spalla B
SpB-S	S.L.C.	161	60	1188	0	0	0	
		<b>162</b>	<b>60</b>	<b>1281</b>				

Azioni totali sugli appoggi (Combinazione fondamentale)								
Joint	OutputCase	Fx	Fy	Fz	Mx	My	Mz	spalla
Text	Text	KN	KN	KN	KN-m	KN-m	KN-m	
SpA-D	S.L.U.	49	59	2834	0	0	0	spalla A
SpA-S	S.L.U.	49	60	3564	0	0	0	
SpB-D	S.L.U.	49	60	2896	0	0	0	spalla B
SpB-S	S.L.U.	48	60	3400	0	0	0	
		<b>49</b>	<b>60</b>	<b>3564</b>				

Come si può vedere dalle tabelle precedenti i massimi carichi verticali agenti nelle due combinazioni risultano compatibili con il massimo carico che può sopportare il dispositivo in fase di sisma ed allo S.L.U. Gli spostamenti orizzontali subiti dall'isolatore, dovuti a quei singoli casi di carico che determinano spostamenti sul piano X-Y, sono stati valutati come rapporto tra la sollecitazione prodotta dal caso di carico nella direzione X o Y e la rigidità orizzontale equivalente dell'isolatore. Gli spostamenti nelle due direzioni sono stati infine combinati vettorialmente per le due combinazioni da verificare.

S.L.C.						
	SpA-D	SpA-S	SpB-D	SpB-S		
d <sub>Q6,x</sub>	0.138	0.138	0.138	0.138	m	spostamento longitudinale dell'impalcato dovuto al sisma longitudinale
d <sub>Q6,y</sub>	0.066	0.066	0.066	0.066	m	spostamento longitudinale dell'impalcato dovuto al sisma trasversale
d <sub>E2,x</sub>	0.006	0.006	0.006	0.006	m	dilatazione dell'impalcato dovuto al ritiro
d <sub>E3,x</sub>	0.021	0.021	0.021	0.021	m	dilatazione dell'impalcato dovuto all'effetto termico
d <sub>E,tot</sub>	0.168	0.168	0.168	0.168	m	spostamento longitudinale totale dell'impalcato
S.L.U.						
	SpA-D	SpA-S	SpB-D	SpB-S		
d <sub>E2,x</sub>	0.006	0.006	0.006	0.006	m	dilatazione dell'impalcato dovuto al ritiro
d <sub>E3,x</sub>	0.021	0.021	0.021	0.021	m	dilatazione dell'impalcato dovuto all'effetto termico
d <sub>Q1,y</sub>	0.001	0.001	0.001	0.001	m	spostamento longitudinale dell'impalcato dovuto ai carichi mobili
d <sub>Q5,y</sub>	0.021	0.021	0.021	0.021	m	spostamento longitudinale dell'impalcato dovuto al vento
d <sub>E,tot</sub>	0.029	0.030	0.030	0.030	m	spostamento longitudinale totale dell'impalcato
d <sub>giunto</sub>	0.335				m	massima escursione del giunto

Il massimo spostamento dell'isolatore è pari a 168 mm, inferiore quindi al massimo spostamento consentito all'isolatore, pari a 300 mm.